



EVROPSKÁ UNIE
Evropský námořní a rybářský fond
Operační program Rybářství



Fakulta rybářství
a ochrany vod
Faculty of Fisheries
and Protection
of Waters

Jihočeská univerzita
v Českých Budějovicích
University of South Bohemia
in České Budějovice
Czech Republic

TECHNICKÁ ZPRÁVA PROJEKTU

Název projektu:

**Zachycení a recyklace živiny při
vypouštění rybníků**

Registrační číslo projektu: CZ.10.2.101/2.1/0.0/15_001/0000028



EVROPSKÁ UNIE
Evropský námořní a rybářský fond
Operační program Rybářství



Fakulta rybářství
a ochrany vod
Faculty of Fisheries
and Protection
of Waters

Jihočeská univerzita
v Českých Budějovicích
University of South Bohemia
in České Budějovice
Czech Republic

Příjemce:

Obchodní firma nebo název: Blatenská ryba, spol. s r.o.

Adresa: Na Příkopech 747, Blatná 388 01, okr. Strakonice

IČ: 49023837

Registrační číslo projektu: CZ.10.2.101/2.1/0.0/15_001/0000028

Název projektu: Zachycení a recyklace živiny při vypouštění rybníků

Jméno a příjmení osoby, která je oprávněna příjemce dotace zastupovat: Jiří Bláha

Vědecký subjekt:

Obchodní firma nebo název: Jihočeská univerzita v Českých Budějovicích, Fakulta rybářství a ochrany vod

Adresa: Zátiší 728/II, 389 25 Vodňany

IČ: 60076658

Místo a datum zpracování technické zprávy: České Budějovice, 30. 11. 2017

Jméno a příjmení osoby, která je oprávněna vědecký subjekt zastupovat:

doc. Tomáš Machula, Ph.D., Th.D.

Zpracovatel technické zprávy projektu:

Název nebo obchodní jméno: Jihočeská univerzita v Českých Budějovicích, Fakulta rybářství a ochrany vod

Adresa: Zátiší 728/II, 389 25 Vodňany

IČ: 60076658

Místo a datum zpracování technické zprávy: České Budějovice, 30. 11. 2017

Jména a příjmení osob, které zpracovaly technickou zprávu:

Ing. Ján Regenda, Ph.D., Ing. Pavel Hartman, CSc.

Jméno a příjmení osoby, která je oprávněna zpracovatele technické zprávy zastupovat:

doc. Tomáš Machula, Ph.D., Th.D.



EVROPSKÁ UNIE
Evropský námořní a rybářský fond
Operační program Rybářství



Fakulta rybářství
a ochrany vod
Faculty of Fisheries
and Protection
of Waters

Jihočeská univerzita
v Českých Budějovicích
University of South Bohemia
in České Budějovice
Czech Republic

Souhlas s publikací technické zprávy:

Souhlasím se zveřejněním této technické zprávy projektu v rámci opatření 2.1. Inovace z Operačního programu Rybářství 2014 – 2020 na internetových stránkách Ministerstva zemědělství a s využíváním výsledků této technické zprávy všemi subjekty z odvětví rybářství.

Podpis osoby oprávněné zastupovat:

1. Příjemce dotace:

Jiří Bláha

2. Partnera projektu (vědecký subjekt):

doc. Tomáš Machula, Ph.D., Th.D.

3. Zpracovatele technické zprávy:

doc. Tomáš Machula, Ph.D., Th.D.

+



Obsah

| | |
|------------------------------------------------------------------|----|
| 1 Cíl | 5 |
| 1.1 Co je cílem projektu | 5 |
| 1.2 V čem spocívá inovativnost technologie | 5 |
| 1.3 Proč je nutná inovace, která je předmětem projektu | 6 |
| 2 Úvod | 7 |
| 3 Materiál a metodika | 11 |
| 3.1 Odběr vzorků vody a sedimentu in situ | 11 |
| 3.2 Měření základních fyzikálně chemických vlastností vody | 13 |
| 3.3 Laboratorní analýza vzorku vody a bahna | 14 |
| 3.4 Charakteristika rybníků | 16 |
| 3.5 Budování a odstraňování hrázek | 19 |
| 3.6 Výpočet objemu hrázek, průtoku vody a bilance živin | 21 |
| 3.7 Zpracování dat | 23 |
| 4 Výsledky | 24 |
| 4.1 Jenšovský 2016 | 24 |
| 4.2 Podsilničný 2016 | 29 |
| 4.3 Novokoželský 2016 | 34 |
| 4.4 Ouhlín 2016 | 39 |
| 4.5 Brdský 2017 | 44 |
| 4.6 Vrbice 2017 | 49 |
| 4.7 Pláňavy 2017 | 56 |
| 4.8 Novokoželský 2017 | 63 |
| 4.9 Mokrý 2017 | 70 |
| 4.10 Celkové vyhodnocení | 78 |
| 4.11 Složení a množství zachyceného sedimentu | 85 |
| 4.12 Ekonomické aspekty budování a provozu hrázek | 88 |
| 5 Závěr | 90 |
| 6 Přílohy | 93 |



1 Cíl

1.1 Co je cílem projektu

Cílem projektu je zachytit co nejvíce nerozpuštěných látek (dále jen NL) a živin unikajících z rybníků při výlovech, které mohou negativně působit na vodní toky pod rybníkem. Tyto živiny jsou zachytávány jednoduchým způsobem pomocí rostlinné organické hmoty. Malé balíky sena/slámy jsou využity k postavení dvou dočasných hrázek ve stoce pod rybníkem. Díky tomu vznikne dočasné vzdutí vodní hladiny. V akumulovaném objemu vody dojde k prodloužení času zdržení a tím i postupné sedimentaci části nerozpuštěných látek nesených vodou. Balíky sena/slámy a zachycené částice nerozpuštěných látek jsou následně po výlovu a oschnutí odklizeny z prostoru pod rybníkem a umístěny v okrajích rybníku. Díky tomu dojde k částečné recyklaci živin, které se v rybnících již nacházejí, a za obvyklých okolností by unikaly do recipientu bez možnosti opětovného využití. Díky tomuto jednoduchému a šetrnému opatření je možné snížit spotřebu „závadných látek“ – hnojiv, případně zvýšit produkci ryb.

Vedlejším aspektem projektu je obecné snižování množství živin migrujících v povodí, jakož i omezení zhoršování životních podmínek pro hydrobionty malých vodních toků. Lokální přístup k zachytávání sedimentu, rovněž výrazně minimalizuje riziko jeho kontaminace polutanty, které úměrně roste s délkou jeho transportu antropogenní krajinou. Tím je možné předcházet zbytečnému potencionálnímu vzniku nebezpečného odpadu (kontaminovaného sedimentu), jehož ekologická likvidace je ekonomicky nesmírně nákladná.

1.2 V čem spočívá inovativnost technologie

Inovativnost projektu představuje snaha zachytit co nejvíce nerozpuštěných látek a živin unikajících z rybníků při výlovech, jenž mohou negativně působit na vodní toky pod rybníkem. K záchytu NL a živin prakticky nyní v ČR nedochází. Tyto živiny jsou v projektu zachytávány jednoduchým způsobem, pomocí rostlinné organické hmoty, která je v současnosti dostupná v zemědělské krajině a nemá často další smysluplné využití. Dočasné bariery společně se zachyceným sedimentem jsou následně po výlovu a oschnutí odklizeny zpět do rybníka. Tento postup tedy umožňuje částečnou recyklaci živin, jenž se v rybnících již nacházejí. Za obvyklých okolností by tyto živiny unikaly do recipientu bez možnosti opětovného využití. Zvládnutím této technologie je možné zlepšit kvalitu vody odtékající z rybníků při výlovech. Druhým pozitivem je skutečnost možnosti opětovného využití části živin zachycených v rostlinné hmotě k produkci kompostu. Ten bude využit v témže rybníce v následujících letech k organickému hnojení za účelem optimalizace kvality vody. Díky tomu lze očekávat snížení množství aplikovaných živin (závadných látek) do rybníků. Doposud docházelo v rybníkářství k manipulaci se sedimenty a živinami především při plošném odbahňování rybníků nebo lokálního z loviště.

Ve své podstatě lze na základě získaných poznatků konstatovat, že ve stokách pod rybníkem je možné nahradit dočasné bariery z balíků slámy soustavou trvalých hradítek (beton, kámen). Ty budou plnit stejnou funkci jako dočasné hrázky z balíků sena. Během roku budou trvale otevřeny a k jejich vystavení (uzavření) dojde jen v závěrečné fázi strojení rybníku a při jeho výlovu. Po opadnutí vody a oschnutí zachycených sedimentů bude možné pomocí mechanizace odtěžit zachycené bahno.



1.3 Proč je nutná inovace, která je předmětem projektu

V současném rybníkařském provozu je cílem maximální navýšení přirozené a následně i celkové produkce rybníku. Voda vypouštěná z rybníků v ČR je zvláště v době jejich výlovu výrazněji zatížená různými živinami vázanými především na nerozpuštěné látky. Ty jsou jak charakteru organického, tak i anorganického. Kritickým z pohledu zvýšeného obsahu živin ve vodě je samotný akt výlovu rybníků, resp. posledních 24 hodin před jeho výlovem. Zvýšená koncentrace ryb, jakož i pohyb osob a sítí v prostoru loviště, kde se rovněž nachází nejvíce sedimentu, vede k tomu, že společně s vodou odtékají z rybníků i nerozpuštěné látky ve formě koloidních částic a jemného bahna. Tyto látky tak nekontrolovaně unikají z rybníků a mohou negativně ovlivňovat níže položené části vodních toků. Díky tomu může docházet ke zvyšování trofie toku, zanášení koryt vodotečí sedimenty a negativnímu působení na hydrobionty. V rámci projektu je také záměr využít suchou rostlinnou hmotu (sena, slámy, případně jiné objemné píce), kterou zemědělci pravidelně sklízejí, ale pro nízké stavy hospodářských zvířat pro ni nemají žádané další smysluplné využití.

V současnosti je ze strany státu vyvýjená soustavná snaha o zlepšování kvality povrchových vod a minimalizaci případných negativních vlivů spojených s nakládáním s vodami. Je proto nutné i v rámci rybníkařství, které je historickým a tradičním odvětvím, hledat nové možnosti minimalizace negativních vlivů na životní prostředí. Poměrně velké množství živin odchází v rámci jejich celoroční bilance, právě při výlovech rybníků. Možnost jejich zachycení pomocí sedimentace ve stoce v prostoru pod rybníkem se proto jeví jako velmi efektivní a jednoduchý způsob zlepšování kvality vody v povodí. Zachycené živiny je možné opětovně využít a vrátit je do rybníku, případně na okolní zemědělské pozemky. Tímto postupem je možné šetrně zachytit a systematicky odstraňovat akumulované sedimenty v rybničné kotlině a vrátit je tam, odkud pocházejí. Navíc k zachycení sedimentu (živin) dochází v horní části povodí, hned pod rybníkem, takže dochází k minimalizaci rizika jeho kontaminace polutanty.

Otázka řešení nadměrného zabahnění rybníků je dnes v rámci ČR aktuální. Některé odhady uvádějí, že míra zabahnění českých rybníků dosahuje až 30 % z jejich objemu. Tento problém je možné řešit plošným odbahňováním, které je však velmi nákladné. Zcela nově a do budoucna se někteří odborníci dívají na bahno v rybnících, jako na strategickou surovinu – zásobu živin, zejména fosforu pro zemědělství (Duras a Potužák, 2013). Z tohoto důvodu je v současnosti testována technologie zachytávání rybničních sedimentů (kalů) manipulovaných pomocí sacího bagru do netkaných geotextilních vaků (Vaníček, 2014; Potužák a kol., 2015). Tato metoda je však technicky a finančně poměrně náročná, i když o něco levnější než klasické plošné odbahňování rybníků. Z tohoto důvodu je na místě testovat v provozních podmínkách inovované, jednodušší a levnější postupy zachytávání a recyklace živin unikajících z rybníků.



2 Úvod

Rybničky jsou důležitou součástí hydrologického systému v České Republice. Chov ryb v nich je však v některých kruzích považován za významný zdroj znečištění povrchových vod, zejména co se týče fosforu. Na druhou stranu nové studie poukazují na skutečnost, že kvalita vody v rybnících odráží rovněž stav jejich povodí. V kvalitě vody v rybnících hraje důležitou roli i další faktory, zahrnující trofickou úroveň, kvalitu sedimentů, intenzitu hospodaření, manipulaci s hladinou, způsob výlovu a vypouštění vody (odtok povrchové nebo spodní vrstvy vody) (Potužák a Duras, 2015). Rybniční ekosystém často zlepšuje kvalitu povrchových vod, zejména tam, kde je jejich kvalita na přítoku do rybníka špatná. Na straně druhé, ji však může rovněž zhoršovat a to zejména u živinově chudých vod (Kalenda a kol., 1982; Adámek a kol., 2010; Rozkošný a kol., 2011). Za jednu z klíčových funkcí rybníků v krajině je možné považovat jejich schopnost zadržovat živiny, zejména fosfor. Retenční schopnost je u mnoha rybníků v důsledku eutrofního až hypertrofního stavu velice snížená (Potužák a Duras, 2012), což mimo jiné vede k závažné destabilizaci rybničního ekosystému (Pechar, 2015). Rybničky zadržují fosfor, který se do nich dostává z difuzních i bodových zdrojů, stejně jako z chovu ryb. Účinnost zadržení fosforu je vysoká zejména v letních měsících (Potužák a kol., 2016). Koncentrace celkového fosforu a živin ve vodním sloupci u hráze malého rybníka je přímo závislá na koncentraci fosforu v přítoku (Mikšíková a kol., 2012).

Knösche a kol. (2000) konstatují, že rybníky nejsou zátěží pro životní prostředí, naopak tyto vodní díla zlepšují kvalitu vody. Změnit situaci stavu kvality vody, ve které se dnes nachází většina rybníků v ČR, nebude podle Pechara (2015) snadné ani rychlé.

Bilance živin – fosforu v rybnících

V současnosti je některými autory rozpracováván nový přístup k posuzování fungování rybníků v krajině optikou míry jejich schopnosti zadržovat nebo uvolňovat fosfor (Hejzlar a kol., 2006; Potužák a Duras, 2012; Duras a kol., 2015; Potužák a Duras 2015; Pechar, 2015).

Potužák a kol. (2016) při svém monitoringu na 9 velkých rybnících (60–449 ha) zjistili zajímavé výsledky. V období 2010–2014 odhalili zadržení celkového fosforu mezi -66 % (pokles) až +52 % (uvolnění) ze zatížení přítokové vody. Specifické zadržení čistého fosforu P kolísalo mezi -7,83 g.m⁻² (pokles), resp. +1 g.m⁻² (uvolnění) z hladinové vrstvy, v jednom vegetačním období. Podle nich je zachycení fosforu limitováno aplikací hnojiv (souběžně s krmením ryb) v průběhu vegetačního období nebo dochází k masivnímu uvolnění P z rybničních sedimentů po předchozím odbahnění. Zadržení fosforu je možné zvýšit odtokem svrchní (povrchové) vody oproti odtoku spodní vody, jelikož by to minimalizovalo ztrátu usazených částic sedimentu během výlovu ryb. Mimo jiné dospěli k závěru, že retence P závisí na přítoku vody do rybníka, resp. době zdržení vody v rybníce. Čím je delší, tím vyšší šance využití fosforu napříč vodním sloupcem je. Jedinou výjimkou, kdy retence nebyla prokázána, bylo v případě anoxických a anaerobních podmínek v odtékající vodě. Jako důvod kolísání výkyvů obsahu celkového fosforu (TP) autoři uvádí rozdílné chemické složení sedimentů.

Knösche a kol. (2000) sledují poměr fosforu a dusíku v kaprových rybnících. Jejich data pocházejí z 38 rybníků (0,25 až 122 ha) ze spolkových zemí Brandenburk, Sasko a



Bavorsko, jakož i několika rybníků v Maďarsku. Kalkulována byla bilance (rozdíl) mezi kvalitou vody na přítoku a odtoku z rybníků. Získané výsledky ukazují, že průměrný rozdíl na odtoku představuje $-0,51 \text{ kg P.ha}^{-1} \text{ rok}^{-1}$. To znamená, že každý hektar rybniční plochy uvolnil o 510 g P méně, než se do rybníka dostalo přítokem. Tento výsledek byl nezávislý na množství vylovených ryb ($\leq 1500 \text{ ha}^{-1} \text{ rok}^{-1}$). Průměrné zachycení (retence) fosforu P (P-zůstatek) bylo $5,71 \text{ kg P.ha}^{-1} \text{ rok}^{-1}$. Zachycení (retence) fosforu se zvyšovala se zvyšující intenzitou chovu. Retence dusíku (N) se zvyšovala s intenzitou chovu od $78,5 \text{ kg N.ha}^{-1} \text{ rok}^{-1}$ v Německých zemích, do $>290 \text{ kg N.ha}^{-1} \text{ rok}^{-1}$ v rybnících v Maďarsku (kombinace chovu ryb a vepřů). Podle zjištění autorů je převážně během výlovu uvolněno 1% retenční kapacity rybníka ve formě suspenze mineralizované složky bahna. Při klasické realizaci chovu v rybnících je v průběhu výlovu uvolněno od 50 do 200 $1.\text{ha}^{-1}$, resp. $0,3\text{--}0,9 \text{ g sušiny.ha}^{-1}$ bahna. Ačkoliv je živinová zátěž během výlovu nízká ve srovnání s retenční schopností rybníka, tak by podle autorů mohlo být vynaloženo větší úsilí pro snížení znečištění potoků a stok pod rybníkem během výlovu a po něm. To může být zabezpečeno tím, že se omezí (zpomalí) vypouštění rybníka v době samotného výlovu, aby se pod rybníkem měly možnost usazovat nerozpuštěné látky (sediment) nebo umístit zařízení pro krátkodobou sedimentaci bahna pod rybníkem.

Podle Pechara (2015) je výlovem ryb z rybníka možné odebírat významné množství fosforu. Průměrnou produkci rybníků v ČR – $500 \text{ kg.ha}^{-1} \text{ rok}^{-1}$ živé hmotnosti ryb je možné převést na odnos $3,5 \text{ kg P.ha}^{-1}$ za rok. Rybníky v krajině zadržují živiny z jejich povodí a tím zajišťují přirozený samočistící proces. Cílem účinné rybniční akvakultury je retence a kumulace živin v biomase ryb s respektováním jakosti povrchových vod, pro obecné a zvláštní užívání vod, za účelem:

- využití vlastních – autochtonních živin v koloběhu látek rybničního ekosystému a zapojení produktů metabolismu ryb do látkového koloběhu (Knösche a kol., 1998);
- vyrovnané živinové bilance směřující k vyloučení zatížení vod v povodí rybníků (Potužák a Duras, 2012).

Zdroje sedimentu a obsah živin

Čašek (2016) považuje postupné zazemňování vodních nádrží za přirozený proces, který lze u vodního díla jako stavby v krajině očekávat a počítat s ním. Jeho intenzita je na druhou stranu výrazně ovlivněna antropogenní aktivitou v povodí. K nejdůležitějším zdrojům sedimentů v nádržích řadí: erozní procesy v povodí, erozní procesy břehů a dna nádrže, ukládání plavenin, rozklad odumřelých organizmů ve vodním prostředí, ukládání opadu listů z břehových porostů a exkrementy ryb a jiných vodních živočichů. K podobným závěrům dochází rovněž Mikšíková a kol. (2012), kteří identifikují jako klíčový faktor přísun půdních částic ze zemědělských pozemků (vodní eroze). Zdůrazňují však rovněž rozvoj a odumírání litorálních makrofyt a poukazují rovněž na vstupy živin v rámci chovu ryb (hnojení a příkrmování). Čašek (2016) rovněž definuje problémy, které hromadění sedimentu v nádržích působí: snížení akumulačního prostoru, zanášení funkčních objektů, ovlivňování vlastnosti vody, hospodářské, rekreační, estetické a ekologické.

Nejvýznamnější vrstva sedimentu na dně rybníka je z hlediska rybářského hospodaření vrstva sedimentu s mocností 5–12 cm, vrstva nazývaná tzv. aktivní bahno. Velké částice usazené v ústí toku do rybníka a velké částice v příbřežních částech rybníka obsahují fosforu nejméně, oproti tomu prachové a koloidní částice, jež jsou neseny vodou k hrázi, jsou na obsah fosforu podstatně bohatší. Rozklad biomasy tvoří nánosy v místech s větším výskytem vlhkomilných rostlin, což bývá v litorálním místě na vtoku do rybníka nebo na mělčích místech kolem břehů (Mikšíková a kol., 2012).



Kvalitou rybničního sedimentu a možností jeho využití v zemědělství se zabýval Potužák a kol. (2015). Z jejich zjištění plyne, že obsah živin (biogenních makro prvků) je v rybničním bahně ve srovnání se zemědělskou půdou vyšší, ale obsah dostupného fosforu je v průměru spíše nižší (možnost postupného uvolňování). Obsah živin v bahně šesti rybníků se pohyboval v rozsahu N celkový: 6 400–13 000 mg.kg⁻¹, P celkový: 1 000–3 200 mg.kg⁻¹, K celkový: 4 200–7 200 mg.kg⁻¹, Ca celkový: 2 900–20 000 mg.kg⁻¹. Obsah těžkých kovů a dalších polutantů v rybničním bahně sledovali Šulcová a kol. (2017). Překročení některého ze stávajících limitů bylo zjištěno ani ne u 10 % vzorků.

Koncentrace unikajících živin v průběhu výlovů

Jedna z nejdůležitějších odlišných charakteristik lidmi vytvořenými rybníky oproti přírodním jezerům je periodický výlov rybí obsádky. Proces výlovu rybníka způsobuje více či méně závažné odnosy nerozpuštěných látek, které jsou bohaté na různé sloučeniny a živiny, zejména pak fosfor (Kalenda a kol., 1982; Butz, 1988; Banas a kol., 2002; Vallod a Sarrazin, 2010). Pokud dojde k pohybu sedimentu v důsledku snížení vodní hladiny a zmenšení prostoru pro rybí obsádku, tak s postupným vypouštěním, se úměrně zvyšují hodnoty celkového fosforu a nerozpuštěných látek. Tyto zvýšené hodnoty jsou patrný již od okamžiku silného zakalení vody způsobeného pohybem ryb při malém objemu vody v rybníce (Mikšíková, 2011). Hodnoty odtoku živin, výše uvedenými autory, jsou v prvé fázi vypouštění rybníků nízké a obvykle se shodují s jeho celoročními hodnotami zjištěvanými u výpusti. Mikšíková a kol. (2012) sledovali vypouštění a výlov dvou rybníků o velikosti 10 a 14 ha. Produkce ryb v nich byla na úrovni 500–600 kg a probíhala obvyklým polointenzvním způsobem. Jeden z rybníků měl loviště a kádište pod vzdušnou stranou hráze. V průběhu vypouštění dosahovala úroveň nerozpuštěných látek (NL₁₀₅) desítek miligramů na litr a postupně vzrůstala k 100 mg.l⁻¹. Obsah celkového fosforu (TP) byl v rozmezí 0,115 až 0,252 mg.l⁻¹, resp. 0,081 až 0,259 mg.l⁻¹. Den před výlovem, kdy bylo v rybnících již méně vody, dosahovala koncentrace NL₁₀₅ již řádově stovky miligramů na litr. Koncentrace TP se rovněž zvýšila na 0,446, resp. 1,160 mg.l⁻¹. Ráno při výlovu se však koncentrace NL₁₀₅ zvýšila velmi výrazně na 3 720 až 11 000 mg.l⁻¹ u rybníka s klasickým lovištěm, resp. 9 440 až 139 000 mg.l⁻¹ u rybníka s výlovem v podhrází. Podobně reagovala i koncentrace TP, která se v průběhu výlovu pohybovala na úrovni 5 až 17,4 mg.l⁻¹, resp. 11,4 až 127 mg.l⁻¹. Vyšší koncentrace byly zaznamenány v rybníků s výlovem v podhrází. To je poněkud překvapivé zjištění, neboť výlov v podhrází je obecně považován za nejšetrnější způsob výlovu jak pro ryby, tak i z hlediska odnosu sedimentu z nádrže. Při spočítání odnosu NL₁₀₅ a TP za celý průběh vypouštění bylo zjištěno, že v průběhu samotného výlovu odchází 15,6 a 12,4 % NL₁₀₅, resp. 27,0 a 17,6 % TP. V průběhu vlastního výlovu obou rybníků odešlo 42,3 a 85,5 % NL₁₀₅, resp. 37,5 a 80,6 % TP. Po ukončení výlovu to bylo u prvního rybníka až 42,1 % NL₁₀₅ a 35,5 % TP, zatímco u druhého jen 2,1 % NL₁₀₅ a 1,8 % TP (výpust byla zde brzo uzavřená). Celkově z rybníků odteklo spolu s vodou jen 0,2 až 0,5 % objemu sedimentu uloženého v rybníce, což je zanedbatelné množství. Mikšíková a kol. (2012) rovněž zjistila závislost mezi množstvím nerozpuštěných látek a celkovým obsahem fosforu.

Při sledování výlovu dvou menších rybníků (1,4 a 1,6 ha) zjistil Kalenda a kol. (1982) celkový odnos sušiny z 1 ha 919–1080 kg.ha⁻¹. Odnos nerozpuštěných látek byl podle jejich pozorování ovlivněný chováním rybí obsádky. Obsádka kapra podkalovala vodu při výlovu mnohem více, než obsádka línů. V přepočtu na 1 ha vodní plochy činilo množství odneseného sedimentu během výlovu 1,0 a 1,6 mm.ha⁻¹. Naproti tomu do rybníků přiteklo v průběhu vegetačního období 27 až 52 mm.ha⁻¹ sedimentu. Při přípravě výlovu a během výlovu výrazně



vzrůstají hodnoty NH_4^+ , PO_4^{3-} a TP, zatímco nevzrůstaly hodnoty dusitanových a dusičnanových iontů. Rovněž zmiňují, že nedošlo ke zhoršení ani tzv. bakteriální zátěži.

Změny kvality vody při výlovu dvou rybníků (Vysocina a jižní Morava) sledovali rovněž Poštulková a kol. (2012). Z jejich výsledků vyplývá, že na rybníce Medlov (28,5 ha) byla v průběhu jeho vypouštění průměrná koncentrace TP $0,22 \text{ mg.l}^{-1}$, zatímco při výlovu vzrostla na $0,98 \text{ mg.l}^{-1}$ (průměr). Podobně na tom byla rovněž koncentrace TOC, která při vypouštění rybníka dosahovala průměrné hodnoty $20,39 \text{ mg.l}^{-1}$, zatímco maximální hodnota 53 mg.l^{-1} byla zjištěna na konci výlovu. Mnohem větší dynamiku změny koncentrace však vykazoval TN, který měl průměrný obsah $2,4 \text{ mg.l}^{-1}$, ale jeho minimum bylo $1,2 \text{ mg.l}^{-1}$, resp. maximum $7,7 \text{ mg.l}^{-1}$. Na Jaroslavickém rybníku (188,7 ha) byla průměrná koncentrace TP při vypouštění $0,26 \text{ mg.l}^{-1}$ a při vlastním výlovu vzrostla na maximum $0,76 \text{ mg.l}^{-1}$. Průměrná koncentrace TOC byla na tomto rybníku poněkud vyšší, a to $28,24 \text{ mg.l}^{-1}$, přičemž minimum bylo $13,40 \text{ mg.l}^{-1}$, resp. maximum na konci výlovu až $45,40 \text{ mg.l}^{-1}$. Koncentrace zjištěné pro TN však byly poněkud nižší a dosahovaly v průměru $1,60 \text{ mg.l}^{-1}$, přičemž maximum činilo jen $5,50 \text{ mg.l}^{-1}$.

Stejně trendy ve změně kvality vody uvádějí rovněž zahraniční autoři z výlovu rybníků s chovem sumečka tečkováného (*Ictalurus punctatus*) v USA (Boyd, 1978; Schwartz a Boyd, 1994) a pro extenzivní rybníky s obsádkou kapra a doplňkových ryb ve Francii (Banas a kol., 2002; Banas a kol., 2008).

Možnosti využití živin z chovu ryb

V současnosti je v mezinárodním kontextu silně vnímána potřeba efektivněji hospodařit s živinami, které při chovu ryb vznikají, resp. při výlovech rybníků unikají. V tropických oblastech, kde se v rybních realizuje chov různých druhů tilapií a sumců, se proto hledají takové metody chovu ryb, které lépe využijí všechny spotřebované živiny. Voda vypuštěná z rybníků je tak používána k pěstování rýže. Po výlovu rybníka je jeho dno následně používáno k pěstování zemědělských plodin pro lidskou potřebu anebo jen mokřadních rostlin (retence P a N). Případně se uvažuje s využitím rybničních sedimentů jako hnojiva v rostlinné výrobě (Kwei Lin a kol., 2001; Kwei Lin a Yang Yi, 2003; Muendo a kol., 2014).

S ohledem na vysoké koncentrace nerozpuštěných látek při samotném výlovu rybníků doporučují Schwartz a Boyd (1994) klidné vypouštění většiny vody z rybníků, protože koncentrace potenciálně znečišťujících látek jsou před vlastním výlovem nízké. Za nejlepší způsob jak minimalizovat potenciální znečištění vody sedimenty rybníků, zejména během výlovu, považují co nejrychlejší slovení ryby z rybníka a během výlovu nevypouštět vodu. Případně v průběhu výlovu vypouštět znečištěnou vodu do usazovací nádrže nebo retenčního rybníka. V současnosti proto v Rakousku musí investor nově budovaných rybníků zřizovat pod ním laguny. Za účelem sedimentace nerozpuštěných látek je nutné na 20–30 min. zadržet vodu vytékající z rybníka během posledních 24 hodin před výlovem a v jeho průběhu (Bauer, osobní sdělení 2016).

Nové směry ve využití rybničního sedimentu

Naši předkové, limitovaní nedostatkem živin v půdách věděli, že sedimenty z rybníka jsou velmi efektivní a vítané hnojivo. Z tohoto důvodu ho rádi využívali pro zúrodňování svých polí. Podle Potužáka a kol. (2015) je důležité soustředit se na možnosti navrácení živin z rybničního sedimentu (bohatého na živiny) zpět na pole a obnovit cyklus živin v krajině. Z těchto důvodů jsou nyní testovány v provozních podmínkách technologie pro separaci rybničního bahna při odbahňování loviště rybníků. Využívána je technologie sacích bagrů, ze kterých je zvodněný sediment jímán v geotextilních vacích za použití flokulantů (Vaníček,



2014; Potužák a kol., 2017). Podle zjištění jsou zkoumané rybniční sedimenty cenným materiálem s potenciálem pro zlepšení úrodnosti půd. Riziko opětovného splachu živin do povrchových vod je velmi nízké (Potužák a kol., 2015). Recyklace živin s využitím rybničních sedimentů je snaha o propojení zpřetrhaných energetických a látkových toků v zemědělské krajině. Pozitivní výsledný efekt se zvýšením úrodnosti se projeví až v následujících několika letech po aplikaci (Potužák a kol., 2017).

Snahu o zachycení a opětovné využití živin uložených v rybničním sedimentu je proto možné považovat za nanejvýš aktuální jak v zemědělství, tak i akvakultuře.

3 Materiál a metodika

3.1 Odběr vzorků vody a sedimentu in situ

Odběr vzorku vody

Vzorky vody byly odebírány vždy na dvou profilech, pod hrází rybníka (ve vývařišti) – profil „A“ a pod druhou barierou z balíků slámy – profil „B“ tak, aby bylo možné zajistit reprezentativní vzorek vody. U některých rybníků (Novokoželský 2016 a 2017, Brdský 2017) bylo nutné odebírat vzorek vody pod druhou barierou poněkud níže pod hrázkou, aby odebraný vzorek obsahoval rovněž vybřeženou část vody po jejím opětovném navrácení do koryta stoky. Na rybníku Vrbice 2017 byly odebírány rovněž vzorky na profilu „C“ a „D“. Profil „C“ představoval proud vody stékající se do jednoho místa na louce. Jednalo se o vodu, která výše unikala přes boční stěny obou hrázeck. Tekla volně po povrchu louky (pastviny) o ploše cca 170 m². Profil „D“ pak představoval vyústění stoky na louku po jejím průtoku silně zarostlým úsekem (křoviny a vysoké bylinky) v délce cca 18 m.

Na rybníku Mokrý 2017 bylo provedeno vzorkování na třech profilech A, B, a C. Důvodem byla nestandardní situace na lokalitě, zjištěná v den vzorkování. Níže položený rybník Starý Čekanický, který měl být v době výlovu bez vody, byl na plné hladině a zpětně vzdouval svou výtopou vodu ve stoce pod rybníkem Mokrý až do vývařiště (má jiného vlastníka a uživatele než je Blatenská ryba, s.r.o.). Díky tomu nebylo možné postavit zcela dokonalé hráze, jako u předchozích rybníků. Na vhodném místě byla proto postavena jen jedna hrázka, která ale netěsnila celý profil stoky a vodu zásadně nevzdouvala (stoka již byla plná vody vystavené níže položeným rybníkem). Balíky sena plavalaly a nebylo možné překonat vztlak více než dvou balíků fixačními prostředky, které byly v danou chvíli k dispozici. Hloubka vody ve stoce na profilu hrázky byla kolem 1 m, i po úplném zastavení vody při vypouštění rybníka Mokrý. Průtok vody byl však v daném profilu hrázkou částečně brzděn, což způsobovalo rozdíl ve výšce hladin nad a pod hrázkou v rozsahu cca 2–10 cm (dle aktuální velikosti průtoku vody). Pod touto první hrázkou byl vzorkován profil „B“. Nicméně o něco níže, v prostoru, kde měla být původně postavena druhá hrázka, byl odebírány vzorek vody na profilu „C“. Stoka byla plná vody vystavené jinak než budováním hrázeck, takže proces sedimentace nerozpuštěných částic mohl probíhat obdobně. Z tohoto důvodu je dále hodnocen a srovnáván profil „C“ na rybníku Mokrý s profilem „B“ ostatních rybníků. Po výlovu byl rovněž odebrán jeden kontrolní vzorek vody v rybníku Starý Čekanický, do kterého veškerá voda z rybníka Mokrý odtékala (označení „rybník pod“).



Vlastní odběr vzorků vody probíhal pomocí teleskopické tyče s 1 000 ml plastovou kádinkou na konci (viz. Obr. 1). Jednotlivé dílčí vzorky vody byly slévány do větší plastové nádoby o objemu 20 l. U prvních čtyřech rybníků lovených na podzim 2016: Jenšovský, Podsilničný, Novokoželský 2016 a Ouhlín trvalo slévání dílčích vzorků 2–3 minuty, přičemž byl nejprve odebrán vzorek vody na profilu „A“ a až poté na profilu „B“. U ostatních rybníků (Brdský, Vrbice, Pláňavy, Novokoželský 2017 a Mokrý) byl interval pro odběr dílčích vzorků prodloužen na 15 minut z důvodu eliminace náhodného zachycení kvalitativně odlišného typu vody. Vzorkování na profilu „A“ a „B“ probíhalo současně. Následně byl vždy ve velké plastové nádobě směsný vzorek vody homogenizován intenzivním proléváním a mícháním pomocí kuchyňské odměrky. Takto homogenizovaný vzorek byl poté naléván do plastových vzorkovnic o objemu 1–2 litry pro stanovení: NL (nerozpuštěných látek) 105 °C a 550 °C, TC, TIC, TOC, CHSK_{Cr}, BSK₅, N_{celk.}, KNK_{4,5}; Dále byl zajištěn vzorek 50 ml pro centrifugaci ve zkumavkách, resp. do 100 ml kelímku pro: P_{celk.}, Fe_{celk.}, Ca a do 25 ml plastové lahvičky pro P_{rozpuštěný}, Fe_{rozpuštěný}, tento vzorek byl navíc na místě upraven filtrací přes jednorázový nylonový filtr s velikostí ok 0,45 µm.



Obrázek 1. Odběr vzorku vody pod hrází rybníka Pláňavy

S ohledem na finanční možnosti projektu bylo přistoupeno k odběru vzorků vody v pěti různých fázích výlovů:

1. noc před výlovem,
2. ráno před výlovem,
3. těsně před výlovem,
4. výlov,
5. hodinu po výlovu.



K odběru vzorku v jednotlivých fázích bylo přistoupeno vždy co nejpozději, aby došlo u vzduté a akumulované vody v prostoru hráze k její obměně.

Na všech devíti sledovaných rybnících se nám nepodařilo odebrat vzorky vody ve všech pěti fázích výlovu. S ohledem na dynamiku strojení a velikost rybníku nebyl večer, resp. v noci před výlovem odebrán vzorek na rybnících Ouhlín 2016 a Vrbice 2017. Voda v tom čase z rybníka neodtekala. Strojíč rybník pro nedostatek vody zastavil. Naproti tomu na rybníku Jenšovský 2016 nebyl odebrán vzorek vody ve fázi „těsně před výlovem“. Jednalo se o náš první vzorkovaný rybník, kde pro malou biomasu ryb nacházejících se v lovišti (letní úhyn velké části obsádky), byl závěr strojení a vlastní výlov ryb velmi rychlý. Z plánovaného odběru „těsně před výlovem“ se tak stal vzorek „výlov“.

Odběr vzorku sedimentu

Sedimenty byly odebírány vždy několik dní po výlovu rybníka, poté co došlo k alespoň částečnému zaschnutí zachyceného bahna. Vlastní odběr probíhal pomocí zednické lžíce, případně polévkové jídelní lžíce. Dílčí vzorky byly odebírány z několika míst a různých hloubkových profili zdrže a následně umístěny do cca 3 l plastových nádob, kde došlo k prvotnímu promíchání vzorku. Tento surový vzorek byl odevzdán k dalšímu zpracování do laboratoře Povodí Vltavy, s.p. v Českých Budějovicích (viz. kapitola 3.3).

S ohledem na finanční možnosti projektu bylo odebráno pouze 7 vzorků sedimentu – plaveného bahna ve stoce pod čtyřmi rybníky.

Novokoželský 2016 – 1 směsný vzorek

Vrbice – 2 směsné vzorky (sediment nad první hrázkou a sediment nad druhou hrázkou)

Pláňavy – 2 směsné vzorky (sediment nad první hrázkou a sediment nad druhou hrázkou)

Novokoželský 2017 – 2 směsné vzorky (sediment nad první hrázkou a sediment nad druhou hrázkou)

3.2 Měření základních fyzikálně chemických vlastností vody

V průběhu celého sledování bylo prováděno v terénu měření základních fyzikálně chemických vlastností vody pomocí multiparametralní sondy YSI EXO 2 (viz. Obr. 2), která byla osazena těmito senzory:

1. EXO Conductivity/Temperature Sensor, Ti

Teplota vody ($^{\circ}\text{C}$),

Vodivost – konduktivita ($\mu\text{S} \cdot \text{cm}^{-1}$) je uváděná pro lepší srovnání jako specifická vodivost – **SPC**, tedy hodnota přepočtena na teplotu vody 25°C ,

TDS (Total dissolved solids) – celkové rozpuštěné pevné látky ($\mu\text{g} \cdot \text{l}^{-1}$),

Salinita (ppt.) stanovena výpočtem dle algoritmu z vodivosti a teploty vody,

2. EXO Optical DO Sensor, Ti

množství rozpuštěného **kyslíku** ($\text{mg} \cdot \text{l}^{-1}$)

nasycení vody **kyslíkem** (%),

3. EXO ISE06 pH/ORP Sensor Assembly, Unguarded, Ti

pH,

Oxido-redukční potenciál - **ORP** (mV),



4. EXO Total Algae - PC Sensor, Ti
Chlorofyl a – **Chlor. a** ($\mu\text{g.l}^{-1}$),
Modro zelené řasy (sinice) (Blue-green Algae) **BGA-PC** ($\mu\text{g.l}^{-1}$)



Obrázek 2. Multiparametrická sonda YSI EXO2

3.3 Laboratorní analýza vzorku vody a bahna

Všechny vzorky vody a bahna byly laboratorně zpracovány ve Vodohospodářské laboratoři České Budějovice – Povodí Vltavy, s.p., Emila Pittera 1, 370 01 České Budějovice.

Analýza vzorku vody

Chemická analýza vzorků vody byla zaměřena na stanovení koncentrace organických a nerozpustených látek, hlavních živin a vybraných kovů. Množství organických látek bylo stanoveno jako koncentrace **TOC** (celkový organický uhlík). Tento parametr byl společně s **TC** (celkový uhlík), **TIC** (celkový anorganický uhlík) a **TN** (celkový dusík) stanovován na přístroji Analytik Jena multi N/C 2100 dle ČSN EN 1484. U vybraných rybníků bylo množství organických látek zjišťováno také parametrem **BSK₅** (biologická spotřeba kyslíku za 5 dní) a **CHSK_{Cr}** (chemická spotřeba kyslíku) dle ČSN EN 1899-1, ČSN EN 1899-2, resp. ČSN ISO 15705. Koncentrace nerozpustených látek byla stanovena jako nerozpustené látky sušené při 105 °C (**NL₁₀₅**) a nerozpustené látky žíhané při 550 °C (**NL₅₅₀**) postupem dle v ČSN EN 872. Alkalita (**KNK_{4,5}** – kyselinová neutralizační kapacita) byla zjišťována dle standardního postupu uvedeného v ČSN EN ISO 9963-1. Koncentrace celkového fosforu (**TP**), železa (**Fe**) a vápníku (**Ca**) byla po předúpravě odebraného vzorku mikrovlnným rozkladem stanovována metodou ICP-MS a ICP-MS/MS na přístroji Agilent 7500ce a Agilent 8800 QQQ dle ČSN EN ISO 17294-2. Vzorky pro stanovení rozpustených forem kovů (celkový rozpustený fosfor – **P_{rozpuštěný}**, celkový rozpustené železo – **Fe_{rozpuštěný}**) byly ihned po odběru přefiltrovány přes 0,45 um filtr (nylon). Následný analytický postup byl obdobný jako v případě stanovení celkových kovů.

S ohledem na racionální využití finančních prostředků byl na začátku projektu, kdy docházelo k získávání prvních zkušeností s technologií budování hrázeck použit užší rozsah



sledovaných parametrů vody. Tako ušetřené prostředky bylo možné použít v závěru sledování k mnohem většímu rozsahu sledovaných parametrů. Přehled o odebraných vzorcích a rozsahu prováděných analýz u sledovaných rybníku uvádí tabulka 1.

Tabulka 1. Přehled odebraných vzorků vody a rozsah provedených analýz

| Parametr | Jenšovský | Podsilniční | Novokoželský 2016 | Ouhlín | Brdský | Vrbice | Pláňavy | Novokoželský 2017 | Mokrý |
|----------------------------------------------------|-----------|-------------|----------------------|--------|--------|--------|---------|----------------------|-------|
| odebrané vzorky podle fáze výlovu | | | | | | | | | |
| noc před výlovem | * | * | * | | * | | * | * | * |
| ráno před výlovem | * | * | * | * | * | * | * | * | * |
| těsně před výlovem | * | * | * | * | * | * | * | * | * |
| výlov | * | * | * | * | * | * | * | * | * |
| hodinu po výlovu | * | * | * | * | * | * | * | * | * |
| analyzované parametry | | | | | | | | | |
| BSK₅ (mg.l⁻¹) | | | | | * | * | * | * | * |
| CHSK_{Cr} (mg.l⁻¹) | | | | | * | * | * | * | * |
| NL₁₀₅ (mg.l⁻¹) | * | * | * | * | * | * | * | * | * |
| NL₅₅₀ (mg.l⁻¹) | * | * | * | * | * | * | * | * | * |
| TN (mg.l⁻¹) | * | * | * | * | * | * | * | * | * |
| TP (mg.l⁻¹) | * | * | * | * | * | * | * | * | * |
| P_{rozpuštěný} (mg.l⁻¹) | * | * | * | * | * | * | * | * | * |
| TOC (mg.l⁻¹) | * | * | * | * | * | * | * | * | * |
| TIC (mg.l⁻¹) | | | | | * | * | * | * | * |
| TC (mg.l⁻¹) | | | | | * | * | * | * | * |
| KNK_{4,5} (mmol.l⁻¹) | | | | | * | * | * | * | * |
| Ca (mg.l⁻¹) | | | | | * | * | * | * | * |
| Fe (mg.l⁻¹) | | | | | * | * | * | * | * |
| Fe_{rozpuštěný} (mg.l⁻¹) | | | | | * | * | * | * | * |

Analýza vzorku bahna

Po odběru a následném doručení vzorků plaveného bahna do laboratoře byl vzorek sedimentu dokonale homogenizován. Následně byla provedena sítová analýza za mokra (dle DIN 66165 -1:2016-08 a DIN 66165 – 2:2016-08). Poté proběhla lyofilizace vzorku s použitím lyofilizátoru Cool Safe 100 – 9 – PRO při -100 °C, tlaku < 1,0 hPa po dobu přibližně 48 hodin. Po lyofilizaci byl vzorek opět homogenizován a sítován za sucha přes síto o velikosti ok 2 mm. Následovalo namletí vzorku oscilačním kulovým mlýnem (Retsch, typ. MM200).

Obsah celkového fosforu (TP), vápníku (Ca), hořčíku (Mg) a draslíku (K) byl stanoven metodou ICP – MS nebo ICP-MS/MS (Agilent 7500ce, Agilent 8800 QQQ) dle ČSN EN ISO 17294-2. Před vlastním měřením byl předupravený vzorek mineralizován mikrovlnným rozkladem (Milstone Ethos Sel) po přidání 2ml HNO₃ p.p a 2ml H₂O₂p.a.



Koncentrace **celkového dusíku (TN)** byla stanovena metodou dle Kjeldahla, kdy se vzorek mineralizuje na mokré cestě s použitím oxidu titaničitého jako katalyzátoru (ČSN ISO 11261).

Stanovení **celkového uhlíku (TC)** a **celkového organického uhlíku (TOC)** probíhalo termickým rozkladem dle ČSN EN 13137 a ČSN ISO 10694 na přístroji Analyzátor Multi N/C 2100S s modulem pro pevné látky HT 1300.

Množství **využitelných živin (P, Ca, Mg, K)** bylo stanoveno ve frakci < 2 mm, kdy se vzorek extrahoval extrakčním roztokem podle Mehlicha 3 (viz. Jednotné pracovní postupy Analýza půd I – III (Brno 2010 – 2011)). V extraktu se analyty stanovovaly metodou F-AAS (Ca a Mg), metodou OES (K) a spektrofotometricky (P).

PH v suspenzi (pH CaCl₂)- bylo stanoveno skleněnou elektrodou v suspenzi pevné matrice a kapaliny v objemovém poměru 1:5 dle ČSN ISO 10390.

Vzorek pro stanovení **ztráty žiháním a zbytku po žihání** se vyžíhal v peci při 550 ± 25 °C do konstantní hmotnosti. Z rozdílu hmotnosti před žiháním a po něm se vypočetla ztráta žiháním (např. dle ČSN EN 12879).

3.4 Charakteristika rybníků

Práce v terénu probíhala na těchto osmi rybnících, na kterých hospodaří Blatenská ryba, s.r.o.

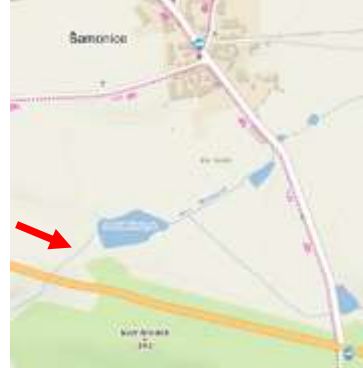
Rybniček Jenšovský (4,44 ha)

| Rybniček | Jenšovský |
|----------------------------------------------|---------------------------------|
| Katastrální území | Oldřichov u Písku |
| Číslo parcely | 1880 |
| Výměra parcely (m ²) | 44 427 |
| Vodní plocha (ha) | 3,93 |
| Objem vody (m ³) | 50 355 |
| Obsádka | K ₀ → K ₁ |
| Biomasa v době výlovu (kg.ha ⁻¹) | 84 |
| Datum výlovu | 27. 10. 2016 |



Rybniček Podsilničný (1,94 ha)

| Rybniček | Podsilničný |
|----------------------------------------------|---------------------------------|
| Katastrální území | Šamonicce |
| Číslo parcely | 244/1 |
| Výměra parcely (m ²) | 19 351 |
| Vodní plocha (ha) | 1,80 |
| Objem vody (m ³) | 15 000 |
| Obsádka | K ₁ → K ₂ |
| Biomasa v době výlovu (kg.ha ⁻¹) | 667 |
| Datum výlovu | 11. 11. 2016 |





Rybnič Novokoželský (5,78 ha)*

| Rybnič | Novokoželský |
|----------------------------------------------|---------------------------------|
| Katastrální území | Kožl u Čížové |
| Číslo parcely | 78/2 |
| Výměra parcely (m ²) | 57 759 |
| Vodní plocha (ha) | 5,00 |
| Objem vody (m ³) | 50 000 |
| rok 2016 | |
| Obsádka | K ₁ → K ₂ |
| Biomasa v době výlovu (kg.ha ⁻¹) | 1 360 |
| Datum výlovu | 15. 11. 2016 |
| rok 2017 | |
| Obsádka | K ₂ → K ₃ |
| Biomasa v době výlovu (kg.ha ⁻¹) | 1 340 |
| Datum výlovu | 14. 11. 2017 |



*rybník byl sledován dva krát na podzim 2016 a 2017

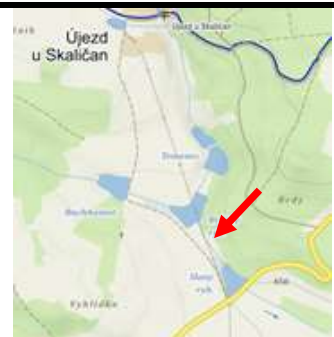
Ouhlín (6,57 ha)

| Rybnič | Ouhlín |
|----------------------------------------------|---------------------------------|
| Katastrální území | Rojice |
| Číslo parcely | 14/1 |
| Výměra parcely (m ²) | 65 671 |
| Vodní plocha (ha) | 6,20 |
| Objem vody (m ³) | 50 000 |
| Obsádka | K ₀ → K ₁ |
| Biomasa v době výlovu (kg.ha ⁻¹) | 239 |
| Datum výlovu | 23. 11. 2016 |



Brdský (1,63 ha)

| Rybnič | Brdský |
|----------------------------------------------|---------------------------------|
| Katastrální území | Chobot |
| Číslo parcely | 1101 |
| Výměra parcely (m ²) | 16 301 |
| Vodní plocha (ha) | 0,91 |
| Objem vody (m ³) | 9 090 |
| Obsádka | K ₂ → K ₃ |
| Biomasa v době výlovu (kg.ha ⁻¹) | 2 915* |
| Datum výlovu | 10. 3. 2017 |





*obsádka komory, vlastní obsádka + svoz na komoru

Vrbice (1,10 ha)

| Rybniční území | Vrbice |
|----------------------------------------------|---------------------------------|
| Katastrální území | Láz u Radomyšle |
| Číslo parcely | 87 |
| Výměra parcely (m ²) | 11 043 |
| Vodní plocha (ha) | 0,80 |
| Objem vody (m ³) | 7 000 |
| Obsádka | K ₂ → K ₃ |
| Biomasa v době výlovu (kg.ha ⁻¹) | 844 |
| Datum výlovu | 26. 9. 2017 |



Pláňava (8,12 ha)

| Rybniční území | Pláňava |
|----------------------------------------------|---------------------------------|
| Katastrální území | Sedlice u Blatné |
| Číslo parcely | 1348/6 |
| Výměra parcely (m ²) | 81 264 |
| Vodní plocha (ha) | 7,70 |
| Objem vody (m ³) | 54 198 |
| Obsádka | K ₁ → K ₂ |
| Biomasa v době výlovu (kg.ha ⁻¹) | 636* |
| Datum výlovu | 13. 11. 2017 |



*rybník má 2 loviště cca 51 % obsádky kapra bylo sloveno ve sledovaném „malém“ lovišti a zbytek obsádky byl sloven druhý den na „velkém“ lovišti

Mokrý (22,00 ha)

| Rybniční území | Mokrý |
|----------------------------------------------|---------------------------------|
| Katastrální území | Sedlice u Blatné |
| Číslo parcely | 325/10 |
| Výměra parcely (m ²) | 220 419 |
| Vodní plocha (ha) | 20,00 |
| Objem vody (m ³) | 119 260 |
| Obsádka | K ₁ → K ₂ |
| Biomasa v době výlovu (kg.ha ⁻¹) | 590 |
| Datum výlovu | 20. 11. 2017 |





3.5 Budování a odstraňování hrázek

Budování hrázek

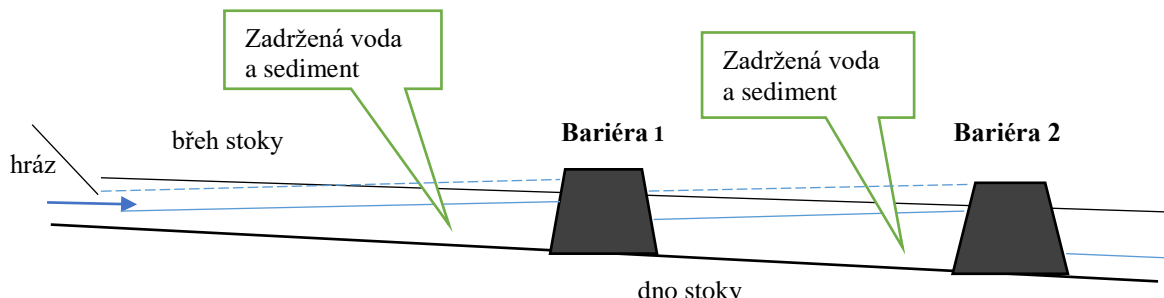
Hrázky byly budovány ve stokách pod rybníkem v dostatečném odstupu od samotné hráze rybníka, resp. vývarště tak, aby nedocházelo k brždění odtékající vody z rybníka. Důležitý byl rovněž přístup mechanizace (nákladní automobil, bagr) do prostoru pod rybníkem při jejich následném odstraňování. Proto bylo nutné vždy pečlivě zvažovat, kde budou hrázky postaveny. Např. na rybníku Ouhlín byla druhá hrázka postavena poměrně blízko pod první z důvodu měkkého podloží kolem stoky níže po vodě. Žádoucí bylo při budování hrázek využít co nejmenšího spádu stoky tak, aby bylo možné maximalizovat akumulační objem hrázek.

V průběhu strojení rybníka k výlovu, byly v posledních cca 24 hodin před vlastním výlovem instalovány do odtokové stoky pod rybníkem vždy dvě bariéry z balíků lisované slámy (sena) za účelem zadržení sedimentů. Bariéry byly postaveny ve vzdálenosti od 20–45 m (1. bariéra), resp. do 30–85 m (2. bariéra) od hráze. Výška bariér korespondovala s hloubkou stoky na daném profilu (max. 3 vrstvy balíků), resp. na některých rybnících (Podsilničný, Brdský, Vrbice, Pláňavy) byla budována postranní křídla z jedné vrstvy balíků. Schéma a princip instalace soustavy bariér pod rybníkem znázorňuje v řezu obr. 3, vlastní instalaci na jednom z rybníků pak ukazuje obr. 4.

K budování bariér – hrázek ve stokách byly použity malé balíky suchého sena / slámy (0,4 x 0,4 x 0,75 m) z lokálních zdrojů, jejichž hmotnost byla cca 10 kg. Tlak lisu byl při jejich výrobě nastaven na nejnižší možnou sílu tak, aby bylo možné balíky ještě upravit (svázat). Důvodem je vyšší propustnost balíků pro vodu. Balíky byly ukotveny do stok pomocí ocelových prutů propíchnutím, resp. vzdušná strana hrázky byla ještě někdy zapřena ocelovou konstrukcí (klecí).

Hrázky byly stavěny obvykle ze dvou řad balíků těsně vedle sebe tak, aby mezery mezi nimi byly vzájemně překryty. Na prvním rybníku, Jenšovském, byly bariéry postaveny jen z jedné řady balíků slámy. To se však při výšce třech vrstev balíků ukázalo jako nestabilní řešení. Na druhém rybníku – Podsilničném jsme proto použili dvě řady balíků slámy, kterými již byla zajištěna adekvátní pevnost a stabilita hrázek. Na třetím rybníku – Novokoželském 2016, byly použity tři řady balíků. Nicméně očekávané posílení stability hrázek a zamezení jejich podtékání se nepotvrdilo. První barieru nám dokonce vzala 2x voda a bylo ji nutné postavit znova. Z důvodu úspory času a materiálu byly dále budovány hrázky jen ze dvou řad balíků. Toto řešení se osvědčilo jako dostačující a optimální.

Při zakládání spodní vrstvy balíku bylo potřebné využít vhodného profilu stoky, případně jeho koryto drobně upravit (lopatou, krumpáčem) dle velikosti a potřeb umístěných balíku s cílem co nejlepšího napojení balíků sena na profil koryta stoky.





Obrázek 3. Schéma způsobu zpomalení toku vody v bariérách, zadržení vody a sedimentů při závěrečné fázi vypouštění a při vlastním výlovu rybníka



Obrázek 4. Instalace barier pod rybníkem Brdský

V průběhu řešení projektu a sledování funkčnosti hráze se ukázalo, jako problém, podtékání hráze vodou pod jejich základem. Hrázky byly obecně budovány na měkkém dně stoky. Zvýšený tlak vzduté vody je poměrně rychle probral. Díky tomu obvykle nedocházelo k přelití vrcholu hráze. Voda unikala ze vzdutí spodem a po stranách, případně mezerami mezi balíky. Tato skutečnost snižovala objem vzduté vody a tím i čas jejího zdržení, tedy efektivitu sedimentace. To se projevovalo na horších výsledcích sedimentace a následného zlepšování kvality vody, zejména ve fázi „po výlovu“, resp. vždy, kdy teklo stokou z různých důvodů málo vody. Omezení tohoto problému bylo řešeno po konzultaci s kolegy z ČVUT v Praze. Navrženo bylo vystláni prostoru před barierou geotextilní látkou, která bude průnik vody u návodní paty hráze tlumit a prostorově rozptylovat. S ohledem na požadavek biodegradability všech použitých materiálů z důvodu kompostování, byla vybrána a použita jutová tkanina: přírodní juta 365 g/m² o šířce 160 cm (http://eshop.romak.cz/product/prirodni-jutova-tkanina/jutovina-metraz/prirodni-juta-365g_m2-sire-160cm/699). Touto látkou byla ve dvou pruzích vzájemně překrytých vystlána návodní strana hráze, jakož i dno před hrázkou do vzdálenosti 2–3 m. Jutová tkanina byla fixována do hráze a břehů stoky pomocí železných trnů. U návodní paty hráze a na začátku byla zatížena jutovými pytlí naplněnými do ¼ sedimenty odebranými ve výtopě rybníka (obr. 5). Tato technika byla úspěšně použita na rybnících Pláňavy a Novokoželský 2017.



Obrázek 5. Bariera z balíků slámy vystlaná tkaninou na rybníku Pláňavy

Bariéry sloužily ke vzdutí vodní hladiny ve stoce a k zajištění zdržení odtékající vody. To podpořilo proces sedimentace nerozpustných látek. V době instalace bariér byla již převážná část objemu vody z rybníků vypuštěna jako neznečištěná.

Odstraňování hrázeck

Po výlovu rybníku byly ponechány hrázky na místě, do doby než je bylo možné odstranit. Z provozních důvodů, jakož i s ohledem na únosnost terénu bylo přistoupeno k odstranění hrázeck u rybníků lovených na podzim 2016 a jaře 2017 až v létě 2017. Díky déletrvajícímu suchu byly stoky pod rybníkem dobře přístupné pro těžkou kolovou mechanizaci. Rybníky lovené na podzim 2017 byly vyčištěny hned po výlovu, resp. na konci listopadu 2017.

Při čištění stok pod rybníkem byla využita tato technika: bagr TATRA 815 UDS, nákladní vozy TATRA 148 (2x) a PRAGA V3S, miny-rypadlo TAKEUCHI, kráčející kolové rypadlo SCHAEFF 41. Technika byla volena s ohledem na místní podmínky jednotlivých rybníků.

3.6 Výpočet objemu hrázeck, průtoku vody a bilance živin

Výpočet objemu hrázeck

Po vybudování hrázeck byl v terénu pořízen orientační nákres lokality a pomocí pásmu změřeny jednotlivé vzdálenosti a rozměry klíčových prvků pro výpočet objemu vzduté vody (délka vzdutí, šířka a hloubka stoky). Z těchto podkladů byl následně vypočítán teoretický objem akumulované vody (V_b) nad první a druhou barierou v krychlových metrech. Skutečný objem akumulované vody se však v čase mohl lišit. Při špičkovém vypouštění vody doházelo



ke zvyšování vodní hladiny a tím i objemu zadržené vody. Naopak při přistavení rybníka, resp. v závěru výlovu (loviště bez vody) docházelo k poklesu průtoku vody stokou. Následně díky netěsnosti barier u dna přicházel pokles výšky vodní hladiny a tím i objem akumulované vody.

Výpočet průtoku vody, objemu barier a doby zdržení

Průtok vody barierami byl sledován od doby instalace barier do ukončení výlovu ryb, resp. vypuštění vody z loviště. S ohledem na velkou dynamiku průtoku vody při strojení rybníků a technické možnosti byl objem protečené vody barierami (m^3) vypočítán z měření rozdílů plochy vody v lovišti mezi jednotlivými fázemi vypouštění či výlovu a výškou poklesu vodní hladiny podle vzorce:

$$V = \frac{Sz + Sk}{2} \times h$$

V – objem odtečené vody (m^3)
 Sz – plocha vody v lovišti na začátku sledování v (m^2)
 Sk – plocha vody v lovišti na konci sledování (m^2)
 h – výška poklesu vodní hladiny mezi Sz a Sk (m).

Za každou sledovanou fázi výlovu byl následně spočítán průměrný průtok vody ($m^3 \cdot min^{-1}$) za čas podle vzorce:

$$Q = \frac{V}{t}$$

Q – průměrný průtok vody ($m^3 \cdot min^{-1}$)
 V – objem odtečené vody (m^3)
 t – čas (min.).

S ohledem na potřebu přistrojení rybníka na požadovaný čas docházelo podle potřeby strojče a probíhajícího výlovu ke změnám průtoku vody.

Teoretická doba zdržení vody v barierách byla vypočtena z celkového teoretického objemu obou barier a průměrného průtoku vody za danou fázi výlovu podle vzorce:

$$T = \frac{Vb}{Q}$$

T – teoretická doba zdržení (min.)
 Vb – teoretický objem akumulované vody nad barierami (m^3)
 Q – průměrný průtok vody ($m^3 \cdot min^{-1}$)

Skutečná doba zdržení vody však byla určována aktuální výškou vody v barierách, resp. aktuálním objemem akumulované vody. Ten byl negativně ovlivňován netěsností barier a velikostí průtoku vody. Při nízkých průtocích vody docházelo u většiny rybníků k výraznějšímu poklesu reálného objemu akumulované vody a prodloužení doby zdržení ve srovnání s teoretickými hodnotami.

Výpočet zadržení živin

Množství protékající živiny bylo stanoveno výpočtem zvlášť za profil A (pod rybníkem) a profil B (pod 2 barierou). Vlastní množství zachycené / uvolněné živiny v kg bylo vypočteno z objemu proteklé vody a koncentraci konkrétní živiny v dané fázi strojení resp. výlovu rybníka. Z rozdílu obou hodnot byla vypočtena retence živiny v kg, která byla následně vztažena k jeho množství na profilu A v %. Bilance jednotlivých živin byly počítány za jednotlivé fáze výlovu samostatně. Tyto dílčí hodnoty byly následně sečteny za sledované časové období.



$$Zž \text{ (zadrž živiny)} = \sum/A (V \text{ vody} \times g \text{ látek}/m^3) - B (V \text{ vody} \times g \text{ látek}/m^3)/$$

V - objem proteklé vody v m³ za určitou fázi výlovu

\sum - součet zadržených látek za jednotlivé fáze výlovu

Výpočet objemu zachyceného sedimentu

Objem zachyceného sedimentu byl vypočten na základě měření mocnosti sedimentu uloženého ve storce a plochy stoky. Nad každou barierou bylo provedeno několik vpichů, resp. vyhloubeno sond, pomocí kterých bylo možno poznat výšku čerstvého sedimentu v celém podélném profilu vzdutí. Měření objemu sedimentu probíhalo před jeho odstraněním.

3.7 Zpracování dat

Veškerá data byla zpracována v programu Excel, MS Windows. Vypočtena byla průměrná hodnota a směrodatná odchylka (SD). Dále byl mezi hodnotami pod rybníkem a pod barierami počítán jejich rozdíl v %. Následně byl kumulativně za daný rybník, resp. fázi výlovu vypočítán průměr rozdílů látek a jejich směrodatná odchylka.

Statistické zpracování všech dat (s výjimkou základních fyzikálně chemických parametrů vody) proběhlo prostřednictvím programu „R“ pomocí Wilcoxonova testu (neparametrický test) na hladině významnosti p <0,05. Porovnávání proběhlo u jednotlivých rybníků samostatně a společně, jakož i pro jednotlivé fáze výlovu. Zjištěný statistický rozdíl mezi hodnotami je označen pomocí písmen „a, b“ v horním indexu na pravé straně čísla. Pokud rozdíl mezi hodnotami nebyl prokázán, písmena nejsou uvedena.



4 Výsledky

4.1 Jenšovský 2016

Budování hráze a doba zdržení

Na rybníku Jenšovský byla první bariéra postavena 35 m pod hrází, resp. 30 m pod vývaříštěm. Druhá hrázka byla postavena o dalších 20 m níže, tedy 55 m pod hrází rybníka. Objem první bariery byl 21 m^3 a druhé bariery $8,8 \text{ m}^3$. Celkový teoretický objem vzduté vody byl tedy $29,8 \text{ m}^3$. Teoretická doba zdržení byla v první fázi strojení (noc před výlovem) poměrně krátká a to 5–10 min. Důvodem byl vysoký průtok vody při prázdnění rybníku (až $5,4 \text{ m}^3 \cdot \text{min}^{-1}$). V dalších fázích výlovu však došlo k jejímu prodloužení na 20–55 min. Na tomto rybníku byly hrázky postaveny z jedné řady balíků slámy. K podpoře stability byla použita ocelová klec.

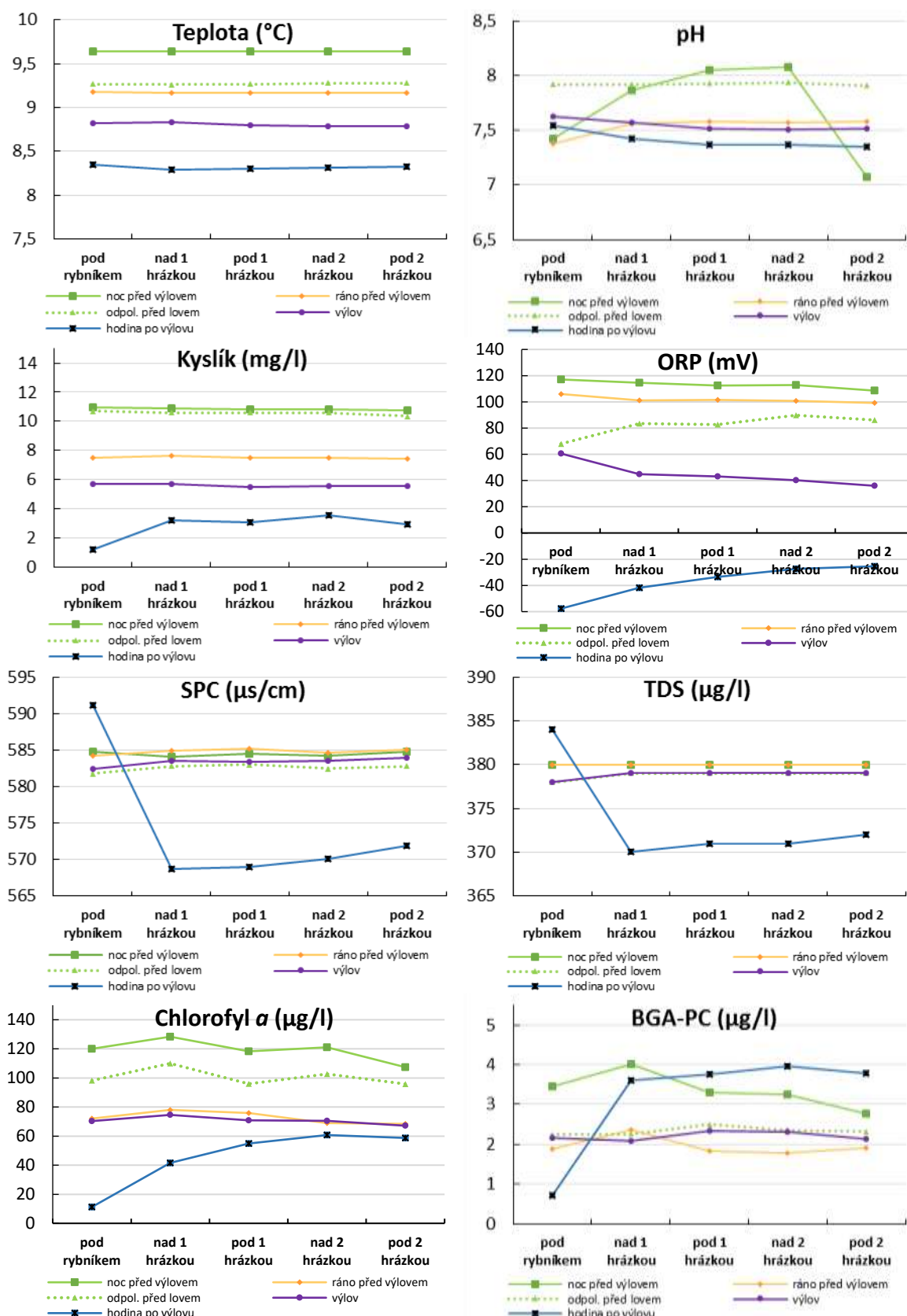
Základní fyzikálně chemické parametry

Celkový přehled základních fyzikálně chemických parametrů vody protékající barierami uvádí tabulka č. 2. Podrobnější dynamika změny je zachycena na obrázku č. 6. Teplota vody byla poměrně vysoká, kolem 9°C z důvodu relativně teplého počasí a v průběhu strojení a výlovu vykazovala klesající tendenci (noční ochlazení, ranní minima). Hodnota pH byla průtokem přes bariery mírně klesající, i když ráno před výlovem došlo naopak průtokem vody barierami k jejímu mírnému zvýšení. Průtok vody barierami ovlivňoval obsah kyslíku, přičemž nejvýrazněji tomu bylo ve fázi „hodinu po výlovu“. Nicméně celkový obsah kyslíku ve vodě v průběhu strojení a výlovu výrazně klesal až na hodnotu $1\text{--}2 \text{ mg.l}^{-1}$. V podobném trendu byla zjištěna rovněž dynamika ORP. Její úroveň v čase výrazně klesala, přičemž po výlovu dosahovala výraznějších záporných hodnot. V průměru však docházelo průchodem vody barierami k určitému poklesu hodnot ORP, s výjimkou posledního měření po výlovu. Stejné trendy vykazovaly rovněž analýzy SPC a TDS, které rovněž průchodem barier mírně klesaly, nicméně k výraznějšímu poklesu jejich hodnoty pod barierami došlo až u vzorku „hodinu po výlovu“. Z obrázku č. 6 je patrné, že průchodem vody barierami docházelo ve většině měření k mírnému zvýšení hodnot Chlorofylu *a* a BGA-PC. Určitou výjimkou pak představuje poslední měření – hodinu po výlovu, kde jejich hodnota naopak vzrostla.

Na rybníku Jenšovský je možné ukázat na určitou změnu kvality vody při vypouštění rybníka v čase „odpoledne před výlovem“ a „noc před výlovem“. I když se situace v rybníce nikterak zásadně nezměnila, na obrázku 6 je možné u obou časů vidět určité odlišnosti (viz. zelené křivky).

Tabulka 2. Základní fyzikálně chemické parametry vody na rybníku Jenšovský (průměr \pm SD)

| Parametr | Počet měření | Pod rybníkem | Nad 1 hrázkou | Pod 1 hrázkou | Nad 2 hrázkou | Pod 2 hrázkou | Průměr \pm SD |
|------------------------------------------|--------------|-------------------|-------------------|-------------------|-------------------|-------------------|-------------------|
| Teplota ($^\circ\text{C}$) | 4 | $9,00 \pm 0,47$ | $8,98 \pm 0,49$ |
| SPC ($\mu\text{S.cm}^{-1}$) | 4 | $585,68 \pm 3,30$ | $580,35 \pm 6,74$ | $580,53 \pm 6,68$ | $580,68 \pm 6,12$ | $581,43 \pm 5,52$ | $581,73 \pm 4,39$ |
| TDS ($\mu\text{g.l}^{-1}$) | 4 | $380,50 \pm 2,18$ | $377,25 \pm 4,21$ | $377,50 \pm 3,77$ | $377,50 \pm 3,77$ | $377,75 \pm 3,34$ | $378,10 \pm 2,64$ |
| Salinita (ppt.) | 4 | $0,29 \pm 0,00$ | $0,28 \pm 0,00$ | $0,28 \pm 0,01$ | $0,28 \pm 0,01$ | $0,29 \pm 0,00$ | $0,28 \pm 0,01$ |
| Kyslík (mg.l^{-1}) | 4 | $6,34 \pm 3,50$ | $6,84 \pm 2,82$ | $6,73 \pm 2,84$ | $6,85 \pm 2,68$ | $6,68 \pm 2,84$ | $6,69 \pm 2,93$ |
| Kyslík (%) | 4 | $55,33 \pm 30,91$ | $59,68 \pm 25,11$ | $57,80 \pm 25,18$ | $59,65 \pm 23,87$ | $58,18 \pm 25,30$ | $58,13 \pm 26,00$ |
| pH | 4 | $7,49 \pm 0,10$ | $7,61 \pm 0,16$ | $7,63 \pm 0,25$ | $7,63 \pm 0,27$ | $7,38 \pm 0,20$ | $7,55 \pm 0,10$ |
| ORP (mV) | 4 | $56,50 \pm 69,25$ | $54,70 \pm 61,54$ | $55,93 \pm 58,02$ | $56,63 \pm 55,75$ | $54,60 \pm 53,97$ | $55,67 \pm 59,49$ |
| Chlor. <i>a</i> ($\mu\text{g.l}^{-1}$) | 4 | $68,46 \pm 38,59$ | $80,64 \pm 31,00$ | $79,98 \pm 23,45$ | $80,30 \pm 23,83$ | $75,43 \pm 18,81$ | $76,96 \pm 26,56$ |
| BGA-PC ($\mu\text{g.l}^{-1}$) | 4 | $2,06 \pm 0,97$ | $3,02 \pm 0,81$ | $2,81 \pm 0,76$ | $2,82 \pm 0,84$ | $2,65 \pm 0,73$ | $2,67 \pm 0,60$ |



Obrázek 6. Dynamika vybraných fyzikálně chemických parametrů vody na rybníku Jenšovský



Laboratorní analýza vzorku vody

Z tabulky č. 3 je patrné, že kvalita vody se v průběhu strojení a výlovu rybníka výrazně mění. V čase dochází k několika násobnému zhoršování kvality vody ve všech sledovaných parametrech s výjimkou $P_{rozp.}$, který se měnil minimálně. Noc před výlovem byla voda poměrně čistá, neboť zatížení vody dosahovalo řádově desítky mg na litr NL_{105} , NL_{550} a TOC, resp. jednotky $2,6 \text{ mg.l}^{-1}$ TN a $0,29 \text{ mg.l}^{-1}$ TP. To je, z největší pravděpodobnosti, dáno velkým zůstatkovým objemem vody v rybníce a přes poměrně vysokou teplotu vody ($9,64^\circ\text{C}$), která mohla naopak zvyšovat pohybovou aktivitu ryb, celkově velmi malou biomasy ryb (84 kg.ha^{-1}) i jejich kusovou hmotností (K_1). Obsádka neměla sílu vodu podkalit. Ráno před výlovem, kdy byl rybník vypouštěn opět velmi intenzivně, vzrostl obsah NL_{105} , NL_{550} již na úroveň 500 a 410 mg.l^{-1} . Takřka dvojnásobných hodnot dosáhl TOC a TN. Obsah TP se však zvýšil takřka 5 kát. Účinnost zachycení živiny barierami byla v těchto dvou fázích poněkud nižší, zejména z důvodu jejich obecně nízké koncentrace a krátké době zdržení (vysoká intenzita vypouštění). Pro TOC a TN dosahovala jednotky procent, zatímco pro NL_{105} , NL_{550} již nižší desítky procent. Rozkolisané však bylo zadržení fosforu, jak celkového, tak i rozpuštěného.

Samotný výlov, který byl poměrně krátký z důvodu malé biomasy obsádky, zaznamenal velmi výrazný nárůst všech hodnot. Ve srovnání s ránem, došlo k dalšímu, takřka desetinásobnému zvýšení koncentrací. NL_{105} dosahovaly $4\,400$ a $\tilde{3}\,700 \text{ mg.l}^{-1}$, TOC 250 mg.l^{-1} a TN 39 mg.l^{-1} . Celkový fosfor se však zvýšil až dvacetinásobně na 28 mg.l^{-1} . Naproti tomu $P_{rozp.}$ poněkud poklesl. Tyto skutečnosti lze vysvětlit intenzivním odtokem vody z prostoru loviště, jakož i pohybem osob v lovišti. S ohledem na množství ryb byl rybník loven ručně na kesery. V této fázi sledování bylo docíleno výrazného zadržení prakticky všech sledovaných živin na úrovni přes 80 % s výjimkou $P_{rozp.}$, kde byla retence jen 22%.

Zajímavá je však skutečnost, že nejvyšších hodnot, prakticky u všech sledovaných parametrů, bylo naměřeno ve fázi „hodina po výlovu“. Tento fakt je dán pravděpodobně tím, že byl rybník již zcela bez vody a voda odtékající po povrchu bahna působila erozivně. Zároveň však nedocházelo k prakticky žádné sedimentaci částic, jak tomu bylo alespoň z části např. při výlovu. V této fázi sledování byl zjištěn výrazný pokles účinnosti zachycení živin ve srovnání s vlastním výlovem. Obecně dosahovala retence desítek procent. I přes rostoucí koncentraci živin ve vodě došlo k poklesu jejich zachycení z důvodu poklesů průtoku vody. Přes bariery totiž tekla zbytková voda z prázdného rybníka, která nedokázala doplňovat v plné míře vodu unikající pod barierami. Z tohoto důvodu výrazně poklesl objem akumulované vody v obou barierách. To vedlo ke zkrácení doby zdržení a času na vlastní sedimentaci.

Bilance živiny

Na základě objemu protečené vody a koncentrace živin byly spočteny bilance, které přehledně uvádí obrázek 7. Bariery zachytily kolem 60 % nerozpuštěných látek a 75,8 % TP. Poněkud nižší byla jejich účinnost pro TOC a TN (46,6 a 43,4 %). Zcela minimální však byla zjištěna retence pro rozpuštěné formy fosforu, resp. vápníku (8,9 %, resp. 5,7 %).

Zkušenosti a postřehy

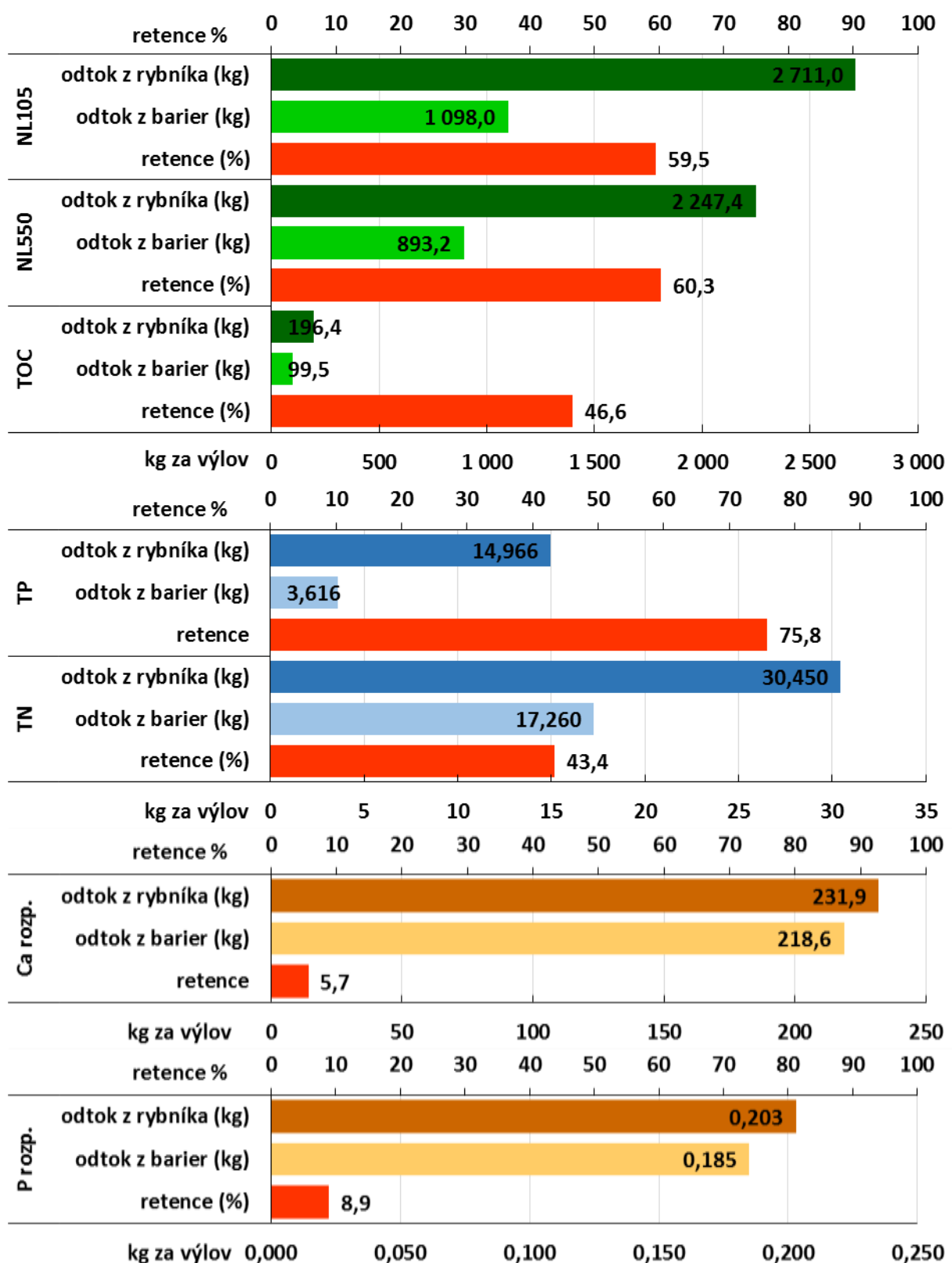
Nečekaným překvapením při sledování na tomto prvním rybníce byla schopnost barier zachytit z rybníku unikající drobné bílé ryby (střevlička východní). Ta se v rybníce hojně rozmnožila a unikala společně s vodou v závěru výlovu. Díky nízké koncentraci kyslíku ($1,2 \text{ mg.l}^{-1}$) se zdržovala u hladiny a „troubila“. Bariery je proto snadno zadržely, jelikož voda z nich unikala netěsnostmi u dna.



S ohledem na první zkušenost s výstavbou a provozem hrázek z balíků slámy pod rybníkem je možné konstatovat, že jednořadé bariery nejsou vhodné pro stoky s potencionálně větší hloubkou vzduité vody (nad 1 m). U vysokých hrází (nad 4 řady balíků) se zvyšuje riziko protržení bariery. Jako problematické se ukázalo podtékaní barier.

Tabulka 3. Laboratorní výsledky kvality vody z rybníka Jenšovský

| Parametr | Vzorek | Profil A pod rybníkem | Profil B pod 2 hrázkou | Rozdíl (%) |
|--------------------------------------------------|--------------------|-----------------------------|------------------------------|---------------------|
| NL₁₀₅ (mg.l ⁻¹) | noc před výlovem | 39 | 31 | -20,51 |
| | ráno před výlovem | 500 | 420 | -16,00 |
| | těsně před výlovem | | | |
| | výlov | 4 400 | 620 | -85,91 |
| | hodina po výlovu | 4 700 | 3 500 | -25,53 |
| | průměr±SD | 2 409,75±2 149,07 | 1 142,75±1 377,34 | -52,58±28,44 |
| NL₅₅₀ (mg.l ⁻¹) | noc před výlovem | 23 | 14 | -39,13 |
| | ráno před výlovem | 410 | 350 | -14,63 |
| | těsně před výlovem | | | |
| | výlov | 3 700 | 520 | -85,95 |
| | hodina po výlovu | 4 000 | 2 900 | -27,50 |
| | průměr±SD | 2 033,25±1 824,98 | 946,00±1 142,74 | -53,47±26,92 |
| TOC (mg.l ⁻¹) | noc před výlovem | 19 | 18 | -5,26 |
| | ráno před výlovem | 27 | 26 | -3,70 |
| | těsně před výlovem | | | |
| | výlov | 250 | 33 | -86,80 |
| | hodina po výlovu | 300 | 260 | -13,33 |
| | průměr±SD | 149,00±127,27 | 84,25±101,61 | -43,46±34,56 |
| TN (mg.l ⁻¹) | noc před výlovem | 2,6 | 2,5 | -3,85 |
| | ráno před výlovem | 5,6 | 5,3 | -5,36 |
| | těsně před výlovem | | | |
| | výlov | 39 | 7 | -82,05 |
| | hodina po výlovu | 47 | 36 | -23,40 |
| | průměr±SD | 23,55±19,68 | 12,70±13,55 | -46,07±31,77 |
| TP (mg.l ⁻¹) | noc před výlovem | 0,29 | 0,29 | 0,00 |
| | ráno před výlovem | 1,4 | 1 | -28,57 |
| | těsně před výlovem | | | |
| | výlov | 28 | 1,6 | -94,29 |
| | hodina po výlovu | 36 | 19 | -47,22 |
| | průměr±SD | 16,42±15,84 | 5,47±7,82 | -66,68±34,29 |
| Prozpustěný (mg.l ⁻¹) | noc před výlovem | 0,04 | 0,04 | 0,00 |
| | ráno před výlovem | 0,069 | 0,06 | -13,04 |
| | těsně před výlovem | | | |
| | výlov | 0,05 | 0,039 | -22,00 |
| | hodina po výlovu | 0,042 | 0,042 | 0,00 |
| | průměr±SD | 0,05±0,01 | 0,05±0,01 | -9,95±9,32 |



Obrázek 7. Bilance vybraných živin a chemických parametrů vody na rybníku Jenšovský



4.2 Podsilničný 2016

Budování hráze a doba zdržení

Na rybníku Podsilniční byla situace s budováním hráze poněkud složitější. Z vývařiště byla odtékající voda vedena cca 25 m potrubím do otevřeného koryta stoky. Dalších zhruba 25 m tekla voda dlážděným korytem s vyšším spádem, kde nedocházelo ke vzdouvání vody. První bariéra byla postavena 75 m pod hrází, resp. 50 m pod vyústěním potrubí z vývařiště. Druhá hrázka byla postavena o dalších 30 m níže, tedy 105 m pod hrází rybníka. Objem první bariery byl 19,3 m³ a druhé bariery 14,7 m³. Celkový teoretický objem vzduté vody byl tedy 34,0 m³. Teoretická doba zdržení byla v první fázi strojení (noc před výlovem) poměrně dlouhá 55 min. Důvodem byl malý průtok vody při prázdnění rybníku (jen 0,61 m³.min.⁻¹). V dalších fázích výlovu však došlo k jejímu zkrácení na 36 až 20 min. Důvodem byla skutečnost, že se jednalo o menší rybník, který byl vypouštěn přes noc s menší intenzitou, protože jeho výlov byl v plánu další den, až před poledнем. Strojč proto manipuloval s vodou nejprve pozvolna a její odtok uspíšil až po upřesnění času zahájení vlastního výlovu. Na tomto rybníku byly hrázky postaveny ze dvou řad balíků slámy za sebou. U dolní hrázky byla zřízená postranní křídla.

Základní fyzikálně chemické parametry

Celkový přehled základních fyzikálně chemických parametrů vody při průtoku vody barierami uvádí tabulka č. 4. Podrobnější dynamika změny je zachycena na obrázku č. 8. Teplota vody byla již poměrně nízká, v průměru kolem 3 °C a přes noc klesala ke 2 °C. Hodnota pH byla průtokem přes bariery v obecné rovině mírně zvyšována, i když ve fázi hodinu po výlovu došlo naopak průtokem vody barierami k jejímu mírnému snížení. Průtok vody barierami rovněž zvyšoval obsah kyslíku, přičemž nejvýrazněji tomu bylo v průběhu výlovu. Nicméně celkový obsah kyslíku ve vodě v průběhu strojení a výlovu výrazně klesal až na nulovou hodnotu ve fázi hodinu po výlovu. V podobném trendu byla zjištěna rovněž dynamika ORP. Její úroveň během sledování výrazně klesala, přičemž po výlovu dosahovala výraznějších záporných hodnot. V průměru však docházelo průchodem vody barierami k jejímu zvyšování. Celkově bez větších změn ovlivňoval průtok vody hodnoty SPC a TDS. Docházelo však k mírnému zvýšení hodnot Chlorofylu *a* a BGA-PC.

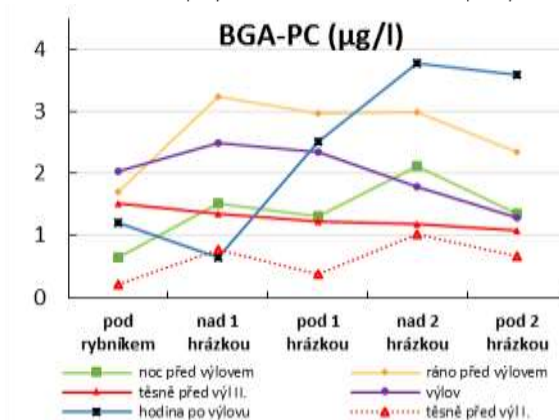
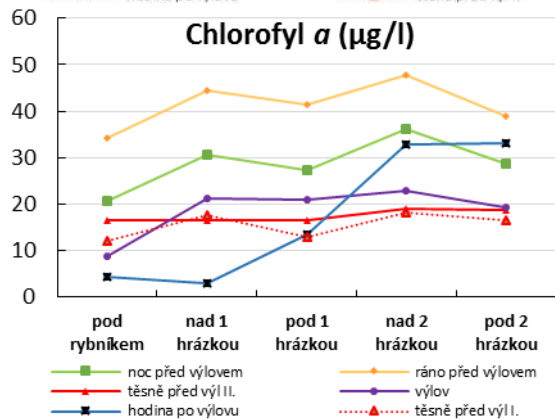
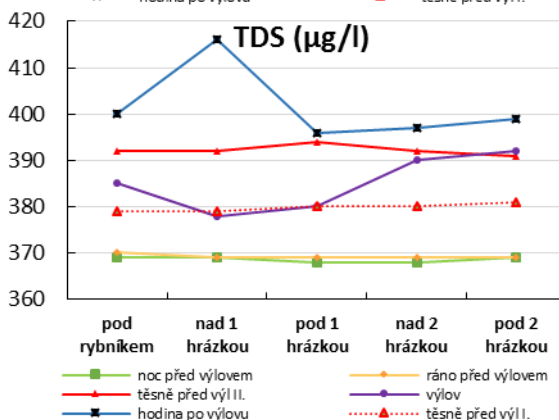
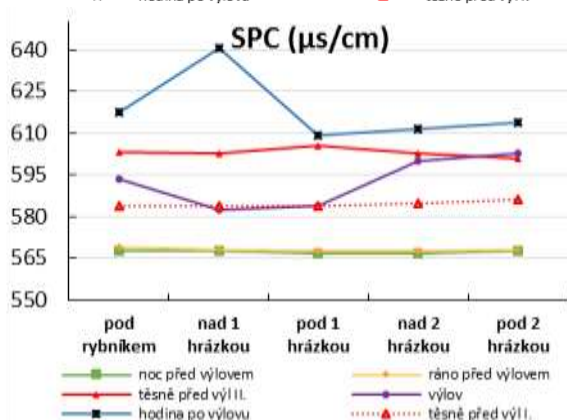
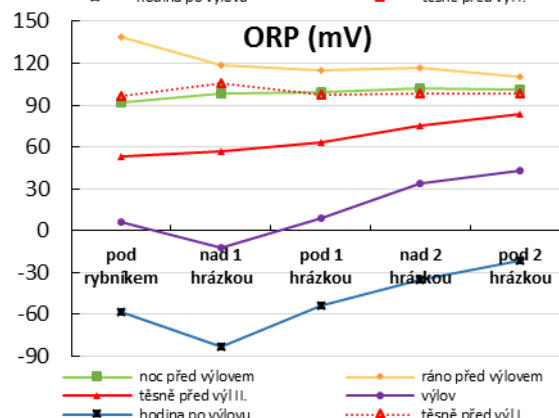
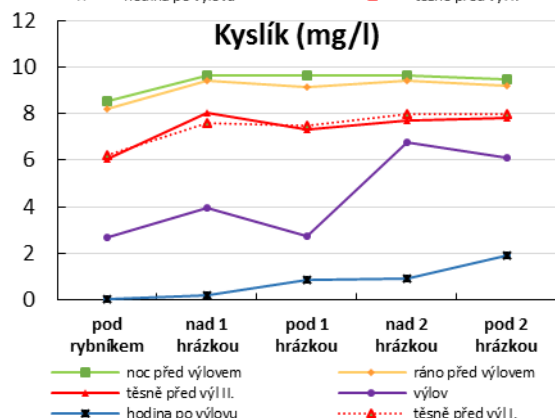
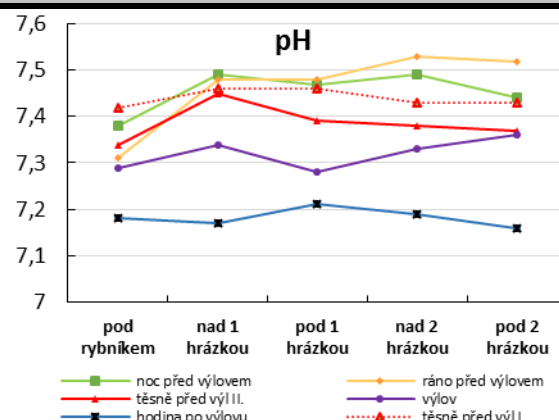
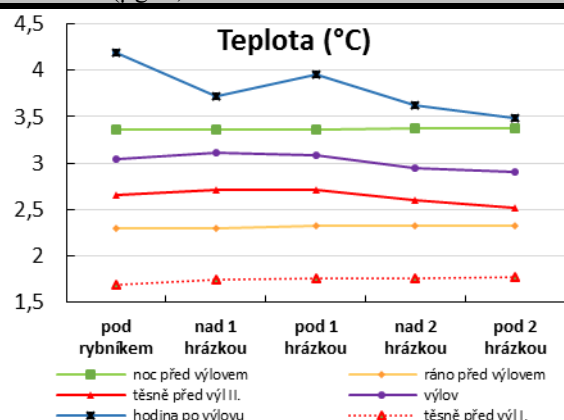
Na rybníku Podsilniční je možné ukázat na určitou změnu kvality vody při vypouštění rybníka v čase „těsně před výlovem I“ – pomalejší vypouštění z důvodu opoždění příjezdu lovíci čety a „těsně před výlovem II“ – intenzivnější vypouštění po příjezdu lovců. I když se situace v rybníce nikterak zásadně nezměnila, na obrázku 8 je možné u obou časů vidět určité odlišnosti (viz. červené křivky).

Tabulka 4. Základní fyzikálně chemické parametry vody na rybníku Podsilniční (průměr±SD)

| Parametr | Počet měření | Pod rybníkem | Nad 1 hrázkou | Pod 1 hrázkou | Nad 2 hrázkou | Pod 2 hrázkou | Průměr ±SD |
|------------------------------|--------------|--------------|---------------|---------------|---------------|---------------|--------------|
| Teplota (°C) | 5 | 3,11±0,65 | 3,04±0,50 | 3,09±0,56 | 2,97±0,48 | 2,92±0,46 | 3,03±0,52 |
| SPC (µS.cm ⁻¹) | 5 | 343,78±17,41 | 343,88±19,45 | 341,36±14,33 | 341,62±13,61 | 341,50±13,27 | 342,43±15,38 |
| TDS (µg.l ⁻¹) | 5 | 590,18±19,37 | 592,22±27,34 | 586,66±18,08 | 589,66±18,76 | 590,62±19,10 | 589,87±19,90 |
| Salinita (ppt.) | 5 | 0,28±0,01 | 0,28±0,01 | 0,28±0,01 | 0,28±0,01 | 0,28±0,01 | 0,28±0,01 |
| Kyslík (mg.l ⁻¹) | 5 | 5,10±3,30 | 6,25±3,67 | 5,95±3,54 | 6,90±3,19 | 6,91±2,77 | 6,22±3,25 |
| Kyslík (%) | 5 | 38,28±24,62 | 44,34±25,77 | 44,78±25,74 | 52,24±22,73 | 53,86±20,51 | 46,70±23,26 |
| pH | 5 | 7,30±0,07 | 7,39±0,12 | 7,37±0,11 | 7,38±0,12 | 7,37±0,12 | 7,36±0,10 |
| ORP (mV) | 5 | 46,28±68,40 | 35,76±74,54 | 46,70±62,22 | 58,42±54,89 | 63,40±48,17 | 50,11±61,36 |



| | | | | | | | |
|---------------------------------------------------|---|-------------|-------------|------------|-------------|------------|------------|
| Chlor. a ($\mu\text{g.l}^{-1}$) | 5 | 16,86±10,41 | 23,13±13,96 | 23,88±9,90 | 31,69±10,17 | 27,69±7,88 | 24,65±9,38 |
| BGA-PC ($\mu\text{g.l}^{-1}$) | 5 | 1,42±0,47 | 1,85±0,91 | 2,07±0,69 | 2,37±0,91 | 1,94±0,94 | 1,93±0,54 |





Obrázek 8. Dynamika vybraných fyzikálně chemických parametrů vody na rybníku Podsilniční

Laboratorní analýza vzorku vody

Z tabulky č. 5 je patrné, že kvalita vody se v průběhu strojení a výlovu rybníka výrazně měnila. V čase docházelo k několikanásobnému zhoršování kvality vody všech sledovaných parametrů. Noc před výlovem byla voda poměrně čistá, neboť zatížení vody dosahovalo sotva desítky mg na litr NL₁₀₅, NL₅₅₀ a TOC, resp. jednotky 2,5 mg.l⁻¹ TN a 0,28 mg.l⁻¹ TP. To bylo s největší pravděpodobností dánou především aktuálním objemem vody v rybníce. Jedná se o malý rybník (1,80 ha), který byl z důvodu bezpečnosti ryb ponechán přes noc spíše „na větší vodě“. Nápomocná byla rovněž teplota vody na úrovni 3,3 °C, která obsádku K₂ o biomase 667 kg.ha⁻¹ udržovala v klidu. Ráno před výlovem, kdy teplota vody klesla, byl rybník vypouštěn opět intenzivněji, obsah NL₁₀₅ a NL₅₅₀ překvapivě ještě poněkud pokles na 36 a 25 mg.l⁻¹. Hodnoty TOC a TP zůstaly na stejně úrovni, zatímco TN se mírně zvýšil na 2,8 mg.l⁻¹, podobně jako P_{rozp.}. Účinnost zachycení živin barierami byla v této dvou fázích poněkud nižší, pravděpodobně z důvodu jejich obecně nízké koncentrace a malého průtoku vody, který nedokázal plně nahrazovat ztrátu vody protékající pod barierami. Díky tomu byl skutečný objem barier poněkud menší ve srovnání s dalšími fázemi. Záchyt TOC a TN dosahoval kolem deseti procent, zatímco NL₁₀₅, NL₅₅₀ byl nižší než desítky procent. Naproti tomu retence fosforu byla negativní, tedy průtokem vody barierami došlo ke zvýšení koncentrace jak P_{rozp.}, tak i TP.

Ve fázi těsně před výlovem, kdy byl rybník intenzivně vypouštěn (neklid v okolí loviště a kádiště, stavění nádobí), došlo k vysokému zvýšení obsahu NL₁₀₅ a NL₅₅₀ na 1 300 a 1 100 mg.l⁻¹, přičemž se zvýšila i retence na takřka na 74 %. Naproti tomu koncentrace TOC a TN se zvýšila jen přibližně trojnásobně, zatímco u TP takřka sedminásobně. Jejich retence však byla rovněž ve srovnání s předchozími fázemi výrazně vyšší (TOC 44 %, TN 33 % a TP 63 %). Množství P_{rozp.} paradoxně pokleslo společně s negativní retencí (-16,36 %).

Samotný výlov, který byl poměrně krátký s ohledem na velikost rybníka a celkové množství ryb, vedl k dalšímu nárůstu všech hodnot. Nerozpuštěné látky sušené dosahovaly 4 600 a žíhané 4 000 mg.l⁻¹, TOC 160 mg.l⁻¹ a TN 20 mg.l⁻¹. Celkový fosfor se zvýšil víc než desetinásobně na 20 mg.l⁻¹. Naproti tomu P_{rozp.} opět poněkud poklesl. Tyto skutečnosti lze vysvětlit intenzivním odtokem vody, větší biomasou těžších ryb, jakož i pohybem osob v lovišti. V této fázi sledování bylo docíleno výrazného zadržení prakticky všech sledovaných živin na úrovni přes 88 % u nerozpuštěných látek, kolem 70 % pro TOC a TN, resp. až přes 95 % TP. Koncentrace P_{rozp.} opět poněkud poklesla a její retence vykázala negativní úroveň - 5,77 %.

Ve fázi „hodina po výlovu“ byl zaznamenán již pokles koncentrace nerozpuštěných látek sušených i žíhaných prakticky na poloviční úroveň, v porovnání času výlovu. K poklesu na 36 % došlo i u jejich retence. Koncentrace TOC, TN a TP však opět mírně vzrostla. Jejich retence se však udržela na poměrně vysoké úrovni 57 %, 50 % a 92 %. Koncentrace P_{rozp.} však dosáhla svého maxima 0,33 mg.l⁻¹. I přes stálou vysokou koncentraci živin ve vodě, došlo k poklesu úrovně jejich zachycení z důvodu ztráty objemu akumulované vody v barierách. Přes bariery totiž tekla zbytková voda z prázdného rybníka, která nedokázala doplňovat v plné míře vodu unikající pod barierami. Z tohoto důvodu výrazně poklesl objem akumulované vody v obou barierách. To vedlo ke zkrácení doby zadržení a času na vlastní sedimentaci. Ve srovnání s ostatními rybníky napomáhal vyššímu zadržení živin v závěru lovení pravděpodobně bujný rostlinný kryt nacházející se ve výtopě druhé bariery.

Bilance živiny



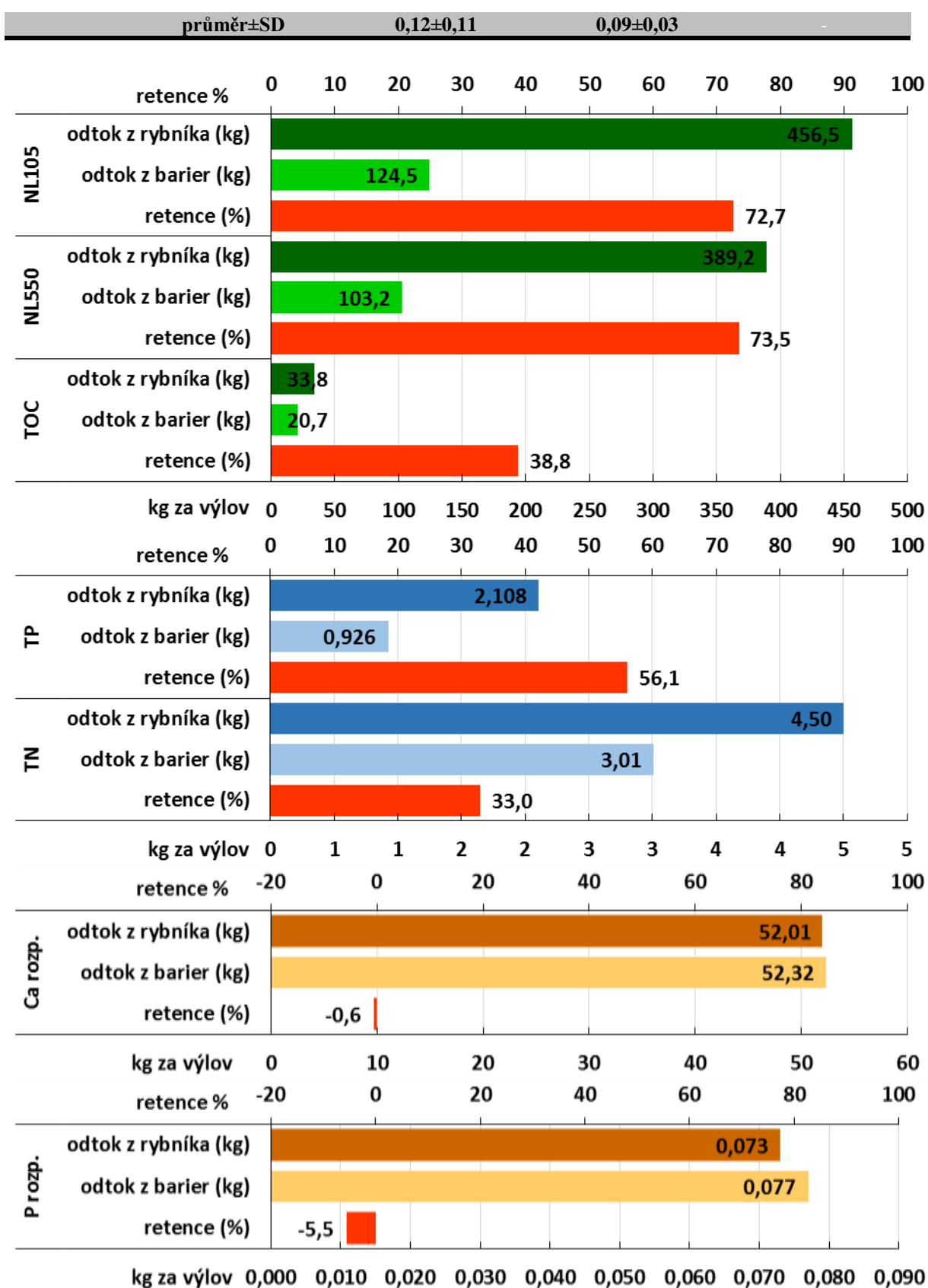
Na základě objemu proteklé vody a koncentrace živin byly spočteny bilance, které přehledně uvádí obrázek 9. Bariery zachytily kolem 73 % nerozpuštěných látek a 56 % TP. Poněkud nižší byla jejich účinnost pro TOC a TN (38,8 a 33,0 %). Záporná retence, tedy naopak uvolnění živin, byla zjištěna pro rozpuštěné formy fosforu, resp. vápníku (-5,5 %, resp. -0,6 %).

Zkušenosti a postřehy

Dolní bariera byla ve své výtopě poměrně výrazně zarostlá zbytky bylinné vegetace, která účinně zpomalovala odtok vody a podporovala zachytávání živin. Z tohoto důvodu se jeví jako pozitivní nelikvidovat vegetační kryt v prostoru budoucích barier. Bariery postavené ze dvou řad balíku slámy, se vzájemným překryvem spojů, se ukázaly jako dobře stabilní. Při zvýšení intenzity vypouštění rybníků je možné vybudováním postranních bočních křídel (jedna řada balíků) efektivně zvýšit akumulovaný objem vody nad barierami.

Tabulka 5. Laboratorní výsledky kvality vody Podsilniční

| Parametr | Vzorek | Profil A pod rybníkem | Profil B pod 2 hrázkou | Rozdíl (%) |
|--------------------------------------------|--------------------|--------------------------------------|----------------------------------|---------------------|
| TOC (mg.l ⁻¹) | noc před výlovem | 19 | 17 | -10,53 |
| | ráno před výlovem | 19 | 19 | 0,00 |
| | těsně před výlovem | 64 | 36 | -43,75 |
| | výlov | 160 | 43 | -73,13 |
| | hodina po výlovu | 200 | 85 | -57,50 |
| | průměr±SD | 92,40±74,47 | 40,00±24,58 | -56,71±27,72 |
| NL ₁₀₅ (mg.l ⁻¹) | noc před výlovem | 46 | 34 | -26,09 |
| | ráno před výlovem | 36 | 24 | -33,33 |
| | těsně před výlovem | 1 300 | 340 | -73,85 |
| | výlov | 4 600 | 530 | -88,48 |
| | hodina po výlovu | 2 200 | 1 400 | -36,36 |
| | průměr±SD | 1 636,40±1 691,41^a | 465,60±504,84^b | -71,55±24,79 |
| NL ₅₅₀ (mg.l ⁻¹) | noc před výlovem | 34 | 24 | -29,41 |
| | ráno před výlovem | 25 | 15 | -40,00 |
| | těsně před výlovem | 1 100 | 290 | -73,64 |
| | výlov | 4 000 | 460 | -88,50 |
| | hodina po výlovu | 1 900 | 1 200 | -36,84 |
| | průměr±SD | 1 411,80±1 473,49^a | 397,80±434,80^b | -71,82±23,11 |
| TN (mg.l ⁻¹) | noc před výlovem | 2,5 | 2,3 | -8,00 |
| | ráno před výlovem | 2,8 | 2,8 | 0,00 |
| | těsně před výlovem | 8,3 | 5,6 | -32,53 |
| | výlov | 20 | 6,2 | -69,00 |
| | hodina po výlovu | 28 | 14 | -50,00 |
| | průměr±SD | 12,32±10,08 | 6,16±4,19 | -49,84±25,66 |
| TP (mg.l ⁻¹) | noc před výlovem | 0,28 | 0,31 | 10,71 |
| | ráno před výlovem | 0,28 | 0,27 | -3,57 |
| | těsně před výlovem | 1,90 | 0,70 | -63,16 |
| | výlov | 20 | 0,90 | -95,50 |
| | hodina po výlovu | 24 | 2 | -91,67 |
| | průměr±SD | 9,29±10,47 | 0,84±0,63 | -91,00±44,30 |
| Prozpušťený (mg.l ⁻¹) | noc před výlovem | 0,076 | 0,13 | 71,05 |
| | ráno před výlovem | 0,078 | 0,10 | 28,21 |
| | těsně před výlovem | 0,055 | 0,064 | 16,36 |
| | výlov | 0,052 | 0,055 | 5,77 |
| | hodina po výlovu | 0,330 | kontaminace | - |



Obrázek 9. Bilance vybraných živin a chemických parametrů vody na rybníku Podsilniční



4.3 Novokoželský 2016

Budování hrázek a doba zdržení

Na rybníku Novokoželský 2016 byla první hrázka postavena 50 m pod hrází rybníka (z toho cca 5 m prostor vývařiště). Druhá hrázka byla postavena o dalších 20 m níže, tedy 70 m pod rybniční hrází. Objem první bariery byl 26,7 m³ a druhé bariery 16,6 m³. Celkový teoretický objem vzduté vody byl tedy 43,3 m³. Teoretická doba zdržení byla v první fázi strojení (noc před výlovem) relativně krátká, jen 13–15 min. Důvodem bylo intenzivní prázdnění rybníku v průběhu noci (3,2 m³.min.⁻¹). V dalších fázích výlovu však došlo k výraznému prodloužení teoretické doby zdržení na 31 až 68 min. Na tomto rybníku byly hrázky postaveny ze tří řad balíků slámy za sebou. Důvodem byla snaha omezit podtékání barier odtékající vodou, jakož i posílení stability hráze ve stope, která se ukázala být dosti hlubokou. První hráz byla velkým průtokem vody při testování její stability narušena a dvakrát došlo k jejímu prolomení. Teprve až stavba třetí hráze bezpečně vydržela.

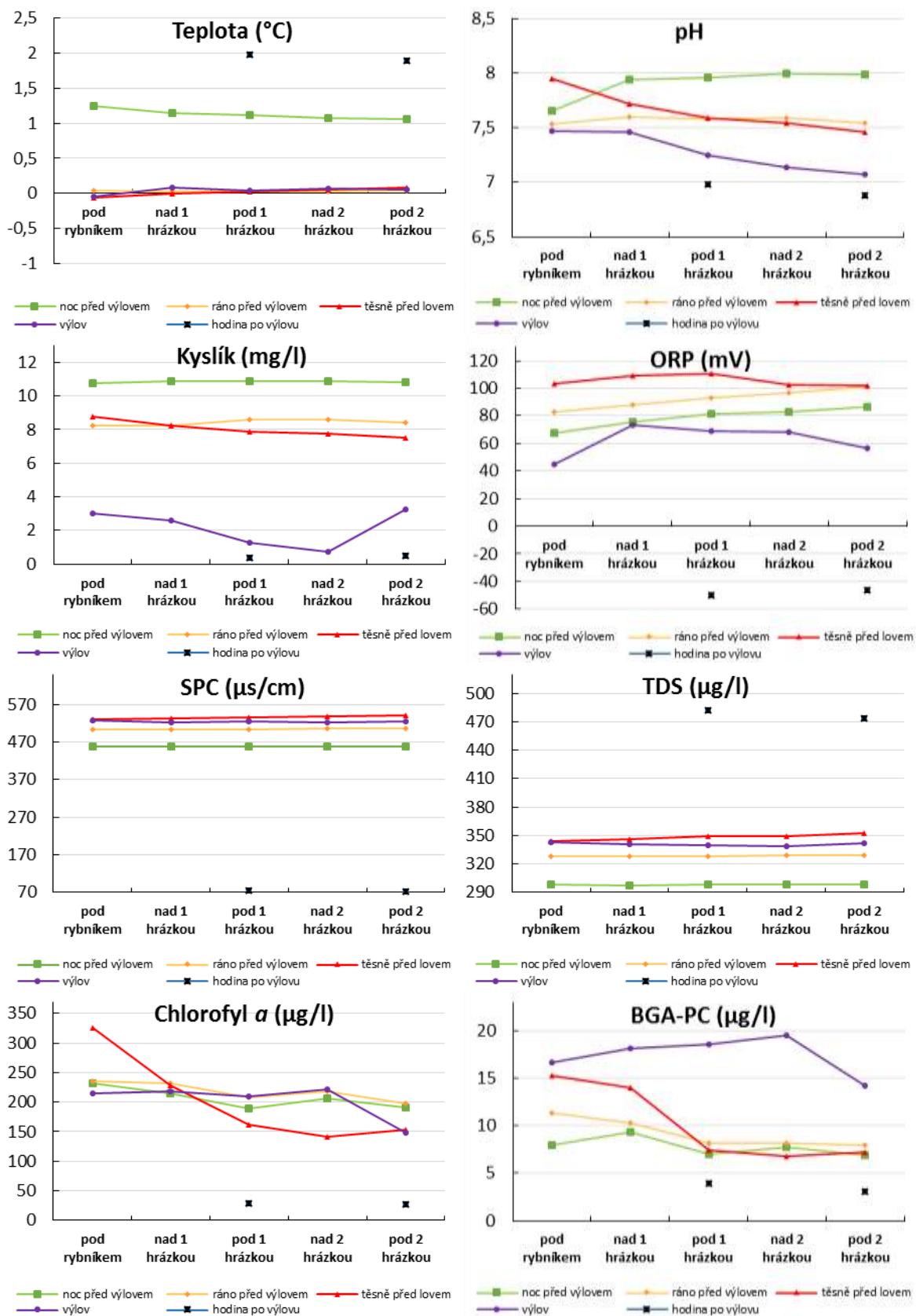
Základní fyzikálně chemické parametry

Celkový přehled základních fyzikálně chemických parametrů vody při průtoku vody barierami uvádí tabulka č. 6. Podrobnější dynamika změny je zachycena na obrázku č. 10. S ohledem na skutečnost, že ve fázi hodinu po výlovu odtékalo z rybníka prakticky tekuté bahno, bylo možné změřit kvalitu vody EXO sondou pouze pod první a druhou barierou. Tato skutečnost má vliv na průměrné hodnoty prakticky všech parametrů (viz modré čtverečky v grafech obr. č. 10). Teplota vody byla obecně extrémně nízká, v průměru kolem 0,63 °C. V noci a ráno klesla teplota vody dokonce na 0,04 °C, resp. při výlovu dosahovala -0,06 °C. Důvodem byl silný mráz. Před vlastním výlovem muselo být loviště zbaveno ledu. Ledová tříšť protékala stokou a ovlivňovala naše sledování. Hodnota pH byla průtokem přes bariery v obecné rovině mírně snižována, i když ve fázi noc před výlovem došlo naopak k jejímu mírnému zvýšení. Průtok vody barierami v průměru snižoval obsah kyslíku. Nicméně jeho změny byly velmi malé. Prakticky nulové hodnoty byly naměřeny ve fázi hodinu po výlovu. Dynamika změn ORP vykazovala obecně zvyšování hodnot průtokem přes bariery. Po výlovu však dosahovala výraznějších záporných hodnot. V celku bez větších změn ovlivňoval průtok vody hodnoty SPC a TDS. Průchodem přes bariery však docházelo k mírnému snižování hodnot Chlorofylu *a* a BGA-PC.

Tabulka 6. Základní fyzikálně chemické parametry vody Novokoželský 2016 (průměr±SD)

| Parametr | Počet měření | *Pod rybníkem | *Nad 1 hrázou | Pod 1 hrázou | *Nad 2 hrázou | Pod 2 hrázou | Průměr ±SD |
|---------------------------------------|--------------|---------------|---------------|---------------|---------------|---------------|---------------|
| Teplota (°C) | 5 | 0,30±0,55 | 0,31±0,48 | 0,64±0,79 | 0,31±0,44 | 0,62±0,74 | 0,63±0,78 |
| SPC (µS.cm ⁻¹) | 5 | 505,20±28,84 | 504,33±29,29 | 419,58±174,77 | 506,18±29,85 | 421,22±176,10 | 419,52±174,91 |
| TDS (µg.l ⁻¹) | 5 | 328,25±18,58 | 328,00±19,07 | 359,40±63,67 | 328,75±19,11 | 359,00±60,31 | 358,64±62,11 |
| Salinita (ppt.) | 5 | 0,24±0,01 | 0,24±0,01 | 0,27±0,05 | 0,24±0,01 | 0,26±0,04 | 0,26±0,05 |
| Kyslík (mg.l ⁻¹) | 5 | 7,69±2,86 | 7,49±3,02 | 5,78±4,19 | 6,99±3,80 | 6,11±3,72 | 5,98±3,98 |
| Kyslík (%) | 5 | 50,45±19,51 | 55,20±18,15 | 40,24±29,19 | 49,70±27,06 | 42,30±26,08 | 41,76±27,34 |
| pH | 5 | 7,65±0,18 | 7,68±0,18 | 7,47±0,33 | 7,57±0,30 | 7,39±0,39 | 7,47±0,34 |
| ORP (mV) | 5 | 74,60±21,25 | 86,73±14,16 | 60,72±57,11 | 87,68±13,28 | 60,02±55,62 | 58,20±55,10 |
| Chlor. <i>a</i> (µg.l ⁻¹) | 5 | 252,29±43,19 | 223,74±7,07 | 159,35±68,00 | 196,84±32,55 | 143,32±61,12 | 171,53±72,11 |
| BGA-PC (µg.l ⁻¹) | 5 | 12,82±3,42 | 12,96±3,46 | 9,02±4,99 | 10,58±5,22 | 7,88±3,58 | 9,62±4,52 |

*hodnoty jen ze 4 měření, vzorek odebraný hodinu po výlovu byl neměřitelný – tekoucí bahno





Obrázek 10. Dynamika vybraných fyzikálně chemických parametrů vody na rybníku Novokoželsk 2016

Laboratorní analýza vzorku vody

Z tabulky č. 7 je patrné, že kvalita vody se v průběhu strojení a výlovu rybníka výrazně měnila. V noci před výlovem byla voda poměrně čistá, neboť zatížení vody dosahovalo desítky mg na litr NL₁₀₅, NL₅₅₀ a TOC, resp. jednotky 5,5 mg.l⁻¹ TN a 0,36 mg.l⁻¹ TP. To bylo dánno především velkým objemem vody v rybníce a velmi nízkou teplotou vody, která obsádku K₂ o biomase 1 360 kg.ha⁻¹ udržovala v klidu. Ráno před výlovem, kdy byl rybník vypouštěn opět intenzivněji, obsah NL₁₀₅ a NL₅₅₀ vzrostl na 310 a 210 mg.l⁻¹. Hodnoty TOC, TN a TP se takřka zdvojnásobily. Zatímco množství P_{rozp.} mírně pokleslo. Účinnost zachycení živin barierami byla v těchto dvou fázích spíše nižší. Pro TOC a TP byla retence do 10 % a pro TN byla minimální. Poněkud vyšší retence byla zjištěna pro NL₁₀₅, NL₅₅₀ a to kolem 38 %. Naproti tomu retence rozpuštěného fosforu byla negativní, tedy průtokem vody barierami došlo k výraznějšímu zvýšení koncentrace P_{rozp.}.

Ve fázi „těsně před výlovem“, došlo k dalšímu mírnému zvýšení obsahu všech sledovaných parametrů. Zároveň však došlo i ke zvýšení jejich retence. Množství P_{rozp.} paradoxně opět pokleslo i když jeho retence byla rovněž negativní (+48,8 %).

Samotný výlov, kterému předcházelo odstranění ledu z loviště, byl poměrné náročný s ohledem na klimatické podmínky. Do stoky pod rybníkem se dostávaly kusy ledu společně s rybami. K vlastnímu vzorkování bylo přistoupeno až po druhém zátahu sítí. V obecné rovině došlo opět k výraznému zvýšení ukazovatelů kvality vody s výjimkou TN, který poklesl o více než polovinu. V této fázi sledování jsme se setkali se skutečností, že měřené hodnoty pod barierami byly vyšší než pod vlastním rybníkem. Díky tomu byla zjištěna negativní retence u nerozpuštěných látek na úrovni přes -210 %, u TOC -55,8 % a pro TN dokonce -1 539,4 %. Naproti tomu retence fosforu byla u TP 11,8 % a P_{rozp.} dokonce 28,9 %. Tuto skutečnost je velice obtížné jednoznačně vysvětlit. Svůj podíl může mít jak přítomnost ledové tříště ve stoce, která zamezovala sedimentaci a naopak zvedala již usazené částice, tak i výrazné změny v kvalitě vody ke kterým mohlo docházet v průběhu vlastního výlovu rybníku. Vzorek vody pod rybníkem byl odebrán při druhém zátahu, kdy byla v lovišti již menší biomasa ryb, zatímco pod barierami díky určitému zdržení mohla protékat voda stále ještě z prvního zátahu.

Ve fázi „hodina po výlovu“ byl zaznamenán extrémní nárůst hodnot všech parametrů s výjimkou P_{rozp.}, který naopak poklesl. Nerozpuštěné látky vzrostly přibližně 15krát a NL₁₀₅, dosahovaly 28 000 mg.l⁻¹, resp. NL₅₅₀ (žíhané) 22 000 mg.l⁻¹. Jejich retence však byla relativně nízká, zhruba 20% a to i přesto, že bariery byly plné vody a ledové tříště (nedošlo k zmenšení objemu vody). Hodnoty TOC a TN se zvýšily opět, a to desetinásobně, na 5 300 mg.l⁻¹ a 620 mg.l⁻¹, při příznivé retenci přes 53 %. Koncentrace TP se zvýšila jen asi 6,5 krát na 110 mg.l⁻¹, přičemž jeho retence byla nulová. Naproti tomu koncentrace P_{rozp.} poklesla takřka 2,6 krát, ale jeho retence byla opět negativní (-62,5 %). S ohledem na velikost rybníka a stav jeho povodí odtékalo po výlovu z loviště poměrně velké množství bahna, které postupně vyplnilo celý objem barier.

Bilance živiny

Vypočtené bilance pro vybrané parametry ukazuje obrázek 11. S ohledem na náročné klimatické podmínky se podařilo zachytit jen celkově kolem 7,7 % NL₁₀₅, resp. 4,3 % NL₅₅₀. Velmi nízká byla rovněž retence TP (2,8 %) a TN (8,7 %). Záporná retence, tedy naopak uvolnění živin bylo zjištěno opět pro rozpuštěné formy fosforu (-109,2 %) a vápníku (-1,9 %).

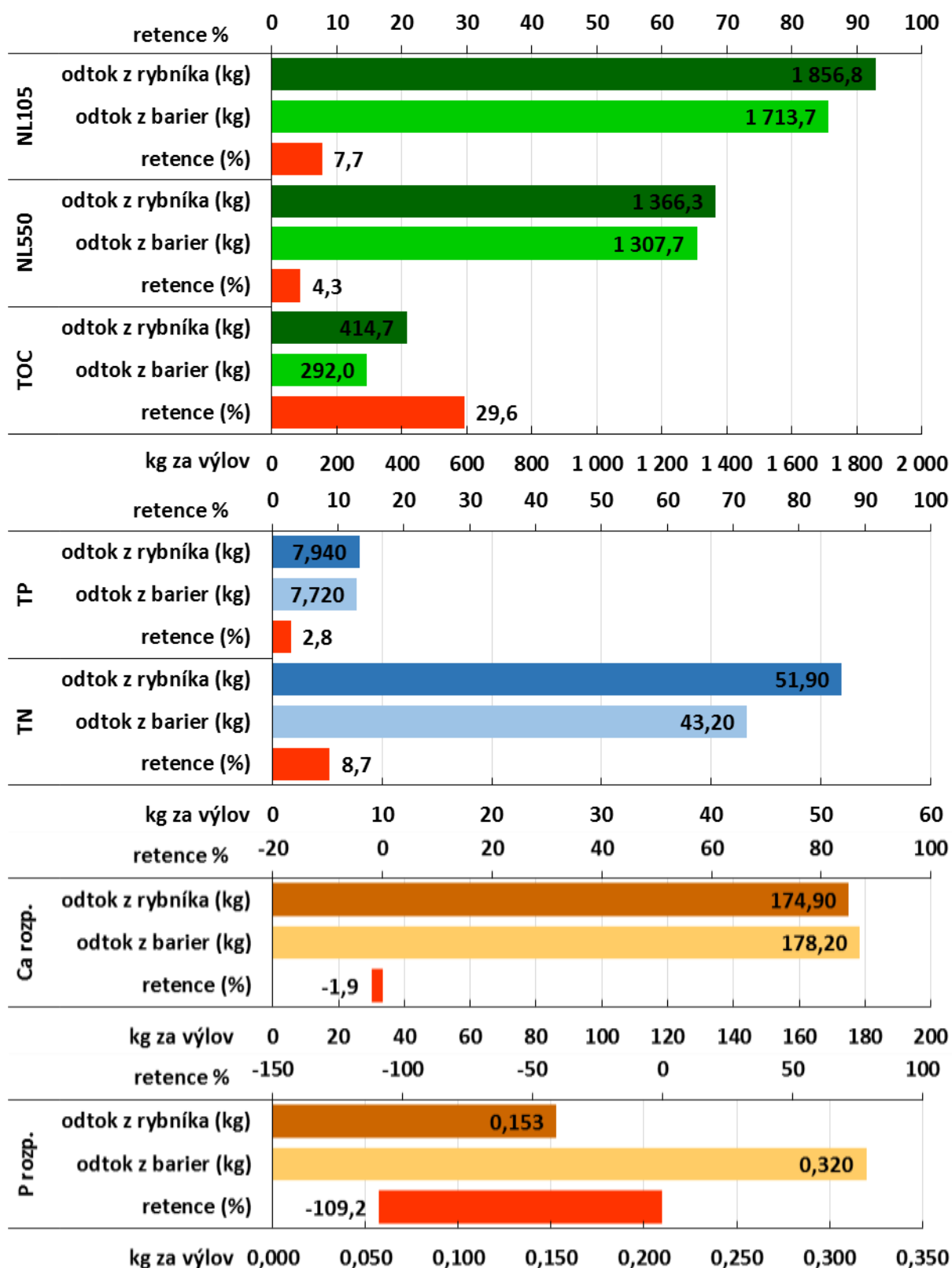


Zkušenosti a postřehy

Budování barier o třech řadách balíků se na tomto rybníce neosvědčilo. Nebylo docíleno vyšší stability hrázek, ani nedošlo k omezení podtékání barier u dna. Jako problematické se ukázalo stavění hrázek do relativně úzkých a hlubokých koryt stok. S ohledem na použitou techniku fixace balíků slámy ve stoce se jeví jako max. výška barier 1 m, resp. max. 3 řady balíku na sobě. Při větší výšce hráze a následně hloubce vody dojde k většímu nárůstu tlaku vody u dna a („prokousání“) pronikání vody měkkým dnem pod hrázkou. Rovněž bylo zjištěno, že při vysoké výšce vody (cca 1 m) před barierou, mají suché balíky slámy snahu vyplavat k hladině, a svým vztlakem pak oslabovat pevnost hrázek. Schopnost vydržet tlak vodního proudu získává bariéra až po částečném nasáknutí vodou (k tomu došlo asi po hodině, při třetím stavění hrázky). Přítomnost ledu v barierách fakticky snižovala objem kapalné vody (nahrazena ledem), a tím i klesala doba zdržení. Ledové kry ve stoce mohly rovněž fyzicky erodovat a zvedat již usazené partikule.

Tabulka 7. Laboratorní výsledky kvality vody Novokoželský 2016

| Parametr | Vzorek | Profil A pod rybníkem | Profil B pod 2 hrázkou | Rozdíl (%) |
|--------------------------------------------------|--------------------|-----------------------------|------------------------------|----------------------|
| TOC (mg.l ⁻¹) | noc před výlovem | 33 | 30 | -9,09 |
| | ráno před výlovem | 55 | 51 | -7,27 |
| | těsně před výlovem | 77 | 52 | -32,47 |
| | výlov | 520 | 810 | 55,77 |
| | hodina po výlovu | 5 300 | 2 400 | -54,72 |
| | průměr±SD | 1 1997,00±2 059,44 | 668,60±915,11 | -44,14±36,98 |
| NL ₁₀₅ (mg.l ⁻¹) | noc před výlovem | 70 | 47 | -32,86 |
| | ráno před výlovem | 310 | 190 | -38,71 |
| | těsně před výlovem | 390 | 170 | -56,41 |
| | výlov | 1 900 | 5 900 | 210,53 |
| | hodina po výlovu | 28 000 | 22 000 | -21,43 |
| | průměr±SD | 6 134,00±10 952,02 | 5 661,40±8 469,00 | -7,70±99,79 |
| NL ₅₅₀ (mg.l ⁻¹) | noc před výlovem | 34 | 21 | -38,24 |
| | ráno před výlovem | 210 | 130 | -38,10 |
| | těsně před výlovem | 260 | 100 | -61,54 |
| | výlov | 1 400 | 4 500 | 221,43 |
| | hodina po výlovu | 22 000 | 18 000 | -18,18 |
| | průměr±SD | 4 780,80±8 623,14 | 4 550,20±6 939,10 | -4,82±105,08 |
| TN (mg.l ⁻¹) | noc před výlovem | 5,5 | 5,3 | -3,64 |
| | ráno před výlovem | 9,9 | 10 | 1,01 |
| | těsně před výlovem | 14 | 11 | -21,43 |
| | výlov | 6,1 | 100 | 1 539,34 |
| | hodina po výlovu | 620 | 290 | -53,23 |
| | průměr±SD | 131,10±244,47 | 83,26±109,26 | -36,49±623,76 |
| TP (mg.l ⁻¹) | noc před výlovem | 0,36 | 0,38 | 5,56 |
| | ráno před výlovem | 0,85 | 0,75 | -11,76 |
| | těsně před výlovem | 1,20 | 0,78 | -35,00 |
| | výlov | 17 | 15 | -11,76 |
| | hodina po výlovu | 110 | 110 | 0,00 |
| | průměr±SD | 25,88±42,53 | 25,38±42,67 | -1,93±13,94 |
| P _{rozpuščený} (mg.l ⁻¹) | noc před výlovem | 0,042 | 0,096 | 128,57 |
| | ráno před výlovem | 0,040 | 0,067 | 67,50 |
| | těsně před výlovem | 0,041 | 0,061 | 48,78 |
| | výlov | 0,083 | 0,059 | -28,92 |
| | hodina po výlovu | 0,032 | 0,052 | 62,50 |
| | průměr±SD | 0,05±0,02 | 0,07±0,02 | 40,76±50,41 |



Obrázek 11. Bilance vybraných živin a chemických parametrů vody na rybníku Novokoželský 2016



4.4 Ouhlín 2016

Budování hrázek a doba zdržení

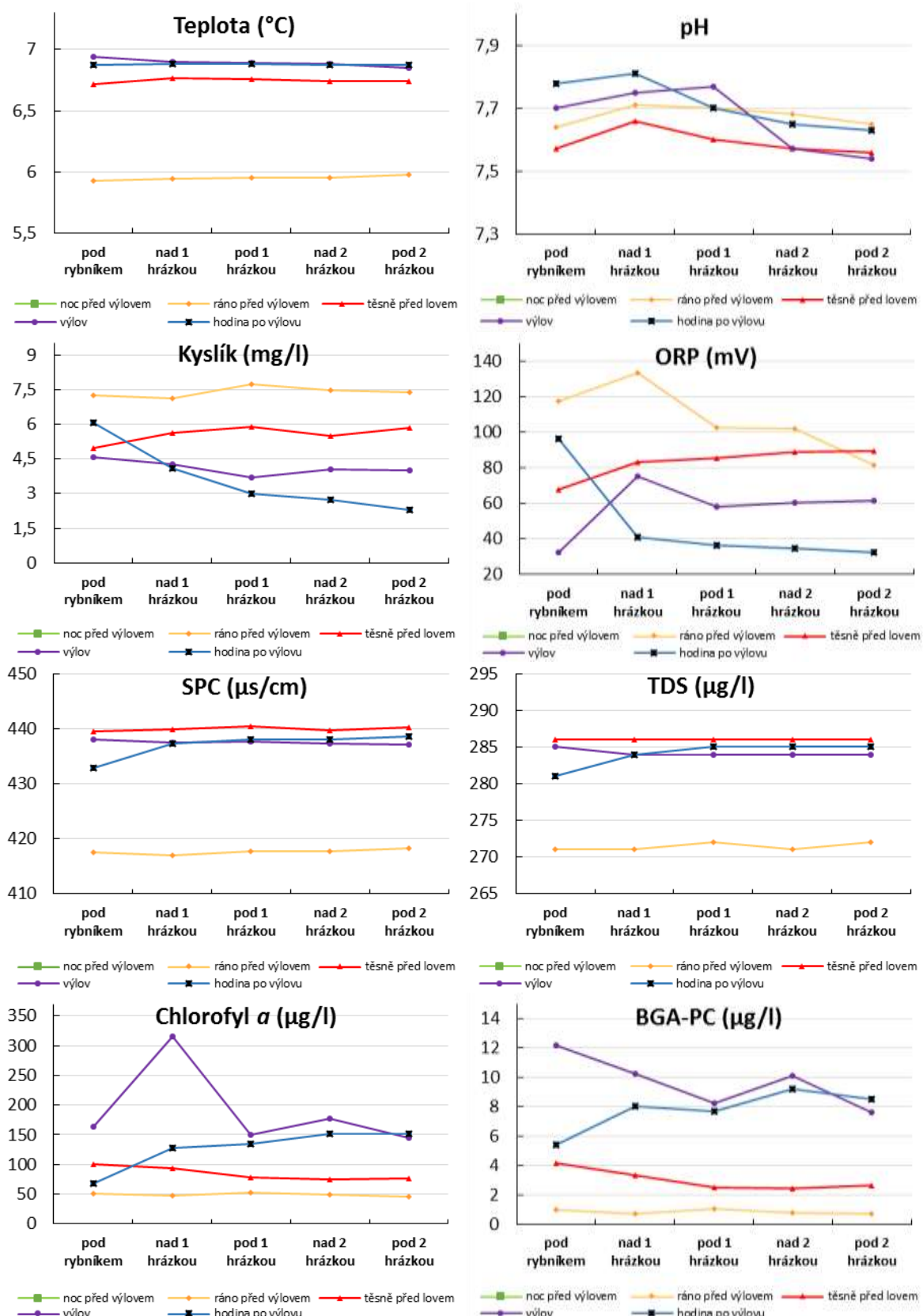
Na rybníku Ouhlín byla první hrázka postavena 30 m pod hrází rybníka. Druhá hrázka byla postavena o dalších 10 m níže, tedy 40 m pod rybniční hrází. Objem první bariery byl 51 m³ a druhé bariery 15,1 m³. Celkový teoretický objem vzduté vody byl tedy 66,1 m³. Teoretická doba zdržení byla v prvních třech fázích strojení (odpoledne před výlovem, ráno před výlovem a těsně před výlovem) poměrně dlouhá 73–79 min. V dalších fázích sledování se však ještě prodloužila na 220, resp. 330 minut. Přičinou bylo relativně pomalé prázdnění rybníku z důvodu později plánované doby výlovu (kolem poledne). Při tomto stavu větší část vody unikala pod barierou a snižovala tak aktuálně akumulovaný objem vody. Mělká stoka na rovinatém pozemku s mírným spádem, měla dno velice měkké a vzdutá voda si v něm našla snadno cestu pod barierami. Navíc, okolí stoky pod první barierou bylo celkově velmi měkké a neumožňovalo postavit druhou barieru dále níže po proudu. Omezením byl neúnosný terén pro přístup mechanizace při následném čištění stok. Z tohoto důvodu byla druhá bariera postavena poměrně blízko pod první. Na tomto rybníku byly hrázky postaveny ze dvou řad balíků slámy za sebou. Postavena byla i postranní křídla, zejména u druhé bariery.

Základní fyzikálně chemické parametry

Celkový přehled základních fyzikálně chemických parametrů vody při průtoku barierami uvádí tabulka č. 8. Podrobnější dynamika změny je zachycena na obrázku č. 12. Z důvodu pozdějšího času výlovu bylo strojení rybníku ve svém závěru velmi pomalé. Odpoledne, po postavení hrázek vytekla určitá část objemu vody (dvě dluže) a další vypouštění bylo zastaveno až do ranních hodin, cca 7:00. Strojíč šetřil vodou i svým časem. Rybník byl již celkově dostatečně upuštěn a další přítok vody do rybníku byl minimální. V noci z něj odcházel jen minimum vody, přelivem přes dluže. Z tohoto důvodu nebylo možné odebrat vzorek vody ve fázi „noc před výlovem“. Teplota vody byla nízká (5,9–6,8 °C) a odpovídala termínu lovů. Hodnota pH byla průtokem přes bariery v obecné rovině mírně snižována. Obsah kyslíku byl u prvních dvou měření mírně zvyšován, zatímco při výlovu a po něm došlo průchodem vody barierami k jeho snížení. Průtok vody ovlivňoval hodnoty SPC a TDS bez větších změn. Průchodem vody přes bariery však docházelo k mírnému snižování hodnot Chlorofylu *a* a BGA-PC s výjimkou fáze „hodina po výlovu“.

Tabulka 8. Základní fyzikálně chemické parametry vody Ouhlín (průměr±SD)

| Parametr | Počet měření | Pod rybníkem | Nad 1 hrázkou | Pod 1 hrázkou | Nad 2 hrázkou | Pod 2 hrázkou | Průměr ±SD |
|--------------------------------------------|--------------|--------------|----------------|---------------|---------------|---------------|--------------|
| Teplota (°C) | 4 | 6,62±0,40 | 6,62±0,40 | 6,62±0,39 | 6,61±0,39 | 6,61±0,37 | 6,62±0,39 |
| SPC (µS.cm⁻¹) | 4 | 431,98±8,73 | 432,95±9,26 | 433,48±9,17 | 433,23±8,95 | 433,58±8,88 | 433,04±8,95 |
| TDS (µg.l⁻¹) | 4 | 280,75±5,93 | 281,25±5,97 | 281,75±5,67 | 281,50±6,10 | 281,75±5,67 | 281,40±5,83 |
| Salinita (ppt.) | 4 | 0,21±0,00 | 0,21±0,00 | 0,21±0,00 | 0,21±0,00 | 0,21±0,00 | 0,21±0,00 |
| Kyslík (mg.l⁻¹) | 4 | 5,71±1,03 | 5,27±1,23 | 5,08±1,87 | 4,93±1,75 | 4,88±1,91 | 5,17±1,46 |
| Kyslík (%) | 4 | 46,60±7,98 | 44,55±8,83 | 40,35±13,51 | 40,18±13,89 | 40,95±15,89 | 42,53±11,15 |
| pH | 4 | 7,67±0,08 | 7,73±0,05 | 7,69±0,06 | 7,62±0,05 | 7,60±0,05 | 7,66±0,04 |
| ORP (mV) | 4 | 78,68±31,95 | 83,13±33,25 | 70,55±25,55 | 71,43±26,17 | 66,33±22,08 | 74,02±23,22 |
| Chlor. <i>a</i> (µg.l⁻¹) | 4 | 96,05±43,29 | 146,017±102,23 | 103,63±40,08 | 112,87±53,15 | 104,29±44,70 | 112,60±52,69 |
| BGA-PC (µg.l⁻¹) | 4 | 5,69±4,11 | 5,57±3,77 | 4,87±3,16 | 5,63±4,09 | 4,87±3,28 | 5,32±3,56 |



Obrázek 12. Dynamika vybraných fyzikálně chemických parametrů vody na rybníku Ouhlín



Laboratorní analýza vzorku vody

Z tabulky č. 9 je patrné, že kvalita vody se v průběhu strojení a výlovu rybníka výrazně mění. V noci před výlovem (cca 21:00) nebyl vzorek vody odebrán (netekla voda). Ráno před výlovem, byla voda odebrána v 8:00 zhruba hodinu po opětovném zahájení vypouštění rybníka. Jednalo se i vizuálně o poměrně čistou vodu, která dosahovala 15 mg.l^{-1} NL₁₀₅ a $8,6 \text{ mg.l}^{-1}$ NL₅₅₀. Rovněž obsah TOC byl relativně nízký a to 20 mg.l^{-1} obdobně to bylo i u TN $1,6 \text{ mg.l}^{-1}$ a TP $0,28 \text{ mg.l}^{-1}$. Naproti tomu byla úroveň P_{rozp.} v této fázi nejvyšší ze všech sledovaných rybníků ($0,13 \text{ mg.l}^{-1}$). Nepříjemným zjištěním je však skutečnost, že pod druhou barierou byly zjištěny u všech sledovaných parametrů jejich vyšší hodnoty. Retence barier byla tedy negativní. Při vyloučení (pominutí) lidského faktoru při manipulaci se vzorky, je možné hledat vysvětlení ve skutečnosti, že obnovený průtok vody stokou, zvednul předtím usazený sediment a ten byl vodou tlačen dál. Následně došlo k odebrání vzorků takto zatížené vody. Změna v objemu průtoku vody stokou byla dost výrazná (neteče / teče skoro naplno).

Obecně vzato byla kvalita vody na tomto rybníce ve srovnání s ostatními rybníky velmi dobrá. To bylo zřejmě dánou souhrou několika okolností. Za prvé, jednalo se o malou biomasu lehké ryby ($K_1 = 239 \text{ kg.ha}^{-1}$) v lovišti. Za druhé, výlov probíhal v poslední dekádě listopadu při nízkých teplotách vody i vzduchu. Navíc, vlastnímu výlovu předcházelo velmi výrazné ochlazení (viz. rybník Novokoželský 2016), které inhibovalo biologické pochody ve vodě. Za třetí, rybník díky celkově nízké biomase ryb v průběhu vegetační sezony výrazně zarostl imerzními makrofyty a vláknitými řasami, které ve svých tělech zadržely větší množství živin. Část plůdku kapra byla sbírána ručně ve vegetaci na dně.

Ve fázi „těsně před výlovem“, došlo k zvýšení obsahu všech sledovaných parametrů. Zároveň však došlo k zachycení části živin. Nerozpuštěné látky se snížili o přibližně 40 %, TOC a TN poklesl o 20 %, resp. TP až o 30 %. Obsah P_{rozp.} se rovněž před výlovem zvýšil, i když jeho retence byla nevýrazně negativní (jen -5,9 %).

Samotný výlov, ke kterému došlo až kolem 13:00, vedl opět ke zvýšení obsahu NL₁₀₅ a NL₅₅₀ na $1\ 300$ a 980 mg.l^{-1} . Jejich retence však byla v této fázi vysoká, přes 82 %. Zvýšily se i hodnoty ostatních sledovaných parametrů: TOC (140 mg.l^{-1}), TN (10 mg.l^{-1}), TP ($3,0 \text{ mg.l}^{-1}$). Nicméně jejich retence se zvýšila rovněž a to poměrně vysoko na 65,8 %, 60 % a 70 %. Koncentrace P_{rozp.} ve vodě klesla o více než polovinu, ale její retence byla negativní -23,5 %.

Ve fázi „hodina po výlovu“ byl zaznamenán další nárůst hodnot všech parametrů s výjimkou P_{rozp.}, který naopak poklesl. Nerozpuštěné látky sušené vzrostly přibližně o 30 % a žíhané o 42 %. Jejich retence však byla opět vysoká a dosahovala přes 80 %. Hodnota TOC a TP, resp. TN se zvýšila opět, a to 35 %, resp. 50 %. Retence NL vykazovala 60 až 77 %. Naproti tomu koncentrace P_{rozp.} opět poklesla, ale jeho retence zůstala negativní (-38,78 %).

Bilance živiny

Vypočtené bilance pro vybrané parametry ukazuje obrázek 13. Díky zhoršené kvalitě vody zjištěné ve fázi „ráno před výlovem“ bylo zachyceno poněkud méně živiny, než bylo obvyklé. Nerozpuštěné látky sušené 32,6 %, resp. žíhané 34,1 %. Velmi nízká byla rovněž retence TOC (0,8 %), TN (2,5 %) a Ca_{rozp.} (3,8 %). Záporná retence, tedy naopak uvolnění živin bylo zjištěno opět pro TP, resp. rozpuštěné formy fosforu (-8,2 %, resp. -25,9 %).

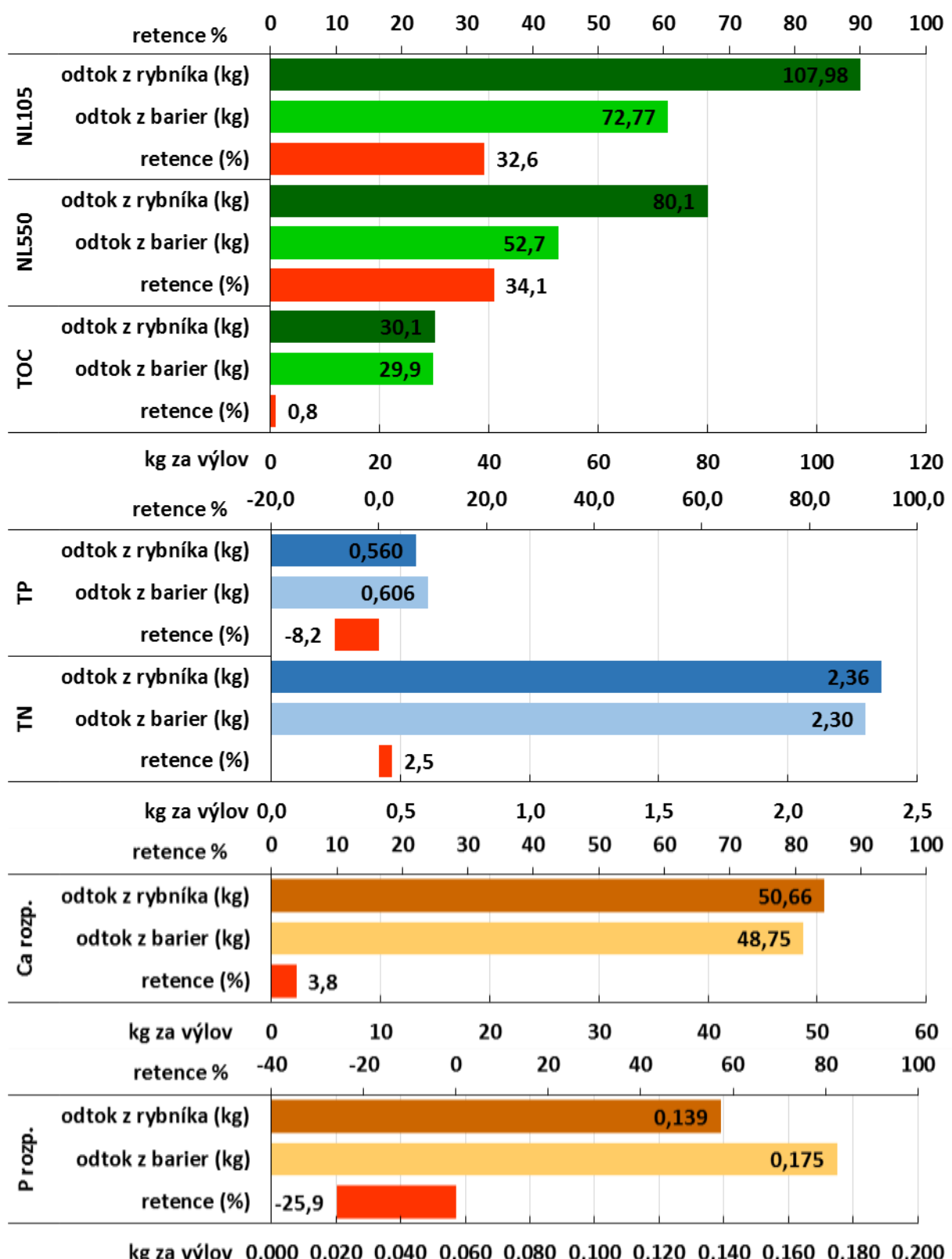
Zkušenosti a postřehy

Na tomto rybníce se ukázala potřeba všímat si únosnosti terénu v okolí stok pro mechanizaci, která je nezbytná pro následné vyčištění a odstranění sedimentu z vodoteče. Tato skutečnost může limitovat vzdálenost hrázek a tím i velikost akumulovaného objemu vody, resp. doby zdržení.



Tabulka 9. Laboratorní výsledky kvality vody Ouhlín

| Parametr | Vzorek | Profil A pod rybníkem | Profil B pod hrázou | Rozdíl (%) |
|--------------------------------------------------|--------------------|-----------------------------|---------------------------|----------------------|
| TOC (mg.l ⁻¹) | noc před výlovem | | | |
| | ráno před výlovem | 20 | 28 | 40,00 |
| | těsně před výlovem | 33 | 27 | -18,18 |
| | výlov | 140 | 36 | -74,29 |
| | hodina po výlovu | 190 | 65 | -65,79 |
| průměr±SD | | 98,75±71,62 | 39,00±15,41 | -59,27±45,50 |
| NL₁₀₅ (mg.l ⁻¹) | noc před výlovem | | | |
| | ráno před výlovem | 15 | 56 | 273,33 |
| | těsně před výlovem | 130 | 80 | -38,46 |
| | výlov | 1 300 | 230 | -82,31 |
| | hodina po výlovu | 1 700 | 310 | -81,76 |
| průměr±SD | | 786,25±728,76 | 169,00±105,23 | -78,51±148,66 |
| NL₅₅₀ (mg.l ⁻¹) | noc před výlovem | | | |
| | ráno před výlovem | 8,6 | 41 | 376,74 |
| | těsně před výlovem | 93 | 55 | -40,86 |
| | výlov | 980 | 170 | -82,65 |
| | hodina po výlovu | 1 400 | 230 | -83,57 |
| průměr±SD | | 620,40±589,39 | 124,00±79,06 | -80,01±193,79 |
| TN (mg.l ⁻¹) | noc před výlovem | | | |
| | ráno před výlovem | 1,6 | 2,1 | 31,25 |
| | těsně před výlovem | 2,6 | 2,1 | -19,23 |
| | výlov | 10,0 | 3,6 | -64,00 |
| | hodina po výlovu | 15,0 | 6,0 | -60,00 |
| průměr±SD | | 7,30±5,50 | 3,45±1,59 | -52,74±38,43 |
| TP (mg.l ⁻¹) | noc před výlovem | | | |
| | ráno před výlovem | 0,28 | 0,55 | 96,43 |
| | těsně před výlovem | 0,90 | 0,63 | -30,00 |
| | výlov | 3,00 | 0,90 | -70,00 |
| | hodina po výlovu | 4,10 | 0,94 | -77,07 |
| průměr±SD | | 2,07±1,55 | 0,76±0,17 | -63,53±69,67 |
| Prozpusšený (mg.l ⁻¹) | noc před výlovem | | | |
| | ráno před výlovem | 0,13 | 0,17 | 30,77 |
| | těsně před výlovem | 0,17 | 0,18 | 5,88 |
| | výlov | 0,068 | 0,084 | 23,53 |
| | hodina po výlovu | 0,049 | 0,068 | 38,78 |
| průměr±SD | | 0,10±0,05 | 0,13±0,05 | 20,38±12,15 |



Obrázek 13. Bilance vybraných živin a chemických parametrů vody na rybníku Ouhlín



4.5 Brdský 2017

Budování hráze a doba zdržení

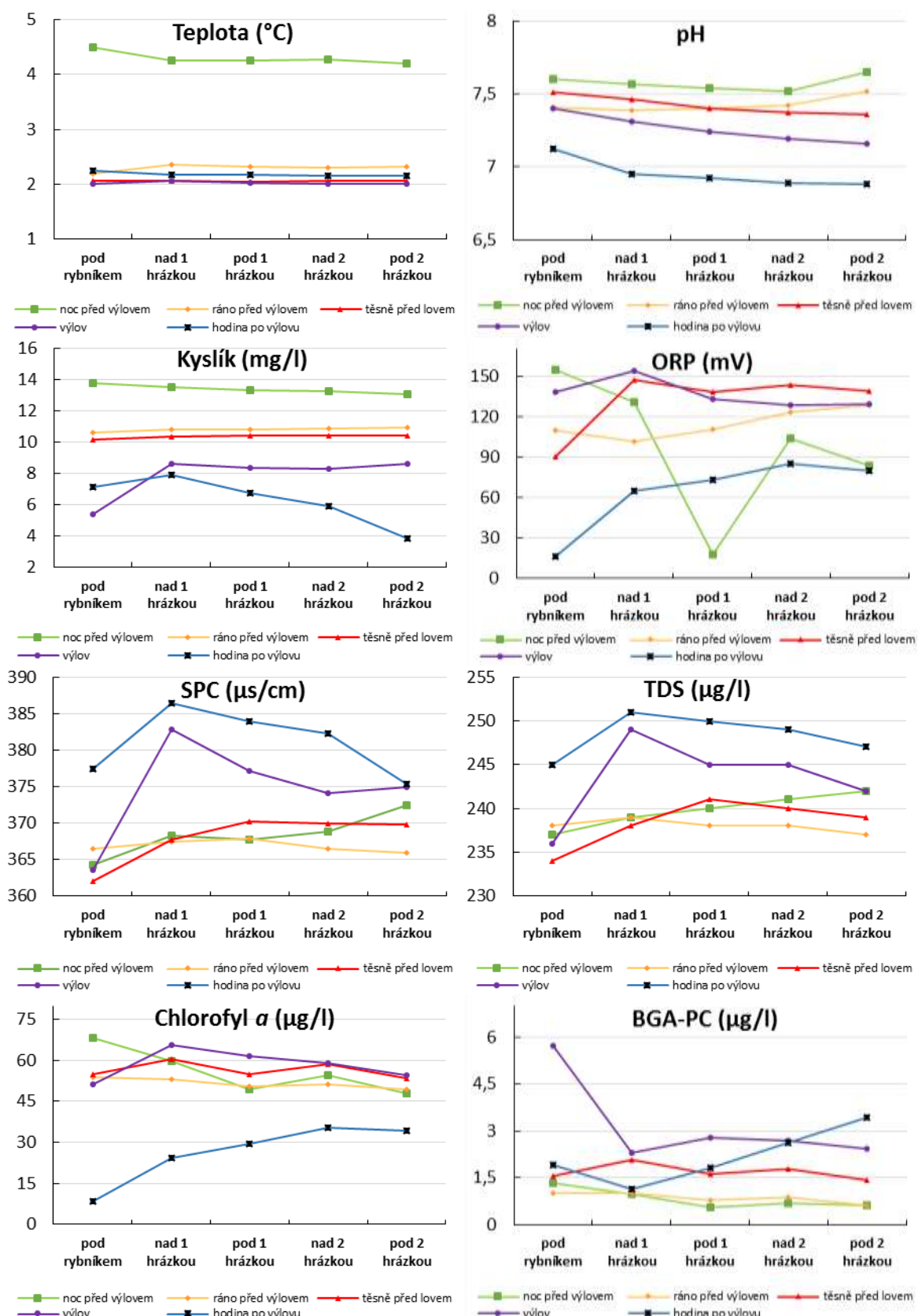
Rybniční Brdský se jevil jako ideální lokalita na budování a testování hráze. Pod jeho hrází se nalézá prostorný travnatý pozemek s mírným spádem a dobrou přístupností pro mechanizaci. Bezprostředně pod rybníkem se nachází na pravé straně stoky mokrá olšina, kde nebylo vhodné bariery zřizovat s ohledem na problematickou dostupnost pro mechanizaci při následném čištění stok. Hrázky byly proto zřizovány poněkud níže po vodě na dobře dostupném otevřeném prostranství. Přibližně 20 m pod hrází se do stoky z levé strany připojuje vodoteč od bezpečnostního přelivu a po dalších 20 m vystupuje stoka z pravostranného porostu olší. První bariera byla postavena přibližně až 60 m pod hrází rybníka, její objem byl 47,25 m³. Druhá bariera byla postavena o dalších 22 m níž, tedy 82 m pod hrází. Její objem byl 40,22 m³. Celkový teoretický objem vzduté vody byl 87,47 m³. Teoretická doba zdržení vody byla přes noc vypočtena na 265 minut. Později výrazně klesla na 65 min. (ráno před lovem), resp. 80–92 minut (těsně před lovem a výlovem). Skutečná doba zdržení však byla menší. Na tomto rybníce se ukázal jako problematický právě nenápadný levostranný přítok od bezpečnostního přelivu, vedle kterého tekla rovněž obtoková stoka rybníka. V noci z 9. a 10. 3. 2017 přišla jedna z prvních jarních bouřek doprovázených intenzivním deštěm. Díky tomu se naplnila boční vodoteč vodou, která následně zřeďovala vodu protékající barierami od fáze „ráno před výlovem“ až do konce sledování (Tab. 11). To mělo za následek určité zkreslení měřených výsledků. Tuto skutečnost považujeme za korektní uvést hned na začátku.

Základní fyzikálně chemické parametry

Celkový přehled základních fyzikálně chemických parametrů vody při průtoku barierami uvádí tabulka č. 10. Podrobnější dynamika změny je zachycena na obrázku č. 14. Kvalita vody přitékající pod rybníkem z leva je uvedena v tabulce č. 11. Teplota vody byla nízká a pohybovala se kolem 4 °C v noci před výlovem, resp. jen 2 °C v den výlovu. Hodnota pH byla průtokem přes barriery v obecné rovině mírně snižována s výjimkou prvních dvou měření. Obsah kyslíku byl ráno před výlovem, těsně před výlovem a v průběhu výlovu zvyšován, zatímco u zbývajících dvou měření naopak snižován. U ORP bylo zjištěno zvyšování hodnot po průtoku barierami u všech měření s výjimkou fáze „noc před výlovem“ a „výlov“. V průměru došlo naopak ke snížení hodnot u SPC a TDS.

Tabulka 10. Základní fyzikálně chemické parametry vody Brdský (průměr±SD)

| Parametr | Počet měření | Pod rybníkem | Nad 1 hrázkou | Pod 1 hrázkou | Nad 2 hrázkou | Pod 2 hrázkou | Průměr ±SD |
|--------------------------------|--------------|--------------|---------------|---------------|---------------|---------------|--------------|
| Teplota (°C) | 5 | 2,60±0,95 | 2,58±0,85 | 2,56±0,85 | 2,56±0,86 | 2,55±0,83 | 2,57±0,87 |
| SPC (µS.cm ⁻¹) | 5 | 366,80±5,53 | 374,56±8,32 | 373,40±6,29 | 372,34±5,55 | 371,74±3,50 | 371,77±5,39 |
| TDS (µg.l ⁻¹) | 5 | 238,00±3,74 | 243,20±5,60 | 242,80±4,26 | 242,60±3,93 | 214,40±3,38 | 241,60±3,90 |
| Salinita (ppt.) | 5 | 0,17±0,00 | 0,18±0,00 | 0,18±0,00 | 0,18±0,00 | 0,18±0,00 | 0,18±0,00 |
| Kyslík (mg.l ⁻¹) | 5 | 9,42±2,91 | 10,25±1,96 | 9,91±2,25 | 9,74±2,49 | 9,36±3,12 | 9,74±2,46 |
| Kyslík (%) | 5 | 70,58±22,59 | 75,66±16,29 | 65,80±12,05 | 72,60±18,66 | 69,24±24,19 | 72,28±19,37 |
| pH | 5 | 7,41±0,16 | 7,34±0,21 | 7,30±0,21 | 7,28±0,22 | 7,31±0,27 | 7,33±0,21 |
| ORP (mV) | 5 | 101,78±48,21 | 119,48±32,70 | 94,46±44,68 | 116,86±20,35 | 111,84±25,08 | 108,88±26,28 |
| Chlor. a (µg.l ⁻¹) | 5 | 47,31±20,29 | 52,72±14,74 | 49,25±10,73 | 51,85±8,64 | 47,92±7,26 | 49,81±11,90 |
| BGA-PC (µg.l ⁻¹) | 5 | 2,30±1,74 | 1,50±0,57 | 1,51±0,80 | 1,73±0,84 | 1,69±1,09 | 1,75±0,88 |



Obrázek 14. Dynamika vybraných fyzikálně chemických parametrů vody na rybníku Brdský



Tabulka 11. Základní fyzikálně chemické parametry vody Brdský potok

| Parametr | Teplofa (°C) | SPC (µS.cm⁻¹) | TDS (µg.l⁻¹) | Salinita (ppt.) | Kyslík (mg.l⁻¹) | Kyslík (%) | pH | ORP (mV) | Chlor. ^a (µg.l⁻¹) | BGA-PC (µg.l⁻¹) |
|----------------|-----------------|------------------|-----------------|--------------------|--------------------|---------------|------|-------------|---------------------------------|--------------------|
| Brdský – potok | 2,16 | 408,2 | 265 | 0,20 | 12,65 | 92,0 | 7,56 | 139,8 | 8,57 | -0,57 |

Laboratorní analýza vzorku vody

Z tabulky č. 12 je patrné, že kvalita vody se v průběhu strojení a výlovu rybníka výrazně měnila. V „noci před výlovem“ byl zjištěn poměrně vysoký obsah nerozpustěných látek jak sušených, tak i žíhaných na úrovni 110 a 85 mg.l⁻¹. Takovéto hodnoty byly u ostatních rybníků typické spíše pro další fáze výlovu. Příčinou může být vysoká biomasa relativně těžké ryby ($K_3 = 2\ 915 \text{ kg.ha}^{-1}$ = vlastní obsádka + svoz) komorované v rybníku. Nicméně retence látek byla poměrně vysoká a to přes 35 %. Mírně zvýšena byla i hodnota TN (6 mg.l⁻¹), která ale vykázala negativní retenci, tedy uvolnění -13,3 %. Naproti tomu nižší hodnoty vykazoval ve srovnání s průměrem ostatních rybníků TOC (16 mg.l⁻¹) a TP (0,24 mg.l⁻¹), jejich retence však byla přes 12,5 %. V této fázi sledování byla voda protékající barierami ještě nezředěná srážkami.

K e zřed'ování vody levostranným přítokem došlo až v noci, takže vzorky odebrané ve fázi „ráno před výlovem“ a dále. Tyto výsledky je proto nutné interpretovat opatrně. Množství protékající vody z obou zdrojů a jejich poměr míchání nebylo z technických důvodů možné stanovit (neočekávaná situace a chybějící vybavení v terénu).

Ráno před výlovem došlo k dalšímu mírnému zvýšení koncentrací všech sledovaných látek s výjimkou TN a $P_{rozp.}$, které naopak poklesly. Vypočtená retence živin (TOC, TP, NL₁₀₅ a NL₅₅₀) byla opět o něco vyšší. V další fázi strojení „těsně před výlovem“ došlo k přibližně dvojnásobnému zvýšení prakticky všech měřených hodnot s výjimkou TN, resp. $P_{rozp.}$, který se zvýšil jen o 20 %, resp. 15 %. Jejich retence byla obdobná jako v předchozí fázi.

Vlastní výlov, který byl prováděn podložní sítí, vedl opět ke zvýšení obsahu NL₁₀₅ a NL₅₅₀ na 2 100 a 1 600 mg.l⁻¹. Jejich retence byla v této fázi vysoká, přes 76 %. Zvýšily se i hodnoty ostatních sledovaných parametrů: TOC (120 mg.l⁻¹), TN (16 mg.l⁻¹), TP (3,8 mg.l⁻¹). Jejich retence se zvýšila rovněž a to poměrně vysoko na 70,8 %, 41,3 % a 82,9 %. Koncentrace $P_{rozp.}$ se ve vodě mírně zvýšila, ale její retence byla negativní -12,5 %.

Ve fázi „hodina po výlovu“ byl zaznamenán další nárůst hodnot všech parametrů. Nerozpustěné látky sušené vzrostly přibližně na 4 400 a žíhané na 3 800 mg.l⁻¹. Jejich retence však poklesla a dosahovala jen 9 % a 47 %. Ke zvýšení na 220 mg.l⁻¹ došlo rovněž u TOC, resp. TN (26 mg.l⁻¹), nicméně jeho retence barierami byla negativní (-13,6 %, resp. -11,5 %). To mohlo být dáno „zvedáním“ lehčích, již zachycených sedimentů z důvodu zvýšeného průtoku srážkové vody barierami (z prázdného loviště již teklo málo vody). Naproti tomu u TP se zvýšila jeho hodnota velmi výrazně a to na 63 mg.l⁻¹, přičemž byla vypočtena jeho retence na úrovni 80,9 %. Zajímavě vyšla změna koncentrace $P_{rozp.}$, která se na výtoku z rybníka opět zvýšila (0,058 mg.l⁻¹), ale jeho retence byla pozitivní (53,5 %).

Bilance živiny

Vypočtené bilance pro vybrané látky ukazuje obrázek 15. Nerozpustěné látky sušené dosáhly 56,0 %, resp. žíhané 63,0 %. Nízká byla retence TOC (40,0 %) a TN (10,9 %). Záporná retence, tedy naopak uvolnění živin bylo zjištěno opět pro rozpuštěné formy fosforu (-38,5 %). Naproti tomu vysoká retence byla zjištěna pro TP a to až 76,4 %.

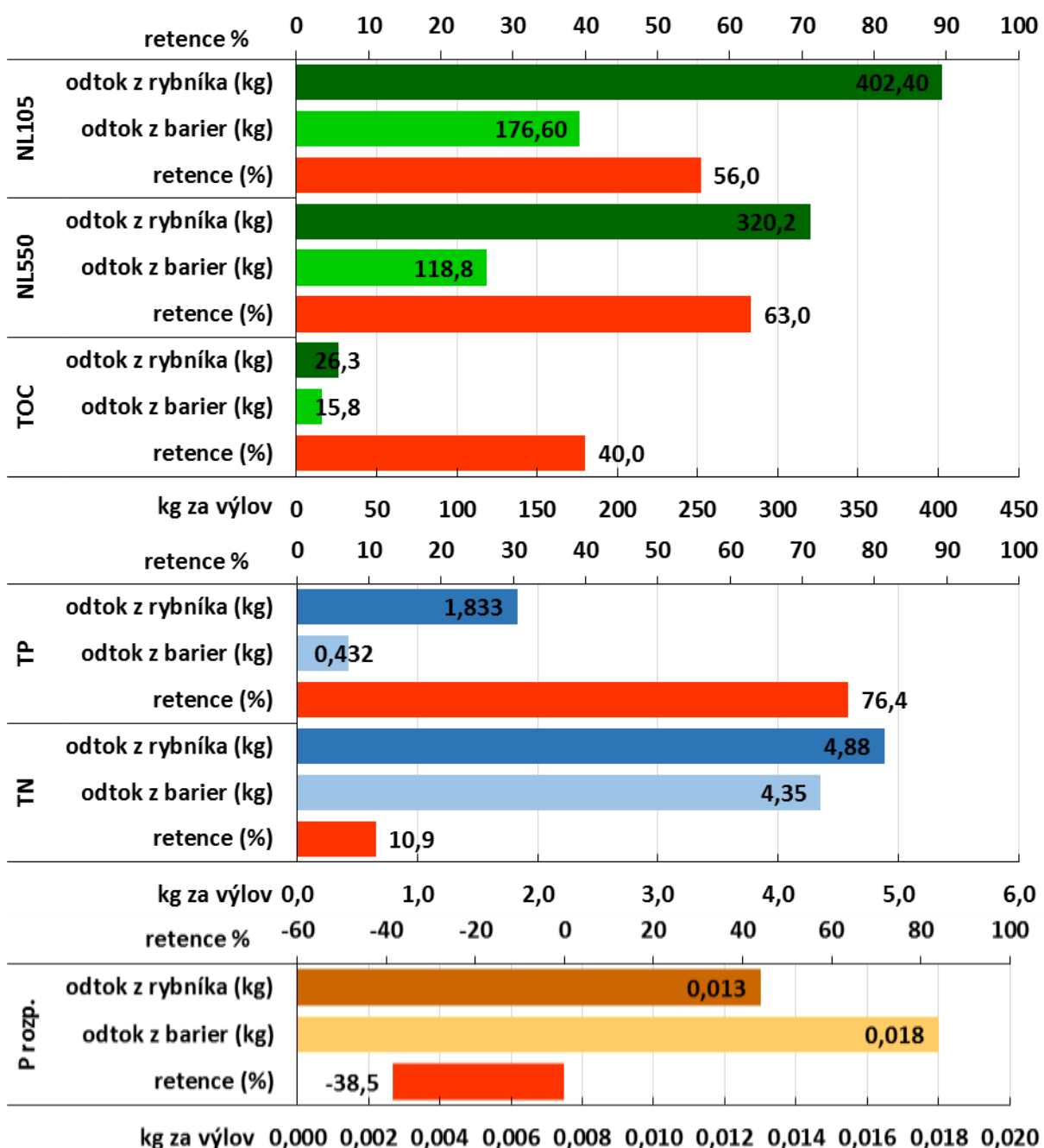


Zkušenosti a postřehy

Rybniční Brdský ukázal, že pro tuto technologii zachytávání sedimentů při výlovech nejsou vhodné průtočné rybníky postavené na vodnatých vodotečích. Při srážkové činnosti dochází ke zvýšenému průtoku vody a tím i zřeďování vod protékajících barierami. Tato skutečnost negativně působí na dobu zdržení a tím i efektivitu sedimentace. Případná následná bouřková činnost může rovněž již zachycený sediment odplavit dál, před jeho odstraněním ze stoky. I tuto skutečnost jsme si potvrdili na rybníku Brdský.

Tabulka 12. Laboratorní výsledky kvality vody Brdský

| Parametr | Vzorek | Profil A pod rybníkem | Profil B pod 2 hrázkou | Rozdíl (%) | potok Brdský |
|--------------------------------------------|--------------------|-----------------------------|------------------------------|---------------------|-----------------|
| TOC (mg.l ⁻¹) | noc před výlovem | 16 | 14 | -12,50 | |
| | ráno před výlovem | 17 | 12 | -29,41 | |
| | těsně před výlovem | 31 | 24 | -22,58 | |
| | výlov | 120 | 35 | -70,83 | |
| | hodina po výlovu | 220 | 250 | 13,64 | 7,6 |
| | průměr±SD | 80,80±79,58 | 67,00±91,87 | -17,08±27,47 | |
| NL ₁₀₅ (mg.l ⁻¹) | noc před výlovem | 110 | 71 | -35,45 | |
| | ráno před výlovem | 160 | 85 | -46,88 | |
| | těsně před výlovem | 390 | 220 | -43,59 | |
| | výlov | 2 100 | 440 | -79,05 | |
| | hodina po výlovu | 4 400 | 4 000 | -9,09 | 5,6 |
| | průměr±SD | 1 432,00±1 655,70 | 963,20±1 524,17 | -32,74±22,46 | |
| NL ₅₅₀ (mg.l ⁻¹) | noc před výlovem | 85 | 53 | -37,65 | |
| | ráno před výlovem | 130 | 68 | -47,69 | |
| | těsně před výlovem | 330 | 180 | -45,45 | |
| | výlov | 1 600 | 370 | -76,88 | |
| | hodina po výlovu | 3 800 | 2 000 | -47,37 | 4,2 |
| | průměr±SD | 1 189,00±1 418,76 | 536,20±741,60 | -55,07±13,44 | |
| TN (mg.l ⁻¹) | noc před výlovem | 6 | 6,8 | 13,33 | |
| | ráno před výlovem | 5,3 | 5,4 | 1,89 | |
| | těsně před výlovem | 6,6 | 6,5 | -1,52 | |
| | výlov | 16 | 9,4 | -41,25 | |
| | hodina po výlovu | 26 | 29 | 11,54 | 13 |
| | průměr±SD | 11,98±8,03 | 11,42±8,89 | -4,67±19,83 | |
| TP (mg.l ⁻¹) | noc před výlovem | 0,24 | 0,21 | -12,50 | |
| | ráno před výlovem | 0,31 | 0,24 | -22,58 | |
| | těsně před výlovem | 0,62 | 0,45 | -27,42 | |
| | výlov | 3,80 | 0,65 | -82,89 | |
| | hodina po výlovu | 63 | 12 | -80,95 | 0,076 |
| | průměr±SD | 13,59±24,74 | 2,71±4,65 | -80,06±30,32 | |
| P rozpuščený (mg.l ⁻¹) | noc před výlovem | 0,024 | 0,036 | 50,00 | |
| | ráno před výlovem | 0,017 | 0,031 | 82,35 | |
| | těsně před výlovem | 0,020 | 0,029 | 45,00 | |
| | výlov | 0,024 | 0,027 | 12,50 | |
| | hodina po výlovu | 0,058 | 0,027 | -53,45 | 0,028 |
| | průměr±SD | 0,03±0,01 | 0,03±0,00 | 4,90±46,04 | |



Obrázek 15. Bilance vybraných živin a chemických parametrů vody na rybníku Brdský



4.6 Vrbice 2017

Budování hrázek a doba zdržení

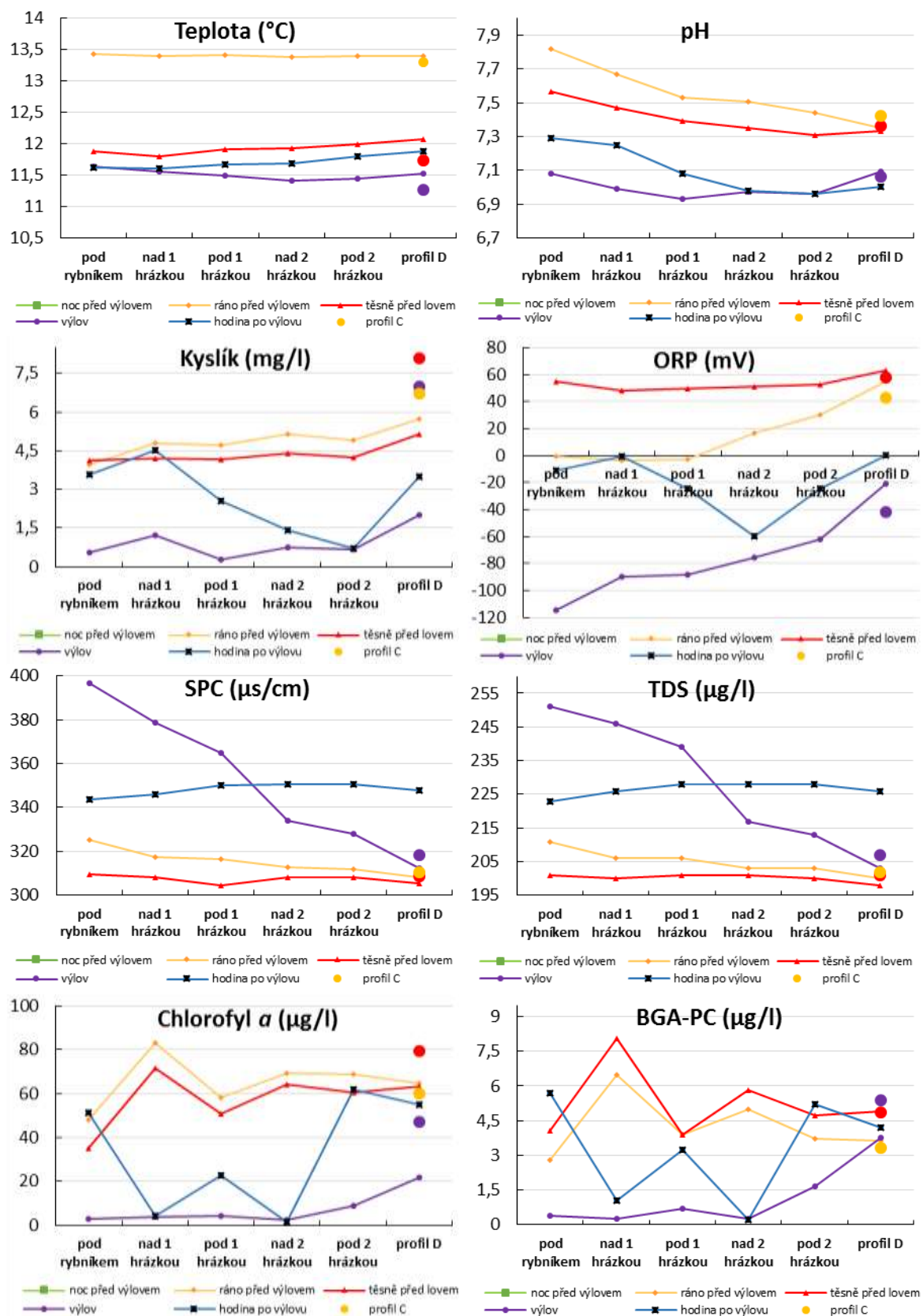
Na rybníku Vrbice byly hrázky s ohledem na místní podmínky (pastvina dobytka, mostek) zřizovány poněkud níže po vodě. První bariera byla postavena cca 55 m pod hrází rybníka. Druhá pak o dalších 30 m dál po vodě, tedy 75 m od hráze. Celkový objem barier byl 15,4 m³, z toho 7,6 m³ připadalo na první barieru a 7,8 m³ na druhou barieru. Teoretická doba zdržení vody byla ráno před výlovem poměrně krátká, jen 10 min. z důvodu intenzivního prázdnění rybníku. V dalších fázích sledování však došlo k jejímu prodloužení na 41, resp. 90 minut (těsně před lovem, resp. při výlovu). Relativně malý objem barier byl dán skutečností, že odtoková stoka z rybníka byla vedena ve svahu jakoby „po vrstevnici“ s velmi mírným spádem. Z levé strany stoky se svah zvyšoval a byl silně zarostlý křovinami, z pravé strany pak padal do zatravněného úžlabí. Ve stoce byly proto postaveny dvouřadé relativně krátké bariery. Jelikož vlastní stoka pod rybníkem byla poměrně mělká a úzká, akumulační kapacita barier byla malá. Z důvodu jejího zvýšení byly u obou barier postaveny z pravé strany podél stoky a kolmo k hrázce křídla, která umožnila zvýšit objem zadržené vody. Nicméně z obou barier byla část vody díky netěsnostem vybřezena a unikala po travnatém úžlabí (pastvině) dolů, kde se následně spojila s vodou ze stoky níže ležící. Pro horní barieru se jednalo o plochu cca 96 m² a pro druhou barieru cca 70 m². Po spojení obou těchto částí byla tato voda vzorkována jako profil „C“. Pod druhou barierou pokračovala stoka velmi hustým a vzrostlým porostem bylin a křovin a po 20 m stékala samovolně do úžlabí. Na tomto místě byla voda měřena jako profil „D“. Díky této jedinečné konfiguraci se nám podařilo alespoň z části nastínit, jak efektivně může fungovat travní porost při zachytávání sedimentu.

Základní fyzikálně chemické parametry

Celkový přehled základních fyzikálně chemických parametrů vody při průtoku barierami uvádí tabulka č. 13. Podrobnější dynamika změny je zachycena na obrázku č. 16. S ohledem na velikost rybníku a vysokou teplotu vody (12 °C) byl rybník po postavení barier a přes celou noc zastaven. Hodnota pH byla průtokem přes bariery v obecné rovině mírně snižována. Obsah kyslíku byl mírně zvyšován s výjimkou měření hodinu po výlovu. K výraznějšímu zvýšení obsahu kyslíku došlo na profilech C a D (okyslicení stykem se vzduchem). U ORP bylo zjištěno zvýšování hodnot po průtoku barierami u všech měření. V průměru došlo naopak ke snížení hodnot u SPC a TDS. Dynamika změny koncentrace Chlorofylu *a* a BGA-PC po průtoku barierami směrovala k zvyšování jejich hodnot.

Tabulka 13. Základní fyzikálně chemické parametry vody Vrbice (průměr±SD)

| Parametr | Počet měření | Pod rybníkem | Nad 1 hrázkou | Pod 1 hrázkou | Nad 2 hrázkou | Pod 2 hrázkou | Průměr ±SD |
|---------------------------------------|--------------|--------------|---------------|---------------|---------------|---------------|--------------|
| Teplota (°C) | 4 | 12,15±0,75 | 12,09±0,76 | 12,13±0,76 | 12,11±0,76 | 12,16±0,74 | 12,12±0,75 |
| SPC (µS.cm ⁻¹) | 4 | 343,68±32,84 | 337,55±27,58 | 333,88±24,48 | 326,35±17,06 | 324,48±16,80 | 333,19±21,77 |
| TDS (µg.l ⁻¹) | 4 | 221,50±18,73 | 219,50±18,08 | 218,50±15,60 | 212,25±10,99 | 211,00±10,93 | 216,55±13,68 |
| Salinita (ppt.) | 4 | 0,17±0,01 | 0,16±0,01 | 0,16±0,01 | 0,16±0,01 | 0,16±0,01 | 0,16±0,01 |
| Kyslík (mg.l ⁻¹) | 4 | 3,05±1,46 | 3,69±1,44 | 2,93±1,71 | 2,92±1,87 | 2,63±1,96 | 3,04±1,57 |
| Kyslík (%) | 4 | 28,75±13,71 | 34,58±13,70 | 27,73±16,30 | 28,18±17,77 | 25,70±18,03 | 28,99±14,87 |
| pH | 4 | 7,44±0,28 | 7,35±0,25 | 7,23±0,24 | 7,20±0,23 | 7,17±0,21 | 7,28±0,24 |
| ORP (mV) | 4 | -17,90±61,43 | -11,70±49,61 | -16,63±49,49 | -16,98±52,41 | -1,10±44,95 | -12,86±50,08 |
| Chlor. <i>a</i> (µg.l ⁻¹) | 4 | 34,38±19,11 | 40,65±36,91 | 34,12±21,74 | 34,49±32,43 | 49,98±24,04 | 38,72±24,06 |
| BGA-PC (µg.l ⁻¹) | 4 | 3,23±1,95 | 3,95±3,37 | 2,92±1,32 | 2,81±2,61 | 3,83±1,38 | 3,35±1,76 |



Obrázek 16. Dynamika vybraných fyzikálně chemických parametrů vody na rybníku Vrbice



Laboratorní analýza vzorku vody

Z tabulek č. 14 a 15 je patrné, že kvalita vody se v průběhu strojení a výlovu rybníka výrazně měnila. První vzorek vody byl odebrán až „ráno před výlovem“, kdy byl rybník intenzivně prázdněn. Počínaje tímto rybníkem došlo rovněž k rozšíření spektra prováděných analýz. Hodnota BSK₅ dosahovala 21 mg.l⁻¹ a průtokem přes bariery byla snížena na 19 mg.l⁻¹ (-9,5 %). U CHSK_{Cr} však došlo průtokem přes bariery k jeho zvýšení ze 100 a 110 mg.l⁻¹. Obsah NL₁₀₅ a NL₅₅₀ byl mírně zvýšen a dosahoval 170, resp. 120 mg.l⁻¹. Nicméně jejich retence byla zjištěna na úrovni přes 35 %. Ve srovnání s ostatními rybníky byla mírně zvýšena i hodnota TN (7,6 mg.l⁻¹) a TP (0,67 mg.l⁻¹) po průchodu barierami (1,3 % a -6 %). Výrazněji byl průchodem barierami zvýšen rovněž P_{rozp.} (-141 %). Tyto skutečnosti mohly být dány vyšší pohybovou aktivitou obsádky ryb v rybníce, teplotou vody (K₃ – 844 kg.ha⁻¹), vyplavením P z koryta stoky. S minimálními změnami procházely barierami i další sledované látky uvedeny v tabulce 15.

Těsně před výlovem došlo k dalšímu výraznějšímu nárůstu koncentrace prakticky všech parametrů, s výjimkou Fe_{rozp.}, který naopak poklesl. Poněkud mírnější nárůst byl zaznamenán jen u TIC, KNK_{4,5} a Ca. Nejvyšší retence na úrovni přes 64 % byla zjištěna u nerozluštěných látok a Ca. Vysoký záchyt (nad 40 %) průtokem vody barierami byl zjištěn u TP a BSK₅, zatímco u TOC, TN a CHSK_{Cr} byl na úrovni 20 až 30 %. Ještě menší pak byla retence u vápníku (11,4 %). Ostatní parametry dosahovaly nízké retence (KNK_{4,5} 4,4 %, TIC 0,0 %), resp. záporné (TC -1,19 %, P_{rozp.} -16,7 %, Fe_{rozp.} -60,5 %). Na tomto místě je vhodné poukázat jakými purifikačními schopnostmi disponuje travní porost, ať se jedná o pastvinu (viz. profil C) nebo silně zarostlou stokou (viz profil D). S výjimkou rozpuštěných forem P a Fe dochází k dalšímu zvýšenému zachycení živin. Tímto je možné demonstrovat, že ke zlepšení kvality vody pod rybníkem může být efektivně použit rovněž i její řízený rozliv na travní porosty (mokřady) pod rybníkem.

Vlastní výlov, byl s ohledem na velikost rybníku prováděn ručně „na kesery“. Pohyb osob v lovišti, jakož i vyšší teplota vody a biomasa obsádky (K₃ – 844 kg.ha⁻¹) vedly ke zvýšení obsahu NL₁₀₅ a NL₅₅₀ na extrémních 47 000 a 40 000 mg.l⁻¹. Jejich retence byla v této fázi celkem vysoká, kolem 62 %, ale ve srovnání s ostatními rybníky nižší. Výrazně se zvýšili i hodnoty dalších sledovaných parametrů, přičemž jejich retence zůstala rovněž pozitivní: BSK₅ (210 mg.l⁻¹; 42,8 %), Ca (240 mg.l⁻¹; 33,3 %), Fe (1200 mg.l⁻¹; 24,2 %), KNK_{4,5} (3,7 mmol.l⁻¹; 21,6,4 %), TN (53 mg.l⁻¹; 13,2 %). Naproti tomu u některých parametrů došlo rovněž k jejich zvýšení, ale jejich retence byla průchodem vody barierami naopak negativní: CHSK_{Cr} (530 mg.l⁻¹; -45,3%), TOC (200 mg.l⁻¹; -70 %) TIC (73 mg.l⁻¹; -1,4 %), TC (280 mg.l⁻¹; -50,0 %). Rovněž poněkud překvapivě působí výsledky rozpuštěných forem P a Fe. Koncentrace P_{rozp.} poklesla na 0,043 mg.l⁻¹ a byla paradoxně nejnižší ze všech vzorků odebraných na rybníku Vrbice. Zároveň bylo docíleno pozitivní retence 20,9 %, jako na jediném ze čtyř vzorků. U Fe_{rozp.} došlo naopak k osminásobnému zvýšení jeho hodnoty na 3,1 mg.l⁻¹, přičemž jeho retence byla přes 94 %.

Fáze „hodina po výlovu“ přinesla určité překvapení, neboť očekávaný a obvyklý nárůst koncentrace nerozpuštěných látok a dalších živin se nedostavil. Množství NL₁₀₅ a NL₅₅₀ naopak velmi výrazně pokleslo na 1 400 mg.l⁻¹, resp. 1 200 mg.l⁻¹. Jejich retence se ale zvýšila na 72,8 a 76,7 %. Pokles parametrů na úroveň srovnatelnou s fází „těsně před výlovem“ byl zaznamenán u BSK₅, TN, TIC, KNK_{4,5}, Ca a Fe_{rozp.}. Jejich retence byla přes přirozený pokles objemu průtoku vody barierami vcelku slušná. Ostatní látky (CHSK_{Cr}, TC, TOC, Fe) poklesly rovněž, ale jejich snížení bylo poněkud menší. Jejich retence byla, ale rovněž poměrně značná (37,0 %; 47,5 %; 53,9 %; 75,0 %). Důvodem takto výrazného poklesu koncentrace látok ve vodě byla skutečnost, že strojč sice zanechal námi požadovanou



hodinu po výlovu volně protékat požerákem vodu, ale zároveň do požeráku vrátil dvě dluže, které zachovávaly určitý objem vody v lovišti. Voda odtékající z loviště tedy nezpůsobovala povrchovou erozi bahna, jak tomu bývá u prázdného rybníka, ale naopak měla prostor pro sedimentaci. To vedlo k zjištěnému zlepšení kvality vody ve fázi „po výlovu“. Motivací k takovému postupu byla snaha zamezit zavalení nízko položené roury a vývaru bahnu z loviště, které by dle zkušenosti v dalším roce komplikovalo vypuštění rybníka. Za povšimnutí zde stojí rovněž další zlepšení kvality vody na profilu D ve srovnání s profilem B.

Tabulka 14. Laboratorní výsledky kvality vody Vrbice

| Parametr | Vzorek | Profil A pod rybníkem | Profil B pod 2 hrázkou | Rozdíl (%) | Profil C „tráva“ | Profil D „stoka“ |
|---------------------------------------------------|--------------------|-----------------------------|------------------------------|---------------------|------------------------|------------------------|
| BSK₅ (mg.l ⁻¹) | noc před výlovem | | | | | |
| | ráno před výlovem | 21 | 19 | -9,52 | | |
| | těsně před výlovem | 31 | 17 | -45,16 | 15 | 16 |
| | výlov | 210 | 120 | -42,86 | | |
| | hodina po výlovu | 27 | 17 | -37,04 | | 15 |
| průměr±SD | | 72,25±79,61 | 43,25±44,32 | -40,14±14,24 | | |
| CHSK_{Cr} (mg.l ⁻¹) | noc před výlovem | | | | | |
| | ráno před výlovem | 100 | 110 | 10,00 | | |
| | těsně před výlovem | 150 | 110 | -26,67 | 100 | 98 |
| | výlov | 530 | 770 | 45,28 | | |
| | hodina po výlovu | 280 | 140 | -50,00 | | 130 |
| průměr±SD | | 265,00±166,51 | 282,50±281,72 | 6,60±36,22 | | |
| NL₁₀₅ (mg.l ⁻¹) | noc před výlovem | | | | | |
| | ráno před výlovem | 170 | 110 | -35,29 | | |
| | těsně před výlovem | 540 | 190 | -64,81 | 130 | 130 |
| | výlov | 47 000 | 18 000 | -61,70 | | |
| | hodina po výlovu | 1 400 | 380 | -72,86 | | 270 |
| průměr±SD | | 12 277,5±20052,01 | 4 670±7696,7 | -61,96±14,09 | | |
| NL₅₅₀ (mg.l ⁻¹) | noc před výlovem | | | | | |
| | ráno před výlovem | 120 | 77 | -35,83 | | |
| | těsně před výlovem | 430 | 140 | -67,44 | 90 | 95 |
| | výlov | 40 000 | 15 000 | -62,50 | | |
| | hodina po výlovu | 1 200 | 280 | -76,67 | | 210 |
| průměr±SD | | 10 437,50±17072,45 | 3 874,25±6423,87 | -62,88±15,18 | | |
| TN (mg.l ⁻¹) | noc před výlovem | | | | | |
| | ráno před výlovem | 7,6 | 7,5 | -1,32 | | |
| | těsně před výlovem | 11 | 8,1 | -26,36 | 7,3 | 7,5 |
| | výlov | 53 | 46 | -13,21 | | |
| | hodina po výlovu | 19 | 12 | -36,84 | | 8,6 |
| průměr±SD | | 22,65±18,00 | 18,40±16,03 | -18,76±13,40 | | |
| TP (mg.l ⁻¹) | noc před výlovem | | | | | |
| | ráno před výlovem | 0,67 | 0,71 | 5,97 | | |
| | těsně před výlovem | 1,4 | 0,79 | -43,57 | 0,63 | 0,62 |
| | výlov | 30 | 22 | -26,67 | | |
| | hodina po výlovu | 1,8 | 0,82 | -54,44 | | 0,73 |
| průměr±SD | | 8,47±12,44 | 6,08±9,19 | -28,20±22,84 | | |
| P rozpuščený (mg.l ⁻¹) | noc před výlovem | | | | | |
| | ráno před výlovem | 0,087 | 0,21 | 141,38 | | |
| | těsně před výlovem | 0,12 | 0,14 | 16,67 | 0,13 | 0,14 |
| | výlov | 0,043 | 0,034 | -20,93 | | |
| | hodina po výlovu | 0,073 | 0,086 | 17,81 | | 0,068 |
| průměr±SD | | 0,08±0,03 | 0,12±0,07 | 45,51±61,28 | | |



Tabulka 15. Laboratorní výsledky kvality vody Vrbice

| Parametr | Vzorek | Profil A pod rybníkem | Profil B pod 2 hrázkou | Rozdíl (%) | Profil C „tráva“ | Profil D „stoka“ |
|-----------------------------------------------|--------------------|-----------------------------|------------------------------|---------------------|------------------------|------------------------|
| TOC (mg.l ⁻¹) | noc před výlovem | | | | | |
| | ráno před výlovem | 39 | 39 | 0,00 | | |
| | těsně před výlovem | 62 | 43 | -30,65 | 39 | 37 |
| | výlov | 200 | 340 | 70,00 | | |
| | hodina po výlovu | 130 | 60 | -53,85 | | 34 |
| průměr±SD | | 107,75±62,90 | 120,50±126,97 | 11,83±46,60 | | |
| TIC (mg.l ⁻¹) | noc před výlovem | | | | | |
| | ráno před výlovem | 21 | 20 | -4,76 | | |
| | těsně před výlovem | 22 | 22 | 0,00 | 20 | 21 |
| | výlov | 73 | 74 | 1,37 | | |
| | hodina po výlovu | 26 | 24 | -7,69 | | 25 |
| průměr±SD | | 35,50±21,73 | 35,00±22,56 | -1,41±3,64 | | |
| TC (mg.l ⁻¹) | noc před výlovem | | | | | |
| | ráno před výlovem | 60 | 59 | -1,67 | | |
| | těsně před výlovem | 84 | 85 | 1,19 | 59 | 58 |
| | výlov | 280 | 420 | 50,00 | | |
| | hodina po výlovu | 160 | 84 | -47,50 | | 59 |
| průměr±SD | | 146,00±85,72 | 162,00±149,32 | 10,96±34,49 | | |
| KNK _{4,5} (mmol.l ⁻¹) | noc před výlovem | | | | | |
| | ráno před výlovem | 2,1 | 2,1 | 0,00 | | |
| | těsně před výlovem | 2,3 | 2,2 | -4,35 | 2,1 | 2,2 |
| | výlov | 3,7 | 2,9 | -21,62 | | |
| | hodina po výlovu | 2,8 | 2,7 | -3,57 | | 2,6 |
| průměr±SD | | 2,73±0,62 | 2,48±0,33 | -9,17±8,38 | | |
| Ca (mg.l ⁻¹) | noc před výlovem | | | | | |
| | ráno před výlovem | 32 | 31 | -3,13 | | |
| | těsně před výlovem | 35 | 31 | -11,43 | 32 | 31 |
| | výlov | 240 | 160 | -33,33 | | |
| | hodina po výlovu | 37 | 32 | -13,51 | | 31 |
| průměr±SD | | 86,00±0,62 | 63,50±0,33 | -26,16±8,38 | | |
| Fe (mg.l ⁻¹) | noc před výlovem | | | | | |
| | ráno před výlovem | 7,8 | 5,7 | -26,92 | | |
| | těsně před výlovem | 27 | 9,5 | -64,81 | 5,9 | 6,1 |
| | výlov | 1 200 | 910 | -24,17 | | |
| | hodina po výlovu | 64 | 16 | -75,00 | | 13 |
| průměr±SD | | 324,70±505,76 | 235,30±389,56 | -27,53±22,49 | | |
| Ferozpuščený (mg.l ⁻¹) | noc před výlovem | | | | | |
| | ráno před výlovem | 0,58 | 0,65 | 12,07 | | |
| | těsně před výlovem | 0,38 | 0,61 | 60,53 | 0,57 | 0,65 |
| | výlov | 3,1 | 0,18 | -94,19 | | |
| | hodina po výlovu | 0,45 | 0,34 | -24,44 | | 0,29 |
| průměr±SD | | 1,13±1,14 | 0,45±0,19 | -60,53±56,46 | | |

Bilance živiny

Vypočtené bilance pro vybrané látky ukazuje obrázek 18. Nerozpuštěné látky sušené dosáhly záchrny 60,0 %, resp. žíhané 61,4 %. Překvapivě záporná byla retence TOC (-8,0 %). Poměrně nízkého záchrny bylo docíleno u TN (7,4 %) a TP (18,4 %). Záporná retence, tedy naopak uvolnění živin bylo zjištěno pro rozpuštěné formy fosforu (-126 %). Naproti tomu pozitivní retence byla zjištěna pro Ca_{rozp}. (12 %). Retence dalších parametrů uvádí tabulka 16.



Tabulka 16. Přehled bilance vybraných parametrů kvality vody a živin na rybníku Vrbice

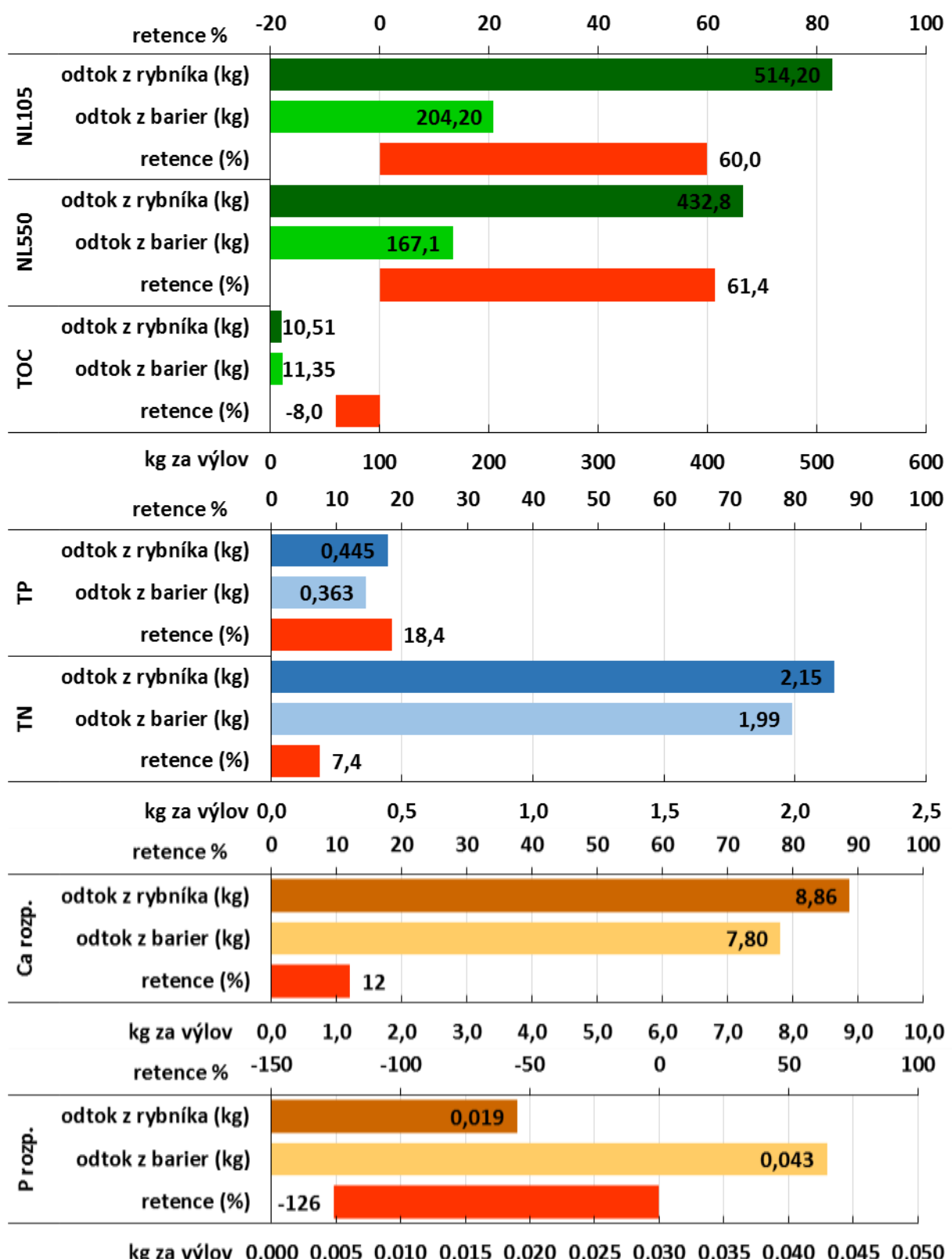
| Parametr | BSK _S | CHSK _{Cr} | TC | TIC | Fe |
|---------------------------|------------------|--------------------|-------|------|-------|
| Přítok z rybníku (kg) | 6,44 | 26,75 | 15,56 | 4,96 | 14,06 |
| Odtok pod 2 barierou (kg) | 4,98 | 29,81 | 16,42 | 4,80 | 10,33 |
| Retence (kg) | 1,46 | -3,06 | -0,86 | 0,16 | 3,73 |
| Retence (%) | 22,7 | -11,4 | -5,5 | 3,2 | 26,5 |

Zkušenosti a postřehy

Výsledky získané na rybníku Vrbice ukázaly, že průtokem vody přes travní porost lze rovněž efektivně zlepšovat kvalitu vody vypouštěnou při výlovech (viz. obr. 17). Podobných výsledků bylo dosaženo i průtokem vody přes silně zarostlou stoku pod druhou barierou v délce cca 20 m. Na tomto rybníce bariery opět dobře zachytily unikající střevličku východní a zamezily šíření nepůvodního druhu.



Obrázek 17. Rozlití vody na travním porostu pod první (nahoře vlevo) a druhou barierou (nahoře vpravo), plevelné ryby zachycené nad první barierou (vlevo dole) a zarostlá stoka nad profilem D (vpravo dole)



Obrázek 18. Bilance vybraných živin a chemických parametrů vody na rybníku Vrbice



4.7 Pláňavy 2017

Budování hrázek a doba zdržení

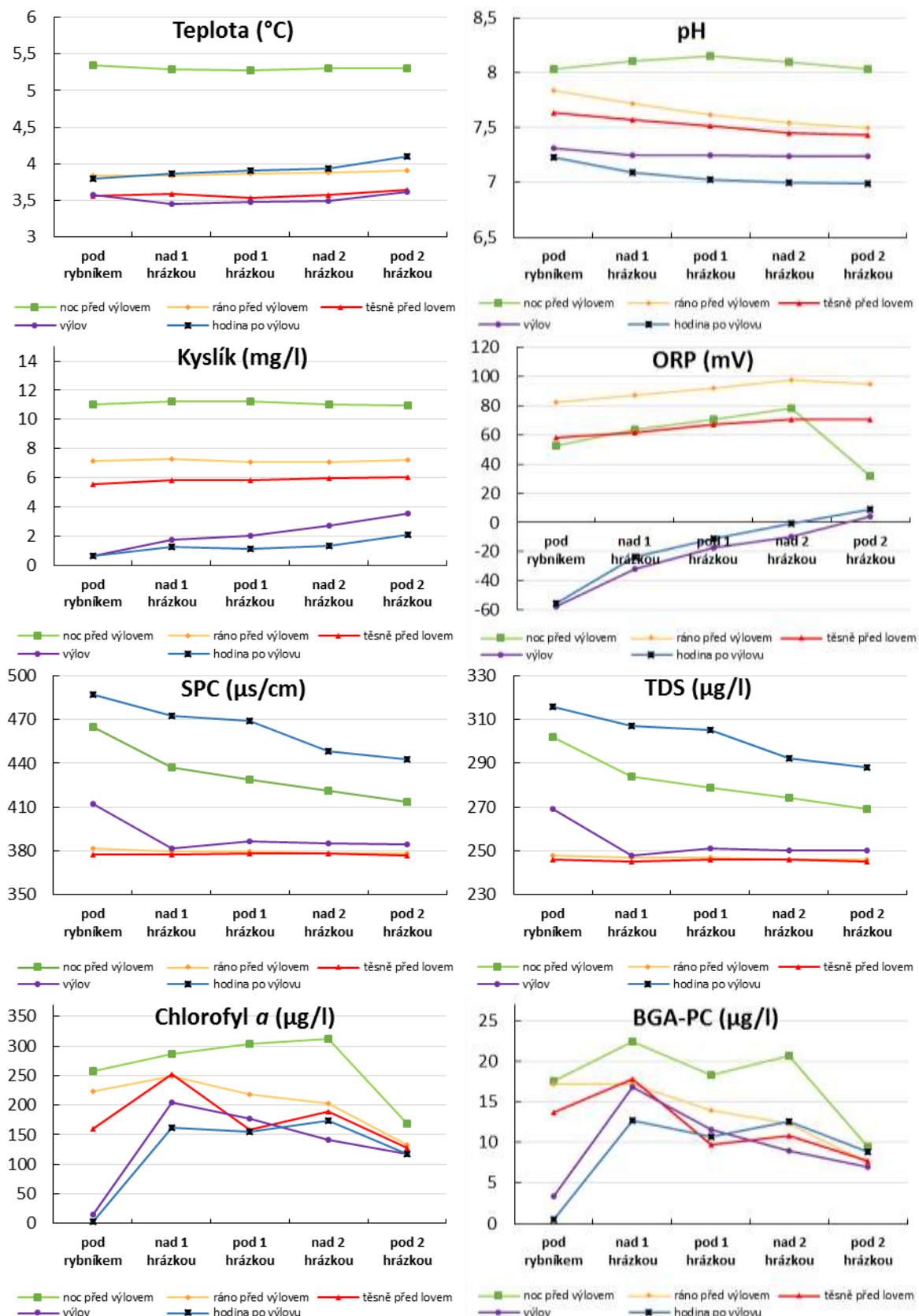
Na rybníku Pláňavy byla první hrázka postavena 32,5 m pod hrází rybníka, druhá o dalších 14 m níže, tedy 46,5 m od hráze. Více prostoru pod rybníkem nebylo k dispozici, jelikož stoka po dalších 30 m ústila do výtopy rybníka Milavy (prostor zarostlý stromy). Objem akumulované vody nad první barierou byl 19,4 m³ a nad druhou barierou 9 m³. Celkový objem akumulované vody byl tedy 28,4 m³. Teoretická doba zdržení byla v prvních dvou fázích sledování (noc před výlovem – ráno před výlovem – těsně před výlovem) 31 až 37 minut. Následně došlo k jejímu dalšímu prodloužení na 50 min. (těsně před výlovem – výlov), resp. až na 189 min. v průběhu samotného výlovu. Vlastní bariery byly postaveny ze dvou řad balíků slámy se vzájemným překryvem styčných míst. Na tomto rybníce byla poprvé instalována jutová tkanina k vystláni dna zdrže těsně nad hrázkami z důvodu potlačení podtékání hrázek. Nutno dodat, že se toto řešení plně osvědčilo. Postupně došlo průtokem vody ke kolmataci dna zdrže, které následně dokázalo udržet zbytky zachycené vody společně i s přeživšími rybami.

Základní fyzikálně chemické parametry

Celkový přehled základních fyzikálně chemických parametrů vody při průtoku barierami uvádí tabulka č. 17. Podrobnější dynamika změny je zachycena na obrázku č. 19. Teplota vody se pohybovala v noci před výlovem na úrovni 5,3 °C a do rána klesla na 3,5 °C. Hodnota pH byla průtokem přes bariery v obecné rovině mírně snižována, přičemž jeho hodnota v průběhu sledování rovněž poklesla z 8 na 7. Obsah kyslíku byl průtokem vody přes bariery mírně zvyšován. Přičemž při výlovu a po jeho ukončení vytékala z rybníku voda s obsahem O₂ jen 0,6 mg.l⁻¹, ale pod druhou barierou bylo naměřeno už 3,5, resp. 2 mg.l⁻¹. Dynamika ORP vykazovala při průtoku barierami zvyšování hodnot s výjimkou fáze „noc před výlovem“, kdy byla jeho hodnota naopak snížena. Měření v průběhu výlovu a po jeho ukončení ukázalo výrazné záporné hodnoty, které se po průtoku barierami zvýšily těsně nad nulu. V průměru došlo naopak ke snížení hodnot u SPC a TDS. Dynamika změny koncentrace Chlorofylu *a* a BGA-PC po průtoku barierami směřovala k zvyšování jejich hodnot s výjimkou posledních dvou měření, kde tomu bylo právě naopak.

Tabulka 17. Základní fyzikálně chemické parametry vody Pláňavy (průměr±SD)

| Parametr | Počet měření | Pod rybníkem | Nad 1 hrázkou | Pod 1 hrázkou | Nad 2 hrázkou | Pod 2 hrázkou | Průměr ±SD |
|---------------------------------------|--------------|---------------|---------------|---------------|---------------|---------------|--------------|
| Teplota (°C) | 5 | 4,02±0,67 | 4,01±0,66 | 4,01±0,65 | 4,03±0,66 | 4,11±0,62 | 4,04±0,65 |
| SPC (µS.cm ⁻¹) | 5 | 424,74±43,90 | 409,70±38,58 | 408,40±35,52 | 402,22±27,94 | 399,18±25,36 | 408,85±34,02 |
| TDS (µg.l ⁻¹) | 5 | 276,20±28,32 | 266,20±25,02 | 265,60±23,13 | 261,60±18,43 | 259,60±16,64 | 265,84±22,13 |
| Salinita (ppt.) | 5 | 0,21±0,02 | 0,20±0,02 | 0,20±0,02 | 0,19±0,02 | 0,19±0,01 | 0,20±0,02 |
| Kyslík (mg.l ⁻¹) | 5 | 5,00±3,97 | 5,47±3,69 | 5,45±3,64 | 5,62±3,42 | 5,98±3,09 | 5,50±3,56 |
| Kyslík (%) | 5 | 38,76±31,19 | 42,42±29,19 | 42,24±28,67 | 43,39±27,09 | 45,96±24,59 | 42,55±28,09 |
| pH | 5 | 7,61±0,30 | 7,55±0,36 | 7,51±0,38 | 7,47±0,37 | 7,44±0,34 | 7,52±0,35 |
| ORP (mV) | 5 | 16,16±60,04 | 31,40±48,94 | 40,32±45,28 | 47,16±43,59 | 41,92±35,35 | 35,39±45,92 |
| Chlor. <i>a</i> (µg.l ⁻¹) | 5 | 131,84±105,01 | 230,76±43,18 | 202,66±55,64 | 203,96±57,72 | 133,15±19,00 | 180,47±52,40 |
| BGA-PC (µg.l ⁻¹) | 5 | 10,47±7,14 | 17,42±3,08 | 12,88±3,10 | 13,11±4,02 | 8,10±0,91 | 12,39±3,13 |



Obrázek 19. Dynamika vybraných fyzikálně chemických parametrů vody na rybníku Pláňavy



Laboratorní analýza vzorku vody

Z tabulek č. 18 a 19 je patrné, že se kvalita vody v průběhu strojení a výlovu rybníka výrazně měnila. Kvalita vody v noci před výlovem a ráno před výlovem byla u všech parametrů velmi podobná s výjimkou P_{roz} , který poklesl téměř o polovinu. Hodnota BSK_5 dosahovala 25, resp. 22 mg.l^{-1} a průtokem přes bariery byla snížena velmi málo (0,0 %, resp. o 9,1 %). U $CHSK_{Cr}$, jejíž hodnoty dosáhly 140, resp. 100 mg.l^{-1} však došlo průtokem přes bariery k poněkud vyšší retenci (21,4 %, resp. 5,0 %). Koncentrace nerozpustěných látek byla ve srovnání s ostatními rybníky spíše na podprůměrné úrovni, a to výrazněji zejména ve fázi „ráno před výlovem“. Pod rybníkem dosahovaly hodnoty NL_{105} 49, resp. 46 mg.l^{-1} a pro NL_{550} 19, resp. 20 mg.l^{-1} . Jejich retence byla velmi podobná, a to na úrovni kolem 10 % s výjimkou NL_{550} ráno před výlovem, kde bylo průtokem vody přes bariery docíleno zadržení o 20,0 %. Relativně malé zachycení živin bylo v těchto prvních dvou fázích zaznamenáno rovněž pro: TN, TC, TOC, TIC, KNK_{4,5}, Ca a Fe_{roz} . Naopak záporná retence, tedy zvýšení koncentrace živin bylo zjištěno ve stejných fázích u TP a P_{roz} . Rozpuštěné železo procházelo barierami beze změny koncentrace, zatímco u Fe jako takového, došlo k určitému snížení koncentrace pod barierami o 38,1 a 22,5 %.

Těsně před výlovem došlo překvapivě k mírnému poklesu BSK_5 na 17 mg.l^{-1} , zatímco jeho retence byla negativní (-23,5 %). U $CHSK_{Cr}$ došlo k určitému zvýšení hodnoty na 140 mg.l^{-1} , ale jeho retence byla rovněž zvýšená na -28,6 %. Nerozpustěné látky sušené se zvýšily takřka čtyřnásobně na 200 mg.l^{-1} , zatímco žíhané až sedminásobně na 140 mg.l^{-1} . Retence obou parametrů byla vysoká 68 % a 75 %. Podobné výsledky byly zjištěny rovněž u Fe, které vzrostlo takřka sedminásobně na $6,9 \text{ mg.l}^{-1}$, při retenci 69,6 %. Poněkud nižší snížení koncentrace pod barierami o 34,3 %; 33,3 %; 25,4 %; 19,4 % a 15,9 % bylo zjištěno u TP; TIC; TC; TOC a TN, jejichž obsah ve vodě pod rybníkem se zvýšil v porovnání s předchozími fázemi méně výrazně. Naproti tomu velmi malá retence, resp. změna těsně nad 4 %, byla zjištěna u Ca, resp. KNK_{4,5}, jejichž koncentrace se rovněž na výtoku z rybníka nepatrně zvýšily. U rozpuštěných forem železa a fosforu byly změny v koncentraci malé, ale jejich retence byla opět negativní (-18,2 % a -88,4 %).

Výlov rybníku probíhal pomocí vatky a byly provedeny dva zá tahy. Zbytek ryb byl doloven na kesery. V rybníce byl velký výskyt podetřených plevelních ryb, které svými těly ucpávaly mříž v požeráku. Ta musela být nepřetržitě čištěna. Kvalita vody vytékající z rybníka v průběhu výluvu se zhoršila velmi výrazně. Koncentrace nerozpustěných látek a TP vzrostla přibližně 60x na $11\,000 \text{ mg.l}^{-1}$ u NL_{105} , $8\,800 \text{ mg.l}^{-1}$ u NL_{550} a 48 mg.l^{-1} u TP. Na druhou stranu však byla zjištěna retence pod barierami na úrovni 99 %. Takřka 20x došlo rovněž ke zvýšení u BSK_5 na 330 mg.l^{-1} , zatímco u $CHSK_{Cr}$ to bylo až 39násobné zvýšení na $5\,500 \text{ mg.l}^{-1}$. Podobně vysoký nárůst by zaznamenán taky u TOC 1 100 mg.l^{-1} (35x) a TN 120 mg.l^{-1} (27x). Ve všech případech však byla retence velmi vysoká na úrovni 93,6 % až 97,4 %. Koncentrace celkového uhlíku se zvýšila je 16násobně ($1\,100 \text{ mg.l}^{-1}$) a vápníku pouze 9,5x (410 mg.l^{-1}). Jejich retence však byla rovněž velmi vysoká (95 % a 90 %). Nejvyšší nárůst koncentrace, více než stonásobný, byl zjištěn pro Fe (750 mg.l^{-1}). Avšak jeho zadržení bylo takřka absolutní (99,72 %). Naopak k nejmenšímu zvýšení koncentrace došlo u TIC (o 9 %) a KNK_{4,5} (o 39 %). Jejich retence však byla ve srovnání s ostatními parametry výrazně nižší a to pouze 26,5 % a -31,3 %. Opět velmi specifický byl výsledek průtoku nerozpustěných forem fosforu a dusíku barierami. Zatímco koncentrace P_{roz} se prakticky nezměnila, jeho retence zůstala i nadále negativní, ale o polovinu méně (-42,9 %) ve srovnání s předchozí fází. Naproti tomu koncentrace Fe_{roz} poklesla o více než polovinu na $0,05 \text{ mg.l}^{-1}$, ale jeho retence byla opět negativní, a to mnohem výrazněji (-100 %).



Fáze „hodina po výlovu“ přinesla opět překvapení v podobě poklesu koncentrace všech sledovaných parametrů s výjimkou TIC, resp. KNK_{4,5}, kde naopak nastalo jejich zvýšení o 347 %, resp. 15,6 %. Důvodem byl malý objem vody vytékající z rybníku, která fakticky stačila z části sedimentovat již v prostoru vývařiště, kde byl odebírána vzorek A. Vývařiště se tak chovalo obdobně jako loviště na rybníku Vrbice. Naměřené koncentrace zůstávaly stále velmi vysoké BSK₅ 94 mg.l⁻¹, CHSK_{Cr} 4900 mg.l⁻¹, NL₁₀₅ 9800 mg.l⁻¹, TN 99 mg.l⁻¹, TP 31 mg.l⁻¹, TOC 830 mg.l⁻¹, TC 1 000 mg.l⁻¹ a Fe 520 mg.l⁻¹. Jejich snížení průtokem vody barierami však bylo stále velmi vysoké a to na úrovni 75,5 % až 99,3 %.

Tabulka 18. Laboratorní výsledky kvality vody Pláňavy

| Parametr | Vzorek | Profil A pod rybníkem | Profil B pod hrázou | Rozdíl (%) |
|---------------------------------------------------|--------------------|-----------------------------|---------------------------|---------------------|
| BSK₅ (mg.l ⁻¹) | noc před výlovem | 25 | 25 | 0,00 |
| | ráno před výlovem | 22 | 20 | -9,09 |
| | těsně před výlovem | 17 | 21 | 23,53 |
| | výlov | 330 | 21 | -93,64 |
| | hodina po výlovu | 94 | 23 | -75,53 |
| | průměr±SD | 97,60±119,59 | 22,00±1,79 | -77,46±45,43 |
| CHSK_{Cr} (mg.l ⁻¹) | noc před výlovem | 140 | 110 | -21,43 |
| | ráno před výlovem | 100 | 95 | -5,00 |
| | těsně před výlovem | 140 | 100 | -28,57 |
| | výlov | 5 500 | 140 | -97,45 |
| | hodina po výlovu | 4 900 | 130 | -97,35 |
| | průměr±SD | 2 156,00±2 492,60 | 115,00±17,32 | -94,67±39,48 |
| NL₁₀₅ (mg.l ⁻¹) | noc před výlovem | 49 | 45 | -8,16 |
| | ráno před výlovem | 46 | 41 | -10,87 |
| | těsně před výlovem | 200 | 64 | -68,00 |
| | výlov | 11 000 | 78 | -99,29 |
| | hodina po výlovu | 9 800 | 110 | -98,88 |
| | průměr±SD | 4 219,00±5 061,32 | 67,60±25,05 | -98,40±40,44 |
| NL₅₅₀ (mg.l ⁻¹) | noc před výlovem | 19 | 17 | -10,53 |
| | ráno před výlovem | 20 | 16 | -20,00 |
| | těsně před výlovem | 140 | 35 | -75,00 |
| | výlov | 8 800 | 41 | -99,53 |
| | hodina po výlovu | 8 000 | 57 | -99,29 |
| | průměr±SD | 3 395,80±4 093,97 | 33,20±15,42 | -99,02±38,41 |
| TN (mg.l ⁻¹) | noc před výlovem | 4,1 | 4,1 | 0,00 |
| | ráno před výlovem | 3,7 | 3,4 | -8,11 |
| | těsně před výlovem | 4,4 | 3,7 | -15,91 |
| | výlov | 120 | 4,7 | -96,08 |
| | hodina po výlovu | 99 | 7,1 | -92,83 |
| | průměr±SD | 46,24±52,08 | 4,60±1,32 | -90,05±42,66 |
| TP (mg.l ⁻¹) | noc před výlovem | 0,34 | 0,37 | 8,82 |
| | ráno před výlovem | 0,37 | 0,39 | 5,41 |
| | těsně před výlovem | 0,73 | 0,48 | -34,25 |
| | výlov | 48 | 0,52 | -98,92 |
| | hodina po výlovu | 31 | 0,82 | -97,35 |
| | průměr±SD | 16,09±19,86 | 0,52±0,16 | -96,79±47,30 |
| P rozpušený (mg.l ⁻¹) | noc před výlovem | 0,13 | 0,11 | -15,38 |
| | ráno před výlovem | 0,08 | 0,13 | 62,50 |
| | těsně před výlovem | 0,069 | 0,13 | 88,41 |
| | výlov | 0,07 | 0,1 | 42,86 |
| | hodina po výlovu | 0,054 | 0,15 | 177,78 |



| | průměr±SD | 0,08±0,03 | 0,12±0,02 | 53,85±63,29 |
|--|-----------|-----------|-----------|-------------|
|--|-----------|-----------|-----------|-------------|

Tabulka 19. Laboratorní výsledky kvality vody Pláňavy

| Parametr | Vzorek | Profil A pod rybníkem | Profil B pod 2 hrázou | Rozdíl (%) |
|-----------------------------------------------|--------------------|-----------------------------|-----------------------------|---------------------|
| TOC (mg.l ⁻¹) | noc před výlovem | 28 | 29 | 3,57 |
| | ráno před výlovem | 25 | 23 | -8,00 |
| | těsně před výlovem | 31 | 25 | -19,35 |
| | výlov | 1 100 | 29 | -97,36 |
| | hodina po výlovu | 830 | 28 | -96,63 |
| | průměr±SD | 402,80±466,91 | 26,80±2,40 | -93,35±44,23 |
| TIC (mg.l ⁻¹) | noc před výlovem | 28 | 28 | 0,00 |
| | ráno před výlovem | 32 | 30 | -6,25 |
| | těsně před výlovem | 45 | 30 | -33,33 |
| | výlov | 49 | 36 | -26,53 |
| | hodina po výlovu | 170 | 50 | -70,59 |
| | průměr±SD | 64,80±53,18 | 34,80±8,06 | -46,30±24,90 |
| TC (mg.l ⁻¹) | noc před výlovem | 55 | 54 | -1,82 |
| | ráno před výlovem | 52 | 51 | -1,92 |
| | těsně před výlovem | 67 | 50 | -25,37 |
| | výlov | 1 100 | 55 | -95,00 |
| | hodina po výlovu | 1 000 | 72 | -92,80 |
| | průměr±SD | 451,80±487,03 | 56,40±8,01 | -87,60±42,14 |
| KNK _{4,5} (mmol.l ⁻¹) | noc před výlovem | 2,3 | 2,2 | -4,35 |
| | ráno před výlovem | 2,2 | 2,2 | 0,00 |
| | těsně před výlovem | 2,3 | 2,2 | -4,35 |
| | výlov | 3,2 | 2,2 | -31,25 |
| | hodina po výlovu | 3,7 | 2,9 | -21,62 |
| | průměr±SD | 2,74±0,60 | 2,34±0,28 | -14,60±12,03 |
| Ca (mg.l ⁻¹) | noc před výlovem | 45 | 45 | 0,00 |
| | ráno před výlovem | 40 | 39 | -2,50 |
| | těsně před výlovem | 43 | 41 | -4,65 |
| | výlov | 410 | 40 | -90,24 |
| | hodina po výlovu | 280 | 47 | -83,21 |
| | průměr±SD | 163,60±153,72 | 42,40±3,07 | -74,08±41,41 |
| Fe (mg.l ⁻¹) | noc před výlovem | 1,1 | 0,68 | -38,18 |
| | ráno před výlovem | 1,2 | 0,93 | -22,50 |
| | těsně před výlovem | 6,9 | 2,1 | -69,57 |
| | výlov | 750 | 2,1 | -99,72 |
| | hodina po výlovu | 520 | 3,4 | -99,35 |
| | průměr±SD | 255,84±318,02 | 1,84±0,97 | -99,28±31,39 |
| Ferozpušný (mg.l ⁻¹) | noc před výlovem | 0,13 | 0,13 | 0,00 |
| | ráno před výlovem | 0,11 | 0,11 | 0,00 |
| | těsně před výlovem | 0,11 | 0,13 | 18,18 |
| | výlov | 0,05 | 0,10 | 100,00 |
| | hodina po výlovu | 0,06 | 0,09 | 50,00 |
| | průměr±SD | 0,09±0,03 | 0,11±0,02 | 21,74±37,88 |

Bilance živin

Vypočtené bilance pro vybrané parametry ukazuje obrázek 20. Nerozpuštěné látky sušené dosáhly vysoké úrovně záchytu 77,0 %, resp. žíhané 85,0 %. Na vyšší úrovni 61 % byla zjištěna rovněž retence TP. Poněkud nižší však byla vypočtena retence TOC (32,8 %) a TN (28,3 %). Překvapivě pozitivní retence byla zjištěna rovněž pro Ca_{rozp}. (10,3 %) a P_{rozp}. (4,0 %). Retence dalších parametrů uvádí tabulka 20.

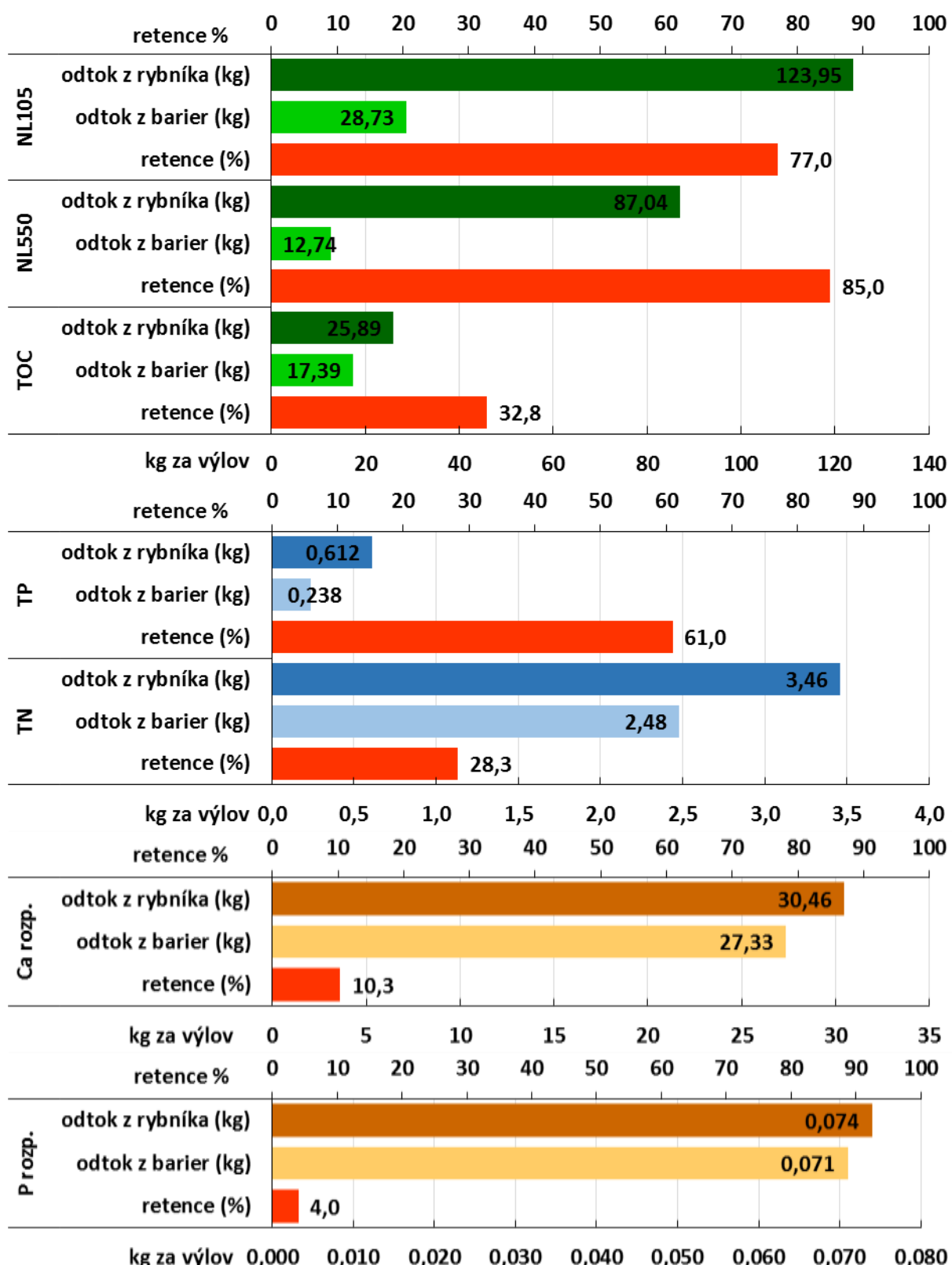


Tabulka 20. Přehled bilance vybraných parametrů kvality vody a živin na rybníku Pláňavy

| Parametr | BSK _s | CHSK _{Cr} | TC | TIC | Fe |
|---------------------------|------------------|--------------------|-------|-------|------|
| Přítok z rybníku (kg) | 17,44 | 126,60 | 42,88 | 18,68 | 6,92 |
| Odtok pod 2 barierou (kg) | 14,72 | 67,10 | 33,28 | 17,80 | 0,52 |
| Retence (kg) | 2,72 | 59,50 | 9,60 | 0,88 | 6,40 |
| Retence (%) | 15,6 | 47,0 | 22,4 | 4,7 | 92,5 |

Zkušenosti a postřehy

Výsledky získané na rybníku Pláňavy je možné považovat za nejlepší ze všech sledovaných rybníků. Situace pod rybníkem byla pro stavbu hrázek ideální po všech stránkách. Vystláni prostoru před barierami jutovou tkaninou pomohlo snížit problémy s podtekáním hrázek. Na tomto rybníce bariery opět dobře zachytily unikající střevličku východní a zamezily šíření nepůvodního druhu.



Obrázek 20. Bilance vybraných živin a chemických parametrů vody na rybníku Pláňavy



4.8 Novokoželský 2017

Budování hráze a doba zdržení

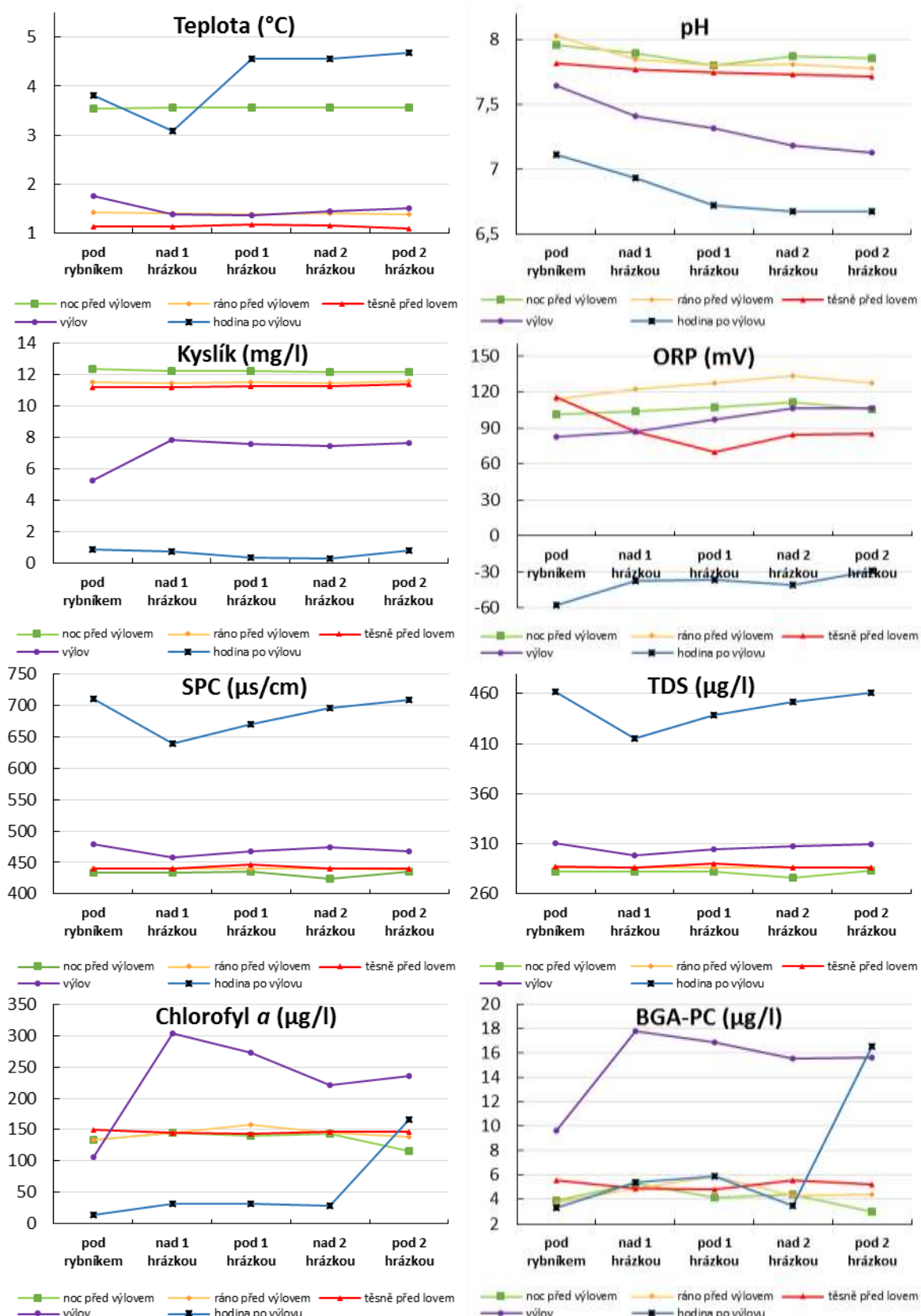
Na rybníku Novokoželský 2017 byla stoka v létě po předchozím testování kompletně vycistěna. První hrázka byla postavena 51 m pod hrází a druhá o 16,5 m níže, tedy 67,5 m od hráze. Objem první bariery byl 42,3 m³ a druhé 18,7 m³. Celkový objem obou barier byl tedy 70 m³. Teoretická doba zdržení byla mezi fázemi noc před výlovem a ráno před výlovem 65 min. Následně při intenzivním prázdnění rybníka a průtoku vody 3,86 m³.min.⁻¹ poklesla na 18 minut. V průběhu výlovu, ale opět vzrostla na 78 minut (0,9 m³.min.⁻¹). Vlastní bariery byly postaveny ze dvou řad balíků slámy se vzájemným překryvem styčných míst. Na tomto rybníce byla rovněž instalována jutová tkanina k vystláni dna zdrže těsně nad hrázkami z důvodu potlačení podtékání hráze. S ohledem na relativně velkou výšku barier a velký průtok vody však k určitému podtékání docházelo.

Základní fyzikálně chemické parametry

Celkový přehled základních fyzikálně chemických parametrů vody při průtoku barierami uvádí tabulka č. 21. Podrobnější dynamika změny je zachycena na obrázku č. 21. Teplota vody byla s ohledem na termín výlovu nízká a pohybovala se v noci před výlovem na úrovni 3,5 °C a do rána klesla pod 2 °C. Hodinu po výlovu, za jasného počasí však opět vzrostla na 3,8 °C. Hodnota pH byla průtokem přes bariery mírně snižována, přičemž jeho úroveň v průběhu celého sledování rovněž poklesla z 8 na 7,11. Obsah kyslíku byl průtokem vody přes bariery opět mírně zvyšován. Přičemž hodinu po výlovu vytékala z rybníku voda s obsahem O₂ jen 0,9 mg.l⁻¹. Dynamika ORP vykazovala při průtoku barierami zvyšování hodnot s výjimkou fáze „těsně před výlovem“, kdy byla jeho hodnota naopak snížena. Měření hodinu po výlovu ukázalo výrazné záporné hodnoty (-57,9 mV), které se průtokem barierami zmírňovaly (-28,8 mV). V průměru došlo naopak ke snižování hodnot SPC a TDS, i když se jednalo o velmi malé absolutní hodnoty. Dynamika změny koncentrace Chlorofylu *a* a BGA-PC po průtoku barierami směřovala k zvyšování jejich hodnot s výjimkou měření „noc před výlovem“ a „těsně před výlovem“, kde tomu bylo právě naopak.

Tabulka 21. Základní fyzikálně chemické parametry vody Novokoželský 2017 (průměr±SD)

| Parametr | Počet měření | Pod rybníkem | Nad 1 hrázkou | Pod 1 hrázkou | Nad 2 hrázkou | Pod 2 hrázkou | Průměr ±SD |
|---------------------------------------|--------------|---------------|---------------|---------------|---------------|---------------|--------------|
| Teplo (°C) | 5 | 2,33±1,12 | 2,11±1,01 | 2,41±1,38 | 2,43±1,38 | 2,45±1,42 | 2,35±1,25 |
| SPC (µS.cm ⁻¹) | 5 | 501,04±105,75 | 482,34±78,76 | 491,92±89,74 | 495,04±101,49 | 498,28±106,00 | 493,72±96,21 |
| TDS (µg.l ⁻¹) | 5 | 325,60±68,96 | 313,40±51,08 | 320,20±59,86 | 321,60±66,04 | 325,20±68,60 | 321,20±62,89 |
| Salinita (ppt.) | 5 | 0,24±0,05 | 0,23±0,04 | 0,24±0,05 | 0,24±0,05 | 0,24±0,05 | 0,24±0,05 |
| Kyslík (mg.l ⁻¹) | 5 | 8,25±4,45 | 8,71±4,26 | 8,60±4,44 | 8,54±4,45 | 8,73±4,27 | 8,57±4,36 |
| Kyslík (%) | 5 | 60,32±32,03 | 63,24±30,98 | 62,28±32,43 | 61,86±32,48 | 63,36±31,27 | 62,21±31,73 |
| pH | 5 | 7,71±0,33 | 7,57±0,36 | 7,48±0,42 | 7,45±0,46 | 7,43±0,46 | 7,53±0,40 |
| ORP (mV) | 5 | 71,22±65,64 | 72,60±56,55 | 72,90±57,84 | 78,82±61,98 | 79,18±55,59 | 74,94±58,96 |
| Chlor. <i>a</i> (µg.l ⁻¹) | 5 | 107,67±48,97 | 154,20±86,76 | 149,38±76,45 | 136,87±62,02 | 160,35±40,94 | 141,69±55,11 |
| BGA-PC (µg.l ⁻¹) | 5 | 5,26±2,32 | 7,68±5,06 | 7,52±4,71 | 6,69±4,48 | 8,95±5,85 | 7,22±4,05 |



Obrázek 21. Dynamika vybraných fyzikálně chemických parametrů vody na rybníku Novokozelský 2017



Laboratorní analýza vzorku vody

Z tabulek č. 22 a 23 je patrné, že se kvalita vody v průběhu strojení a výlovu rybníka výrazně měnila. Kvalita vody v noci před výlovem a ráno před výlovem byla opět u všech parametrů velmi podobná, jen s velmi malým nárůstem mezi fázemi, s výjimkou TIC a KNK_{4,5}, které naopak poklesly. Proto budou obě tyto fáze komentovány společně. Většina sledovaných ukazatelů byla ve srovnání s ostatními rybníky relativně nízká a to i přes poměrně vysokou biomasu ryb ($K_2 = 1\ 340\ kg\cdot ha^{-1}$). Důvod je možné spatřovat v nízké teplotě vody, která inhibovala pohybovou aktivitu ryb. Hodnota BSK₅ dosahovala jen 9,2 (noc před výlovem), resp. 11 mg.l⁻¹ (ráno před výlovem) a průtokem přes bariery byla změněna oběma směry (+19,6 %, resp. -9,1 %). Podobně na tom byla rovněž hodnota CHSK_{Cr}: 82, resp. 93 mg.l⁻¹ při retenci 12,2 % a 5,38 %. Koncentrace nerozpustěných látek byla ve srovnání s ostatními rybníky podprůměrná. Pod rybníkem dosahovaly hodnoty NL₁₀₅ 58, resp. 63 mg.l⁻¹ a pro NL₅₅₀ 23, resp. 31 mg.l⁻¹. Průchodem vody přes bariery však došlo paradoxně ke zvýšení naměřených hodnot.

Minimální, nebo dokonce zvýšené zachycení živin bylo zjištěno pro obě fáze vzorkování u: TN (+25,9 % a -2,9 %), TP (+2,8 % a +10,3 %), TC (-1,8 % a 0,0%), TOC (+17,4 % a 0,0 %), TIC (+5,9 % a 0,0 %), KNK_{4,5} (-3,1 % a +3,3 %), Ca (+2,2 % a -4,17 %), Fe (0,0 % a +56,0 %). Koncentrace rozpustěných forem železa nepatrne vzrostla (z 0,05 na 0,06 mg.l⁻¹), přičemž se ale výrazně změnila jeho retence Fe_{rozp.} (40,0 % a -16,7 %). Naproti tomu P_{rozp.} nevykazoval tak výrazné rozdíly, jak u své koncentrace (z 0,025 na 0,026 mg.l⁻¹), tak i u zjištěné negativní retence (-64,0 % a -57,7 %).

Těsně před výlovem došlo k dalšímu mírnému zvýšení BSK₅ na 13 mg.l⁻¹, zatímco jeho retence byla již pozitivní (24,6 %). U CHSK_{Cr} došlo již k výraznějšímu zvýšení hodnoty na 130 mg.l⁻¹ a jeho retence byla rovněž zvýšena na 29,3 %. Nerozpustěné látky sušené se zvýšily čtyřnásobně na 250 mg.l⁻¹, zatímco žíhané až 5,5krát na 170 mg.l⁻¹. Retence obou parametrů byla již vysoká 62,0 % a 65,9 %. Podobné výsledky byly zjištěny rovněž u Fe, které vzrostlo čtyřnásobně na 10,0 mg.l⁻¹, při retenci 54,0 %. Větší než dvojnásobné zvýšení koncentrace v této fázi bylo zjištěno u TP (0,88 mg.l⁻¹) a to při značné retenci 51,1 %. Malé zvýšení koncentrace na úrovni 30 až 60 % ve srovnání s rámem před výlovem, bylo zjištěno u TN, TOC, TIC a TC. Pokles jejich obsahu ve vodě po průtoku barierami byl však spíše menší, a to na úrovni 20,0 až 35,9 %. Naproti tomu koncentrace Ca, resp. KNK_{4,5} se zvýšily rovněž nepatrne, ale jejich retence byla velmi malá 6,0 %, resp. 0,0 %. Množství unikajícího P_{rozp.} z rybníku opět nepatrne vzrostlo (z 0,026 na 0,029 mg.l⁻¹), ale jeho negativní retence opět poklesla (-27,6 %). Koncentrace Fe_{rozp.} se však vůbec nezměnila, ale jeho retence byla nulová.

Kvalita vody vytékající z rybníka v průběhu výlovu se opět výrazně zhoršila. Koncentrace nerozpustěných látek vzrostla přibližně 25x, resp. u TP až 35x na 5 900 mg.l⁻¹ u NL₁₀₅; 4 400 mg.l⁻¹ u NL₅₅₀ a 31 mg.l⁻¹ u TP. Na druhou stranu však byla zjištěna jejich retence pod barierami na úrovni kolem 95 %. K více než desetinásobnému zvýšení koncentrací ve srovnání s fází „těsně před výlovem“ došlo při samotném výlovu rovněž u BSK₅ (180 mg.l⁻¹), CHSK_{Cr} (2 000 mg.l⁻¹) a TOC (630 mg.l⁻¹). Výrazně se však rovněž zvýšil rovněž jejich záchyt při průtoku barierami a to na úroveň 90,0 %, 86,5 % a 91,3 %. Nejvyšší nárůst koncentrace, a to 47násobný, však byl zaznamenán pro Fe (470 mg.l⁻¹). Jeho zadržení barierami však bylo velmi vysoké (97,02 %). Několikanásobně došlo rovněž ke zvýšení koncentrací u TC (750 mg.l⁻¹; 8,9x), Ca (230 mg.l⁻¹; 4,6x) a TIC (230 mg.l⁻¹; 4,3x) a to vše při retenci nad 77 %. Malý nárůst zvýšení koncentrací při výlovu, na úrovni 20, resp. 40 % ve srovnání s výše uvedenými parametry byl naopak zaznamenán u KNK_{4,5}, resp. TN. Jejich retence však byla odlišná (10,8 %, resp. -27,9 %). Specifický byl výsledek průtoku nerozpustěných forem fosforu a dusíku barierami. Koncentrace P_{rozp.} se mírně zvýšila



společně s jeho negativní retencí (-29,0 %) ve srovnání s předchozí fází. Naproti tomu koncentrace Fe_{rozp.} poklesla o třetinu na 0,04 mg.l⁻¹, ale jeho zadržení bylo naopak pozitivní (25,0 %).

Tabulka 22. Laboratorní výsledky kvality vody Novokoželský 2017

| Parametr | Vzorek | Profil A pod rybníkem | Profil B pod 2 hrázou | Rozdíl (%) |
|-------------------------------------------------------|--------------------|-----------------------------|-----------------------------|---------------------|
| BSK₅ (mg.l ⁻¹) | noc před výlovem | 9,2 | 11 | 19,57 |
| | ráno před výlovem | 11 | 10 | -9,09 |
| | těsně před výlovem | 13 | 9,8 | -24,62 |
| | výlov | 180 | 18 | -90,00 |
| | hodina po výlovu | 430 | 79 | -81,63 |
| | průměr±SD | 128,64±164,28 | 25,56±26,89 | -80,13±42,27 |
| CHSK_{Cr} (mg.l ⁻¹) | noc před výlovem | 82 | 92 | 12,20 |
| | ráno před výlovem | 93 | 88 | -5,38 |
| | těsně před výlovem | 130 | 92 | -29,23 |
| | výlov | 2 000 | 270 | -86,50 |
| | hodina po výlovu | 7 600 | 2 300 | -69,74 |
| | průměr±SD | 1 981,00±2 904,15 | 568,40±868,58 | -71,31±37,40 |
| NL₁₀₅ (mg.l ⁻¹) | noc před výlovem | 58 | 61 | 5,17 |
| | ráno před výlovem | 63 | 84 | 33,33 |
| | těsně před výlovem | 250 | 95 | -62,00 |
| | výlov | 5 900 | 300 | -94,92 |
| | hodina po výlovu | 17 000 | 4 800 | -71,76 |
| | průměr±SD | 4 654,20±6 566,15 | 1 068,0±1 867,98 | -77,05±48,80 |
| NL₅₅₀ (mg.l ⁻¹) | noc před výlovem | 23 | 24 | 4,35 |
| | ráno před výlovem | 31 | 48 | 54,84 |
| | těsně před výlovem | 170 | 58 | -65,88 |
| | výlov | 4 400 | 190 | -95,68 |
| | hodina po výlovu | 13 000 | 3 600 | -72,31 |
| | průměr±SD | 3 524,80±5 025,32 | 784,00±1 409,19 | -77,76±55,94 |
| TN (mg.l ⁻¹) | noc před výlovem | 2,7 | 3,4 | 25,93 |
| | ráno před výlovem | 3,4 | 3,3 | -2,94 |
| | těsně před výlovem | 4,5 | 3,6 | -20,00 |
| | výlov | 6,1 | 7,8 | 27,87 |
| | hodina po výlovu | 230 | 76 | -66,96 |
| | průměr±SD | 49,34±90,34 | 18,82±28,64 | -61,86±34,87 |
| TP (mg.l ⁻¹) | noc před výlovem | 0,36 | 0,37 | 2,78 |
| | ráno před výlovem | 0,39 | 0,43 | 10,26 |
| | těsně před výlovem | 0,88 | 0,43 | -51,14 |
| | výlov | 31 | 1,2 | -96,13 |
| | hodina po výlovu | 83 | 13 | -84,34 |
| | průměr±SD | 23,13±32,18 | 3,09±4,97 | -86,66±43,65 |
| P_{rozpušený} (mg.l ⁻¹) | noc před výlovem | 0,025 | 0,041 | 64,00 |
| | ráno před výlovem | 0,026 | 0,041 | 57,69 |
| | těsně před výlovem | 0,029 | 0,037 | 27,59 |
| | výlov | 0,031 | 0,040 | 29,03 |
| | hodina po výlovu | 0,019 | 0,018 | -5,26 |
| | průměr±SD | 0,03±0,00 | 0,04±0,01 | 36,15±24,77 |

Fáze „hodina po výlovu“, kdy zůstal požerák zcela otevřen, přinesla standardní zvýšení koncentrace všech sledovaných parametrů s výjimkou P_{rozp.} a Fe_{rozp.}, které naopak poklesly. Zatímco se většina parametrů (NL₁₀₅ – 17 000 mg.l⁻¹, NL₅₅₀ – 13 000 mg.l⁻¹, TP – 83 mg.l⁻¹, TOC – 2 200 mg.l⁻¹, TIC – 550 mg.l⁻¹, TC – 2 500 mg.l⁻¹, Ca – 550 mg.l⁻¹, Fe – 1 300 mg.l⁻¹,



BSK_5 – 430 mg.l⁻¹ a CHSK_{Cr} – 7 600 mg.l⁻¹) zvýšila zhruba trojnásobně u $\text{KNK}_{4,5}$ to bylo jen o 60 %. Nicméně zadržení všech výše uvedených látek bylo velmi vysoké (67 až 84 %). Poněkud překvapivý byl opět výsledek $\text{P}_{\text{rozp.}}$, jehož koncentrace poklesla a retence byla lehce pozitivní (5,3 %). Naproti tomu koncentrace $\text{Fe}_{\text{rozp.}}$ rovněž poklesla, ale průtokem vody barierami byla jeho koncentrace extrémně navýšená (-11 233 %).

Tabulka 23. Laboratorní výsledky kvality vody Novokoželský 2017

| Parametr | Vzorek | Profil A | Profil B | Rozdíl |
|-------------------------------------------------------|--------------------|----------------------|----------------------|--------------------------|
| | | pod rybníkem | pod 2 hrázou | (%) |
| TOC (mg.l ⁻¹) | noc před výlovem | 23 | 27 | 17,39 |
| | ráno před výlovem | 26 | 26 | 0,00 |
| | těsně před výlovem | 39 | 28 | -28,21 |
| | výlov | 630 | 55 | -91,27 |
| | hodina po výlovu | 2 200 | 550 | -75,00 |
| | průměr±SD | 583,60±841,03 | 137,20±206,69 | -76,49±41,91 |
| TIC (mg.l ⁻¹) | noc před výlovem | 34 | 36 | 5,88 |
| | ráno před výlovem | 33 | 33 | 0,00 |
| | těsně před výlovem | 53 | 34 | -35,85 |
| | výlov | 230 | 52 | -77,39 |
| | hodina po výlovu | 550 | 120 | -78,18 |
| | průměr±SD | 180,00±199,23 | 55,00±33,23 | -69,44±36,16 |
| TC (mg.l ⁻¹) | noc před výlovem | 57 | 56 | -1,75 |
| | ráno před výlovem | 59 | 59 | 0,00 |
| | těsně před výlovem | 84 | 63 | -25,00 |
| | výlov | 750 | 100 | -86,67 |
| | hodina po výlovu | 2 500 | 590 | -76,40 |
| | průměr±SD | 690,00±942,95 | 173,60±208,81 | -74,84±36,80 |
| KNK_{4,5} (mmol.l ⁻¹) | noc před výlovem | 3,2 | 3,1 | -3,13 |
| | ráno před výlovem | 3,0 | 3,1 | 3,33 |
| | těsně před výlovem | 3,1 | 3,1 | 0,00 |
| | výlov | 3,7 | 3,3 | -10,81 |
| | hodina po výlovu | 5,9 | 5,1 | -13,56 |
| | průměr±SD | 3,78±1,09 | 3,54±0,78 | -6,35±6,40 |
| Ca (mg.l ⁻¹) | noc před výlovem | 46 | 47 | 2,17 |
| | ráno před výlovem | 48 | 46 | -4,17 |
| | těsně před výlovem | 50 | 47 | -6,00 |
| | výlov | 230 | 52 | -77,39 |
| | hodina po výlovu | 550 | 120 | -78,18 |
| | průměr±SD | 184,80±195,74 | 62,40±28,88 | -66,23±36,90 |
| Fe (mg.l ⁻¹) | noc před výlovem | 2 | 2 | 0,00 |
| | ráno před výlovem | 2,5 | 3,9 | 56,00 |
| | těsně před výlovem | 10 | 4,6 | -54,00 |
| | výlov | 470 | 14 | -97,02 |
| | hodina po výlovu | 1 300 | 210 | -83,85 |
| | průměr±SD | 356,90±504,80 | 46,90±81,66 | -86,86±56,74 |
| Fe_{rozpušný} (mg.l ⁻¹) | noc před výlovem | 0,05 | 0,07 | 40,00 |
| | ráno před výlovem | 0,06 | 0,05 | -16,67 |
| | těsně před výlovem | 0,06 | 0,06 | 0,00 |
| | výlov | 0,04 | 0,03 | -25,00 |
| | hodina po výlovu | 0,03 | 3,4 | 11 233,33 |
| | průměr±SD | 0,05±0,01 | 0,72±1,34 | 1 404,17±4 493,56 |



Bilance živin

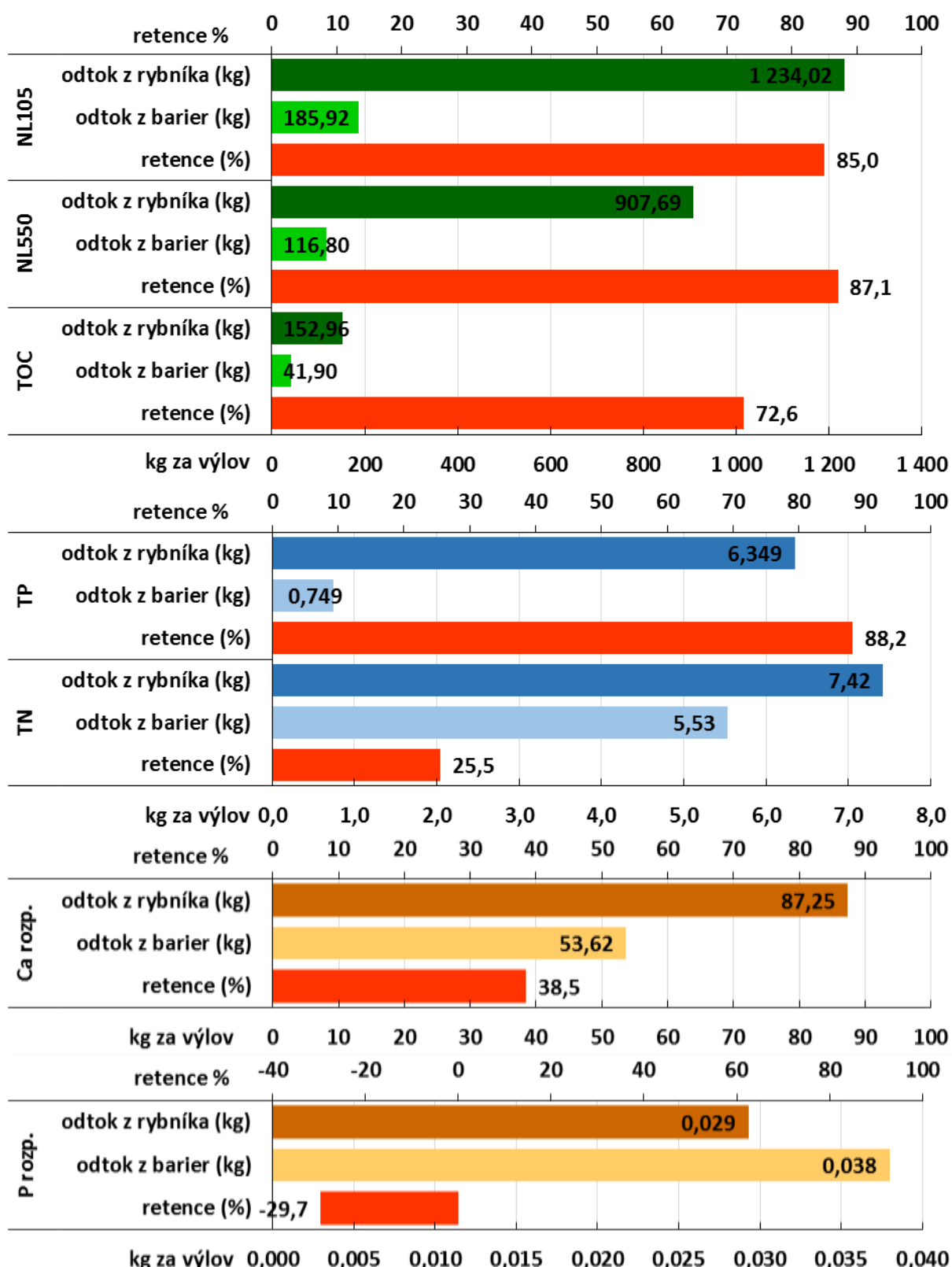
Vypočtené bilance pro vybrané parametry ukazuje obrázek 22. Záchyt nerozpuštěných látok sušených dosáhl vysoké úrovně 85,0 % a žíhaných až 87,1 %. Velmi vysoká, až 88,2 % byla rovněž retence TP, zatímco u TOC to bylo poněkud nižší (72,6 %). Výrazně nižší však byla vypočtena retence TN 25,5 %. Překvapivě pozitivní a pro rozpuštěnou formu vcelku vysoká byla zjištěna retence Ca_{rozp.} (38,5 %). Naproti tomu P_{rozp.} vykázal -29,7 % uvolnění. Velmi vysokou retence dalších parametrů uvádí tabulka 24.

Tabulka 24. Přehled bilance vybraných parametrů kvality vody a živin na rybníku Pláňavy

| Parametr | BSK _s | CHSK _{Cr} | TC | TIC | Fe |
|---------------------------|------------------|--------------------|--------|-------|-------|
| Přítok z rybníku (kg) | 43,24 | 503,00 | 209,45 | 78,34 | 93,58 |
| Odtok pod 2 barierou (kg) | 13,18 | 160,70 | 78,55 | 42,47 | 8,04 |
| Retence (kg) | 29,44 | 342,30 | 130,90 | 35,87 | 85,54 |
| Retence (%) | 68,1 | 68,1 | 62,5 | 45,8 | 91,4 |

Zkušenosti a postřehy

Výsledky získané na rybníku Novokoželský 2017 ukazují obdobně jako Pláňavy na dobré fungování barier opatřených jutovou tkaninou. Bylo docíleno vysoké bilance zachycení takřka všech živin. Zvýšené uvolnění P_{rozp.} v celkové bilanci však naznačuje, že k jeho uvolňování dochází při vyšších průtocích vody (intenzivní vypouštění rybníku), které způsobují turbulence usnadňující prostup fosforu z partikulí do vody. Podobně vysokou negativní bilanci záchytu látek je možné pozorovat i u ostatních rybníků, které byly v některé fázi strojení vypouštěny na maximum (Podsilničný, Ouhlín, Brdský a Vrbice). Z tohoto důvodu, jakož i pro optimální fungování hráze (ztráta objemu vody při nízkém průtoku / živelné přelévání koruny hráze při max. prázdnění), je žádoucí docílit při strojení rybníků kontinuální a vyrovnaný odtok vody. Je potřeba zamezit extrémním stavům, kdy např. voda z rybníka přes noc neodteká, aby následně byla ráno puštěna na maximum. K této věci je nutno dodat, že manipulace s vodou je do značné míry ovlivněna časovými možnostmi strojíče (účast na výlovech / nakládka ryb / odpočinek), podmínkami na strojení (maringotka / auto), jakož i finančním ohodnocením přípravy rybníka k výlovu. Jelikož je období výlovu dlouhé, fyzicky namáhavé a časově náročné je logickou snahou strojíče splnit uložené úkoly co nejfektivněji a minimalizovat ztrátu osobního volna. Rybník Novokoželský, který je v prostoru loviště výrazněji zabahněný, měl ze sanitárních důvodů po výlovu otevřenou výpust a jeho loviště bylo rovněž vyvezeno. Díky této skutečnosti bariery ve stope pod rybníkem zachytily další unikající bahno i po ukončení našeho sledování. Za několik dní byly naplněny do své maximální kapacity. Tuto skutečnost názorně dokládá i objem vytěženého sedimentu (2016 – 49 m³, 2017 – 55,5 m³).



Obrázek 22. Bilance vybraných živin a chemických parametrů vody na rybníku Novokoželský 2017



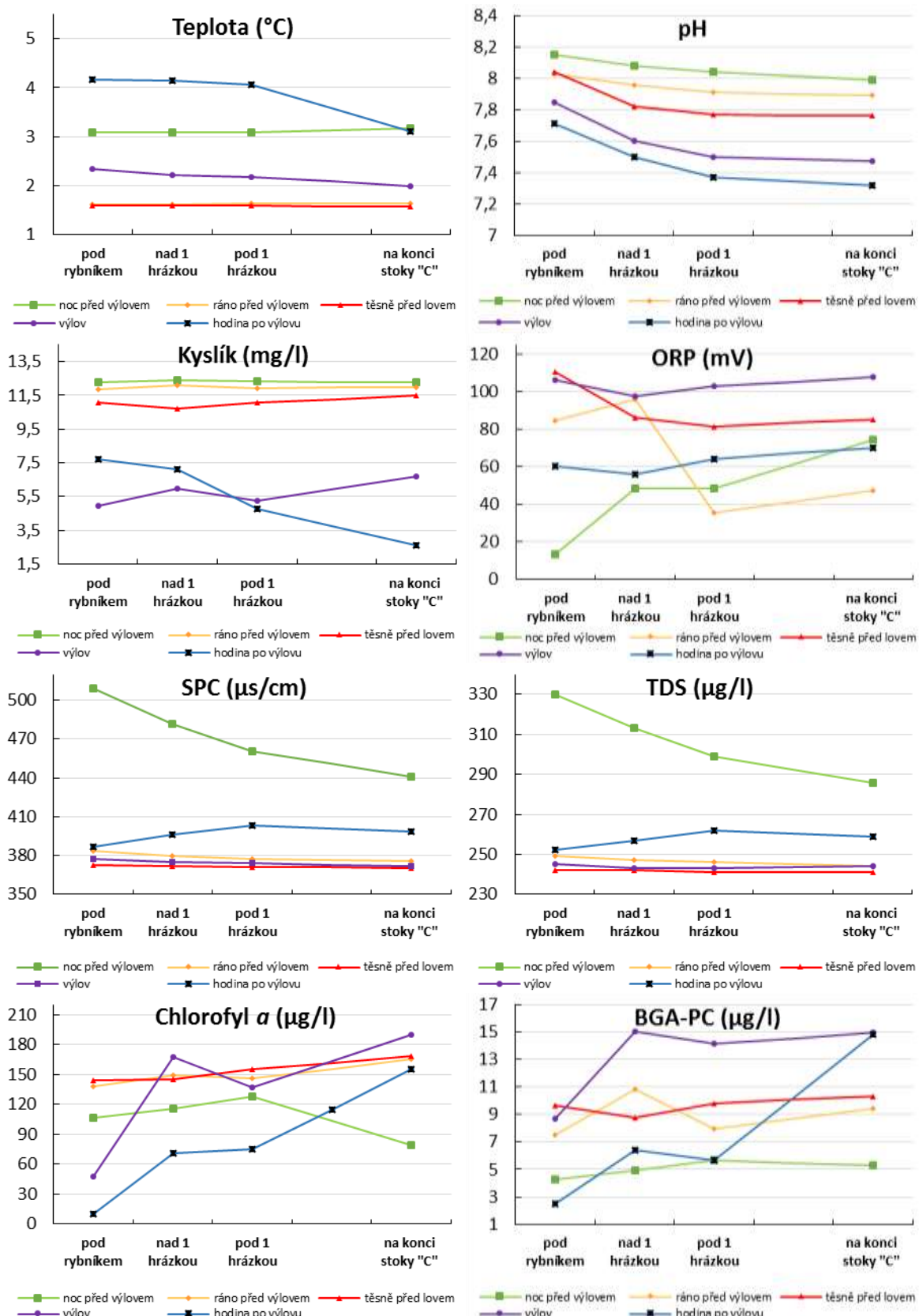
4.9 Mokrý 2017

Budování hráze a doba zdržení

Rybniční Mokrý, který byl posledním testovaným rybníkem, přinesl zcela mimořádnou a neočekávanou situaci. Přibližně 150 m pod jeho hrází začíná výtopa níže položeného rybníka (Starý Čekanický), který není v užívání Blatenské ryby spolu s r.o. Stoka mezi oběma rybníky je poměrně široká a hluboká a vyznačuje se velmi malým spádem. Na podzim 2016 byla kompletně vyčištěna. Je-li níže položený rybník na plné vodě, jeho výtopa zasahuje až do vývařiště rybníka Mokrý. Proto bylo předem s majitelem dotčeného rybníka smluveno, že jeho rybník bude prázdný a stoka pod Mokrým rybníkem bude bez vody. Tento slib však nebyl naplněn. Starý Čekanický rybník byl sice vypouštěn, ale nedokázal odvést velké množství vody přítékající z Mokrého rybníka. Za této situace se ukázalo nemožné postavit plně hodnotné hrázky, jak tomu bylo u předchozích rybníků. Hlubokou stoku bylo možné překonat jen na jednom místě, kde byla 47 m od hráze přes stoku stará myslivecká lávka. Před ní jsme se pokusili vybudovat první barieru. To se zcela nepodařilo, neboť fixačními prostředky, které byly k dispozici, se nám podařilo překonat vztlak pouze dvou balíku slámy. K zahrazení celé výšky profilu stoky bylo zapotřebí balíky tři. S tímto omezením byl přesto tok stoky přehrazen dvěma řadami balíků slámy, které plavaly u hladiny, takže nade dnem nebylo koryto stoky uzavřeno. Za této situace nebylo technicky možné ani použití jutové tkaniny. Nicméně i takováto nedokonalá hrázka částečně fungovala, neboť dokázala zvýšit výšku vody nad barierou při větším průtoku o 5 až 10 cm. Druhou barieru s ohledem na šířku a hloubku stoky nebylo technicky možné postavit vůbec. Přes tyto nestandardní podmínky, bylo přistoupeno ke vzorkování, neboť přece jen ke vzdutí a akumulaci vody ve stoce došlo, i když ne zcela díky barierám z balíku slámy. Možnost sedimentace zde byla vytvořena. Pod první barierou byly odebrány vzorky vody s označením „profil B“, zatímco o dalších 51,5 m níže, kde měla být postavena druhá bariera, byl vzorkován „profil C“. Jeho výsledky jsou pak srovnávány obdobně jako profily B ostatních rybníků. Pro kontrolu byl po výlovu rybníku Mokrý odebrán rovněž ověřovací vzorek vody z rybníku Starý Čekanický, který je označený jako „profil D“. Objem akumulované vody nad první barierou byl 34,6 m³ a mezi profilem B a C dalších 72,6 m³. Celkový objem akumulované vody mezi hrázemi a profilem C byl tedy 107,2 m³. Teoretická doba zdržení vody byla vypočtena za noc před výlovem na 12 min (odtok 8,95 m³.min.⁻¹). Ve fázi „těsně před výlovem“ došlo k jejímu prodloužení na 46 minut (odtok 2,33 m³.min.⁻¹) a v průběhu výlovu dokonce takřka 325 min (odtok 0,33 m³.min.⁻¹).

Základní fyzikálně chemické parametry

Celkový přehled základních fyzikálně chemických parametrů vody při průtoku barierami uvádí tabulka č. 25. Podrobnější dynamika změny je zachycena na obrázku č. 23. Teplota vody byla s ohledem na termín výlovu nízká a pohybovala se v noci před výlovem na úrovni 3 °C a do rána klesla na 1,6 °C. Hodinu po výlovu však opět vzrostla na 4,17 °C. Hodnota pH byla průtokem přes barriery ve všech případech mírně snižována, přičemž jeho úroveň v průběhu celého sledování plynule poklesla z 8,15 na 7,71. Obsah kyslíku byl při průtoku vody stokou mírně zvyšován, nicméně hodinu po výlovu došlo naopak k jeho poklesu. Dynamika ORP vykazovala spíše zvyšování hodnot s výjimkou fází ráno a těsně před výlovem, kdy byla jeho hodnota naopak snížena. Nicméně ani po výlovu nebyly zaznamenány záporné hodnoty ORP. V průměru došlo rovněž ke snižování hodnot SPC a TDS, i když po výlovu jejich obsah mírně narostl. Dynamika změny koncentrace Chlorofylu *a* a BGA-PC po průtoku vody stokou směrovala k zvyšování jejich hodnot s výjimkou měření „noc před výlovem“, kde množství Chlorofylu *a* pokleslo.



Obrázek 23. Dynamika vybraných fyzikálně chemických parametrů vody na rybníku Mokrý



Tabulka 25. Základní fyzikálně chemické parametry vody Mokrý (průměr±SD)

| Parametr | Počet měření | Pod rybníkem | Nad 1 hrázou | Pod 1 hrázou | Na konci stoky | Rybniční pod D* | Průměr** ±SD |
|--------------------------------------------------------------|--------------|--------------|--------------|--------------|----------------|-----------------|--------------|
| Teplota (°C) | 5 | 2,56±0,98 | 2,53±0,98 | 2,50±0,95 | 2,29±0,70 | 2,85 | 2,47±0,89 |
| SPC ($\mu\text{S}\cdot\text{cm}^{-1}$) | 5 | 405,86±51,88 | 400,74±41,25 | 397,38±33,69 | 391,38±26,76 | 364 | 398,84±38,10 |
| TDS ($\mu\text{g}\cdot\text{l}^{-1}$) | 5 | 263,60±33,37 | 260,40±26,83 | 258,20±21,70 | 254,80±16,82 | 237 | 259,25±24,50 |
| Salinita (ppt.) | 5 | 0,19±0,02 | 0,19±0,02 | 0,19±0,02 | 0,19±0,01 | 0,17 | 0,19±0,02 |
| Kyslík ($\text{mg}\cdot\text{l}^{-1}$) | 5 | 9,58±2,81 | 9,65±2,62 | 9,07±3,34 | 9,01±3,79 | 13,37 | 9,33±3,04 |
| Kyslík (%) | 5 | 70,80±19,63 | 71,40±18,36 | 66,64±23,81 | 65,70±27,21 | 99,00 | 68,64±21,44 |
| pH | 5 | 7,96±0,16 | 7,79±0,22 | 7,72±0,25 | 7,69±0,25 | 7,86 | 7,79±0,22 |
| ORP (mV) | 5 | 75,14±35,77 | 76,96±20,59 | 66,54±23,75 | 77,10±19,88 | 62 | 73,94±20,70 |
| Chlor. a ($\mu\text{g}\cdot\text{l}^{-1}$) | 5 | 89,06±52,42 | 129,62±33,95 | 127,95±28,18 | 151,69±38,02 | 67,85 | 124,58±28,63 |
| BGA-PC ($\mu\text{g}\cdot\text{l}^{-1}$) | 5 | 6,52±2,71 | 9,20±3,56 | 8,65±3,16 | 10,97±3,64 | 1,92 | 8,83±2,70 |

*Starý Čekanický rybník, jedno měření u požeráku 20. 11. 2017 ve 13:00

**vyjma hodnot z profilu „rybník pod“

Laboratorní analýza vzorku vody

Z tabulek č. 26 a 27 je patrné, že se kvalita vody v průběhu strojení a výlovu rybníka výrazně měnila. U tohoto rybníka bude veškeré hodnocení kvality vody vztaženo na změnu koncentrací mezi profily A (pod hrází rybníka Mokrý) a profilu C (konec stoky). Získána data z profilu B (pod první hrázou) nebudou komentována a naleznete je v tabulkách 26 a 27. Kvalita vody ve fázi „noci před výlovem“ vykazovala u řady parametrů ve srovnání s ostatními rybníky nadprůměrně vyšší hodnoty. Tato skutečnost mohla být daná ani tak ne biomasou ryb, která nebyla nikterak veliká $K_2 = 590 \text{ kg}\cdot\text{ha}^{-1}$, jako spíše silným větrem, který rozpohyboval masu vody na mělké rozlitině o velikosti cca 5 ha (výměra rybníku je 20 ha), která k ránu vypuštěním rybníka zanikla a koncentrovala již obsádku do prostoru „většího loviště“. Nízká teplota vody rovněž nezvyšovala pohybovou aktivitu ryb. Hodnota BSK_5 dosahovala $18 \text{ mg}\cdot\text{l}^{-1}$ a průtokem stokou byla snížena na profilu C o 27,8 %. U $CHSK_{Cr}$, jehož hodnota dosáhla $110 \text{ mg}\cdot\text{l}^{-1}$ však došlo k poněkud nižší retenci (9,1 %). Koncentrace nerozpuštěných látek byla ve srovnání s ostatními rybníky výrazně zvýšená. Pod rybníkem dosahovala hodnota $NL_{105} 120 \text{ mg}\cdot\text{l}^{-1}$ a pro $NL_{550} 73 \text{ mg}\cdot\text{l}^{-1}$. Jejich retence však byla pro tuto fázi ze všech sledovaných rybníků nejvyšší, a to 36,7 % (NL_{105}), resp. 41,1 % (NL_{550}). Stejně nadprůměrná byla i koncentrace Fe $3,5 \text{ mg}\cdot\text{l}^{-1}$, při retenci 37,1 % a TP $0,47 \text{ mg}\cdot\text{l}^{-1}$, při retenci 21,3 %. Podobně nadprůměrné hodnoty byly zjištěny rovněž u TN ($4,5 \text{ mg}\cdot\text{l}^{-1}$) a TOC ($38 \text{ mg}\cdot\text{l}^{-1}$), ale jejich retence byla velmi malá 6,7 % a 5,3 %. Naproti tomu žádné zvýšení ve srovnání s ostatními rybníky nebylo pro tuto fázi zjištěno pro: TIC ($21 \text{ mg}\cdot\text{l}^{-1}$), TC ($59 \text{ mg}\cdot\text{l}^{-1}$), KNK_{4,5} ($2,3 \text{ mg}\cdot\text{l}^{-1}$) a Ca ($41 \text{ mg}\cdot\text{l}^{-1}$). Změny v koncentraci těchto parametrů však byly po průtoku vody stokou minimální. Poněkud překvapivé je však zjištění snížení koncentrací rozpuštěných forem P a Fe na profilu C (o 2,9 % a o 16,7 %), jejich absolutní hodnoty byly podprůměrné. Ráno před výlovem došlo k dalšímu mírnému nárůstu koncentrací (o 4 až 32 %) takřka všech sledovaných parametrů s výjimkou BSK_5 a $Fe_{rozp.}$, které naopak poklesly o 40 a 20 %. Největší zvýšení, a to o 43 %, bylo pozorováno u Fe, jeho retence však byla záporná (-4 %). Zajímavé je však zjištění výraznějšího zhoršení kvality vody na konci stoky u BSK_5 (o 30,8 %), NL_{105} (o 15,4 %), NL_{550} (o 17,72 %). Zbývající parametry vykazovaly na konci stoky jen velmi malou retenci na úrovni 0 až 7,7 %. Za rozbřesku byl nad lovištěm natažen plot a poté podložní síť v lovišti. Tato zvýšená pohybová aktivita vedla k nárůstu hodnot nad průměr ve fázi těsně před výlovem. Koncentrace nerozpuštěných látek se zvýšila více než 6, resp. 8krát ($NL_{105} 810 \text{ mg}\cdot\text{l}^{-1}$; $NL_{550} 640 \text{ mg}\cdot\text{l}^{-1}$). Na druhou stranu se však výrazně zvýšil i jejich záchyt v korytě stoky na 82,7 %, resp. 85,5 %. Výrazné zvýšení koncentrace ve fázi těsně před výlovem bylo zaznamenáno také u Fe na



24 mg.l⁻¹ (až 4,8krát). Jeho retence ve stoce však byla rovněž velmi vysoká (79,2 %). Naproti tomu hodnota u BSK₅, CHSK_{Cr} a TP vzrostla jen 2,5 až 2,9krát a jejich retence byla rovněž poněkud nižší i když stále vysoká (48,5 %; 51,4 % a 64,4 %). Mnohem menší nárůst obsahu, a to o 45 až 60 %, byl zaznamenán u TIC (32 mg.l⁻¹), TN (8,3 mg.l⁻¹), TOC (73 mg.l⁻¹) a TC (110 mg.l⁻¹). Zadržení těchto živin však bylo o poznání menší (18,8 %; 24,1 %; 37,0 % a 34,6 %). Žádná, resp. velmi malá změna koncentrace v porovnání s ránem před výlovem bylo zjištěna u KNK_{4,5}, resp. Ca. Stejné úrovně dosáhla i jejich retence (0,0 %, resp. 14,0 %). U rozpuštěných forem železa a fosforu byly změny v koncentraci spíše menší a představovaly zvýšení o 80 a 32 %. Jejich retence však byla pozitivní (44,4 a 25,9 %).

Tabulka 26. Laboratorní výsledky kvality vody Mokry

| Parametr | Vzorek | Profil A pod rybníkem | Profil B pod 1 hrázkou | Rozdíl A-B (%) | Profil C konec stoky | Rozdíl A-C (%) | Profil D rybník pod |
|---------------------------------------------------|--------------------|-----------------------------|------------------------------|----------------------|----------------------------|----------------------|---------------------------|
| BSK₅ (mg.l ⁻¹) | noc před výlovem | 18 | 15 | -16,67 | 13 | -27,78 | |
| | ráno před výlovem | 13 | 16 | 23,08 | 17 | 30,77 | |
| | těsně před výlovem | 33 | 22 | -33,33 | 17 | -48,48 | |
| | výlov | 61 | 54 | -11,48 | 24 | -60,66 | |
| | hodina po výlovu | 64 | 35 | -45,31 | 24 | -62,50 | 10 |
| | průměr±SD | 37,80±21,24 | 28,40±14,65 | -16,74±23,26 | 19,00±4,34 | -33,73±34,54 | |
| CHSK_{Cr} (mg.l ⁻¹) | noc před výlovem | 110 | 110 | 0,00 | 100 | -9,09 | |
| | ráno před výlovem | 130 | 130 | 0,00 | 120 | -7,69 | |
| | těsně před výlovem | 370 | 270 | -27,03 | 180 | -51,35 | |
| | výlov | 680 | 770 | 13,24 | 210 | -69,12 | |
| | hodina po výlovu | 590 | 420 | -28,81 | 230 | -61,02 | 85 |
| | průměr±SD | 376,00±232,17 | 340±242,16 | -8,52±16,57 | 168,0±50,36 | -39,65±26,14 | |
| NL₁₀₅ (mg.l ⁻¹) | noc před výlovem | 120 | 100 | -16,67 | 76 | -36,67 | |
| | ráno před výlovem | 130 | 140 | 7,69 | 150 | 15,38 | |
| | těsně před výlovem | 810 | 400 | -50,62 | 140 | -82,72 | |
| | výlov | 7 200 | 1 500 | -79,17 | 220 | -96,94 | |
| | hodina po výlovu | 3 900 | 790 | -79,74 | 240 | -93,85 | 29 |
| | průměr±SD | 2 432±2 762,76 | 586±518,98 | -43,70±34,57 | 165,2±59,03 | -58,96±43,01 | |
| NL₅₅₀ (mg.l ⁻¹) | noc před výlovem | 73 | 63 | -13,70 | 43 | -41,10 | |
| | ráno před výlovem | 79 | 93 | 17,72 | 93 | 17,72 | |
| | těsně před výlovem | 640 | 300 | -53,13 | 93 | -85,47 | |
| | výlov | 6 000 | 1 200 | -80,00 | 150 | -97,50 | |
| | hodina po výlovu | 3 300 | 640 | -80,61 | 160 | -95,15 | 10 |
| | průměr±SD | 2 018,4±2321,27 | 459,2±423,77 | -41,94±38,54 | 107,8±42,76 | -60,30±44,02 | |
| TN (mg.l ⁻¹) | noc před výlovem | 4,5 | 4,6 | 2,22 | 4,2 | -6,67 | |
| | ráno před výlovem | 5,7 | 6,1 | 7,02 | 5,6 | -1,75 | |
| | těsně před výlovem | 8,3 | 7,8 | -6,02 | 6,3 | -24,10 | |
| | výlov | 18 | 20 | 11,11 | 7,4 | -58,89 | |
| | hodina po výlovu | 17 | 13 | -23,53 | 10 | -41,18 | 3,3 |
| | průměr±SD | 10,70±5,70 | 10,30±5,62 | -1,84±12,25 | 6,70±1,95 | -26,52±21,34 | |
| TP (mg.l ⁻¹) | noc před výlovem | 0,47 | 0,44 | -6,38 | 0,37 | -21,28 | |
| | ráno před výlovem | 0,62 | 0,66 | 6,45 | 0,61 | -1,61 | |
| | těsně před výlovem | 1,8 | 1,2 | -33,33 | 0,64 | -64,44 | |
| | výlov | 10 | 3,3 | -67,00 | 0,76 | -92,40 | |
| | hodina po výlovu | 16 | 2 | -87,50 | 0,87 | -94,56 | 0,24 |
| | průměr±SD | 5,78±6,21 | 1,52±1,04 | -33,55±35,46 | 0,65±0,17 | -54,86±37,52 | |
| Prozpusťný (mg.l ⁻¹) | noc před výlovem | 0,034 | 0,034 | 0,00 | 0,033 | -2,94 | |
| | ráno před výlovem | 0,041 | 0,038 | -7,32 | 0,04 | -2,44 | |
| | těsně před výlovem | 0,054 | 0,042 | -22,22 | 0,04 | -25,93 | |
| | výlov | 0,052 | 0,11 | 111,54 | 0,052 | 0,00 | |
| | hodina po výlovu | 0,035 | 0,048 | 37,14 | 0,061 | 74,29 | 0,05 |



| | průměr±SD | 0,04±0,01 | 0,05±0,03 | 23,83±48,02 | 0,05±0,01 | 8,60±34,16 |
|--|-----------|-----------|-----------|-------------|-----------|------------|
|--|-----------|-----------|-----------|-------------|-----------|------------|

Tabulka 27. Laboratorní výsledky kvality vody Mokré

| Parametr | Vzorek | Profil A pod rybníkem | Profil B pod 1 hrázkou | Rozdíl A-B (%) | Profil C konec stoky | Rozdíl A-C (%) | Profil D rybník pod |
|-----------------------------------------------|--------------------|--------------------------------|-------------------------------|----------------------|-------------------------------|----------------------|---------------------------|
| TOC (mg.l ⁻¹) | noc před výlovem | 38 | 39 | 2,63 | 36 | -5,26 | |
| | ráno před výlovem | 46 | 50 | 8,70 | 44 | -4,35 | |
| | těsně před výlovem | 73 | 65 | -10,96 | 46 | -36,99 | |
| | výlov | 140 | 160 | 14,29 | 53 | -62,14 | |
| | hodina po výlovu | 110 | 74 | -32,73 | 54 | -50,91 | 40 |
| | průměr±SD | 81,40±38,62 | 77,60±42,93 | -4,67±16,81 | 46,60±6,56 | -31,93±23,54 | |
| TIC (mg.l ⁻¹) | noc před výlovem | 21 | 21 | 0,00 | 21 | 0,00 | |
| | ráno před výlovem | 22 | 20 | -9,09 | 21 | -4,55 | |
| | těsně před výlovem | 32 | 31 | -3,13 | 26 | -18,75 | |
| | výlov | 28 | 26 | -7,14 | 23 | -17,86 | |
| | hodina po výlovu | 32 | 39 | 21,88 | 29 | -9,38 | 11 |
| | průměr±SD | 27,00±4,73 | 27,40±7,00 | 0,50±11,14 | 24,00±3,10 | -10,11±7,33 | |
| TC (mg.l ⁻¹) | noc před výlovem | 59 | 60 | 1,69 | 57 | -3,39 | |
| | ráno před výlovem | 68 | 70 | 2,94 | 65 | -4,41 | |
| | těsně před výlovem | 110 | 96 | -12,73 | 72 | -34,55 | |
| | výlov | 160 | 180 | 12,50 | 76 | -52,50 | |
| | hodina po výlovu | 150 | 110 | -26,67 | 83 | -44,67 | 51 |
| | průměr±SD | 109,40±41,14 | 103,20±42,34 | -4,45±13,72 | 70,60±8,96 | -27,90±20,41 | |
| KNK _{4,5} (mmol.l ⁻¹) | noc před výlovem | 2,3 | 2,3 | 0,00 | 2,3 | 0,00 | |
| | ráno před výlovem | 2,4 | 2,4 | 0,00 | 2,3 | -4,17 | |
| | těsně před výlovem | 2,4 | 2,4 | 0,00 | 2,4 | 0,00 | |
| | výlov | 2,5 | 2,4 | -4,00 | 2,4 | -4,00 | |
| | hodina po výlovu | 2,7 | 2,8 | 3,70 | 2,6 | -3,70 | 2,2 |
| | průměr±SD | 2,46±0,14 | 2,46±0,17 | -0,06±2,44 | 2,40±0,11 | -2,37±1,94 | |
| Ca (mg.l ⁻¹) | noc před výlovem | 41 | 40 | -2,44 | 42 | 2,44 | |
| | ráno před výlovem | 45 | 44 | -2,22 | 41 | -8,89 | |
| | těsně před výlovem | 50 | 46 | -8,00 | 43 | -14,00 | |
| | výlov | 100 | 56 | -44,00 | 42 | -58,00 | |
| | hodina po výlovu | 160 | 53 | -66,88 | 44 | -72,50 | 43 |
| | průměr±SD | 79,20±45,70^a | 47,80±5,88^b | -24,71±26,20 | 42,40±1,02^b | -30,19±29,48 | |
| Fe (mg.l ⁻¹) | noc před výlovem | 3,5 | 2,9 | -17,14 | 2,2 | -37,14 | |
| | ráno před výlovem | 5,0 | 6,4 | 28,00 | 5,2 | 4,00 | |
| | těsně před výlovem | 24 | 13 | -45,83 | 5,0 | -79,17 | |
| | výlov | 160 | 47 | -70,63 | 6,3 | -96,06 | |
| | hodina po výlovu | 260 | 33 | -87,31 | 8,2 | -96,85 | 1,1 |
| | průměr±SD | 90,50±102,82 | 20,46±16,87 | -38,58±40,86 | 5,38±1,95 | -61,04±39,09 | |
| Ferozpušný (mg.l ⁻¹) | noc před výlovem | 0,06 | 0,05 | -16,67 | 0,05 | -16,67 | |
| | ráno před výlovem | 0,05 | 0,07 | 40,00 | 0,05 | 0,00 | |
| | těsně před výlovem | 0,09 | 0,05 | -44,44 | 0,05 | -44,44 | |
| | výlov | 0,04 | 0,04 | 0,00 | 0,05 | 25,00 | |
| | hodina po výlovu | 0,06 | 0,09 | 50,00 | 0,09 | 50,00 | 0,07 |
| | průměr±SD | 0,06±0,02 | 0,06±0,02 | 5,78±35,17 | 0,06±0,02 | 2,78±32,68 | |

Výlov rybníku probíhal pomocí podložné sítě, která byla položena dva krát. Zbytek ryb byl doloven kesery. V rybníce byl velký výskyt podetřených plevelních ryb, především střevličky východní. Tyto unikaly zejména v závěru výlovu a kvůli nízkému obsahu kyslíku ve vodě a vysokému zákalu se držely u hladiny a „troubily“. Svým způsobem tak rovněž komplikovaly odběr vzorku vody. Kvalita vody vytékající z rybníka v průběhu výlovu se opět výrazně zhoršila. Ve srovnání s ostatními rybníky to však nebylo tak razantní navýšení, jelikož v předchozích fázích již měly klíčové parametry nadprůměrnou úroveň. Koncentrace



nerozpuštěných látek proto vzrostla přibližně 9x na $7\ 200\ mg.l^{-1}$ u NL_{105} a $6\ 000\ mg.l^{-1}$ u NL_{550} , zatímco u Fe jen 6,7x ($160\ mg.l^{-1}$), resp. u TP jen 5,6x ($10\ mg.l^{-1}$). Průtokem vody stokou však byl zjištěn velmi výrazný pokles jejich koncentrace o 92,4 až 97,5 %. Mnohem menší nárůst na úrovni 1,5–2,2násobku koncentrace ve srovnání s fází těsně před výlovem byl zaznamenán u: TC ($160\ mg.l^{-1}$), BSK_5 ($61\ mg.l^{-1}$), $CHSK_{Cr}$ ($590\ mg.l^{-1}$), TOC ($140\ mg.l^{-1}$), Ca ($100\ mg.l^{-1}$) a TN ($18\ mg.l^{-1}$). Na konci stoky, na profilu C, bylo však u nich zjištěno stále výborné, ale poněkud nižší zachycení ve srovnání s předchozími parametry (52,5 až 69,1 %). Velmi malá byla zjištěna změna hodnoty i retence $KNK_{4,5}$. Naproti tomu u TIC byl zjištěn pokles jeho úrovně o 12,5 %, přičemž zjištěné snížení jeho koncentrace na konci stoky bylo poměrně malé (17,9 %). Koncentrace sledovaných rozpuštěných forem Fe a P rovněž poklesla (o 50 a 4 %). Jejich retence ve stoce však byla negativní (-25 %), resp. nulová ($P_{rozp.}$).

Fáze „hodina po výlovu“ přinesla další navýšení, ale jen u některých parametrů. Jednalo se o: BSK_5 $64\ mg.l^{-1}$, TP $16\ mg.l^{-1}$, TIC $32\ mg.l^{-1}$, $KNK_{4,5}$ $2,7\ mg.l^{-1}$, Ca $160\ mg.l^{-1}$, Fe $260\ mg.l^{-1}$ a $Fe_{rozp.}$ $0,06\ mg.l^{-1}$. Jejich záchyt ve stoce byl však velmi odlišný. Zatímco hodnota BSK_5 se průchodem stoku snížila o 62,5 %, vápníku o 72,5 % u TP a Fe to bylo nad 94,6 %. Naopak u TIC a $KNK_{4,5}$ byl pokles jejich obsahu na konci stoky malý (9,4 a 3,7 %). Naproti tomu byl zjištěn pokles obsahu nerozpuštěných látek o 80 %. Snížení jejich koncentrace na profilu C však bylo velmi vysoké (93,9 a 97,5 %). Po výlovu došlo rovněž k poklesu hodnoty $CHSK_{Cr}$ o 15 % na $590\ mg.l^{-1}$, při docílení 61% snížení na konci stoky. Poměrně málo klesla ve srovnání s výlovem koncentrace TN a TC a to 6 a 7 %. Průtokem stokou u nich také došlo k citelnému snížení nad 41 %. Poněkud výrazněji, o 27 % poklesla koncentrace TOC ($110\ mg.l^{-1}$), její retence na profilu C však byla poloviční. Rozpuštěné formy P a Fe měly na konci stoky zvýšenou koncentraci a to o 74,3 a 50 %.

Hodnoty naměřené na rybníku Starý Čekanický (profil D), byly prakticky ve všech parametrech nižší než ty naměřené ve stoce pod rybníkem Mokrý.

Bilance živin

Vypočtené bilance pro vybrané parametry ukazuje obrázek 24. Záchyt nerozpuštěných látek sušených dosáhl vysoké úrovně 59,3 % a žíhaných 66,2 %. U základních živin však bylo zjištěno poněkud nižší zachycení TP (37,5 %), resp. TOC a TN (10,4 a 9,2 %). Překvapivě pozitivní a pro rozpuštěnou formu P byla zjištěna vysoká retence (9,2 %), zatímco Ca_{rozp.} vykázal záchyt jen 2,6 %. Retenci dalších parametrů pak uvádí tabulka 28.

Tabulka 28. Přehled bilance vybraných parametrů kvality vody a živin na rybníku Mokrý

| Parametr | BSK ₅ | CHSK _{Cr} | TC | TIC | Fe |
|---------------------------|------------------|--------------------|--------|--------|-------|
| Přítok z rybníku (kg) | 101,54 | 752,40 | 358,80 | 121,12 | 38,50 |
| Odtok na konci stoky (kg) | 78,09 | 607,80 | 329,30 | 117,64 | 25,87 |
| Retence (kg) | 23,45 | 144,60 | 29,47 | 3,48 | 12,63 |
| Retence (%) | 23,1 | 19,22 | 8,21 | 2,9 | 32,8 |

Zkušenosti a postřehy

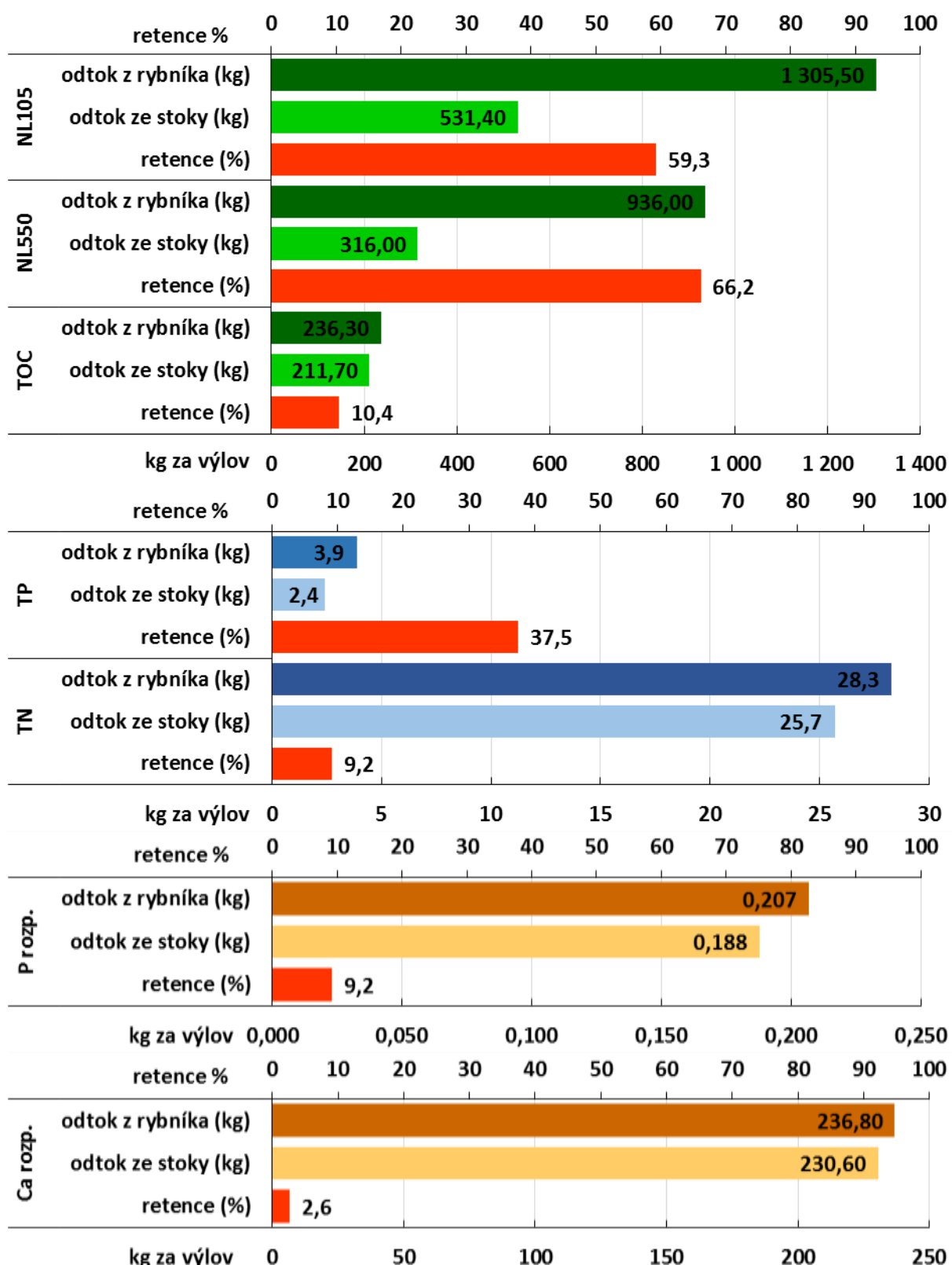
Na rybníku Mokrý bylo možné vysledovat, že na úroveň koncentrace látek odtékajících z rybníka má vliv nejenom biomasa obsádky a zvýšená teplota vody, která zvyšuje pohybovou aktivitu ryb, ale rovněž další faktory. V otevřené krajině a na velké ploše rybníka dokáže vítr rozpohybovat vodní masy takovým způsobem, že vzniklé vlnobití zvedá v mělké vodě dnové sedimenty. Podobně může zvyšovat koncentraci látek ve vodě i výdatnější déšť, který bude díky povrchovému odtoku vody po výtopě bez vodní hladiny erodovat dnový sediment, bez možnosti jeho průběžné sedimentace.



Zajímavé je zjištění, že v některých momentech byly odebrány vzorky vyšší hodnoty na profilu B, než jaké byly zjištěny ve stejné fázi na profilu A. Většina z nich však na dalším profilu C (na konci stoky) opět poklesla. Zvláště patrné je to ve fázi „ráno před výlovem“. Tato skutečnost může souviset s velkou dynamikou změny průtoku vody výpustí, se kterou se je možné při strojení rybníka setkat. Strojící obvykle používají systém vlastních značek a kontrolních „milníků“ pomocí kterých upravují odtok vody z rybníku tak, aby byl přistrojen na určenou hodinu. Proto přistupují k výraznému zvyšování a snižování průtoku vody, aby dosáhli požadované úrovni ve správný čas. Tato skutečnost následně ovlivňuje dobu zdržení vody a rovněž může zvedat již usazené částice sedimentu.

Rybník Mokrý ukázal, že proces sedimentace partikulí je použitelný ke snižování znečištění vody vytékající z rybníků při jejich výlovech. Na tomto rybníce byla voda vystavena nikoli umělými hrázemi, ale vodou z níže položeného rybníka. Výhodou této skutečnosti je fakt, že nedocházelo k tlakovému podtékání barier. Průtok vody stokou byl velmi plynulý a klidný. („voda držela vodu“).

Určitou alternativou k dočasným hrázkám z balíků slámy může být vybudování soustavy 2–3 trvalých kamenných nebo betonových hradítek ve stokách pod rybníkem. Ty budou v průběhu roku plně otevřená a k jejich uzavření dojede jen při výlovu rybníka. Následně bude zachycený sediment vytěžen a hradítka opět otevřena. První vyšší investice bude v dalších letech komponována výrazně nižšími náklady na provozování hrázeck. Nutností však bude důraz na jejich pravidelné čištění. Určitou pomocí pro zavedení této technologie do provozu by mohla být vhodná dotační podpora ze strany státu. Tyto malé zdrže ve stoce pod rybníkem mohou být rovněž využity coby malé tůně pro podporu rozvoje místních populací obojživelníků. Na ně se pak naváže přítomnost brodivých a veslonohých ptáků, případně vydry. Přírodě pomůžeme ve všech směrech.



Obrázek 24. Bilance vybraných živin a chemických parametrů vody na rybníku Mokrý



4. 10 Celkové vyhodnocení

Budování hrázek a doba zdržení

Na základě získaných pozitivních i negativních zkušeností po testování na devíti rybnících je možné konstatovat, že dočasné bariery z malých balíků slámy (sena) je optimální budovat ze dvou řad balíků, jenž navzájem překrývají místa dotyku. Výška takového hrázky by neměla být větší než 1 m (max. tři řady balíků na sebe). K fixaci hrázek do dna stoky je vhodné použít cca 1,6 m dlouhé ocelové trny ve tvaru T. Na dno stoky, jako základ hrázky, může být umístěno několik předem namočených balíků slámy. U vyšších a širokých stok je pak vhodné vzdušnou stranu hrázek zapřít o přiměřeně masivnější konstrukci. Po stranách vlastní hrázky je vhodné instalovat křídla z jedné řady balíků. Ty je potřeba fixovat kratšími trny. Problematické podtékání hrázek v měkkém dnu stoky se podařilo zmírnit pomocí vystláním návodní strany hrázky a cca 2-3 m přední jutovou tkaninou. K jejímu zatižení je vhodné použít menší jutové pytle naplněné max. do 1/3 těžším materiélem ze dna rybníku. Po vlastním výlovu jsou následně fixační trny a další opora odstraněny. Zachycený sediment společně s nasáklou slámostí již udrží hrázku po hromadě až do jejího odstranění.

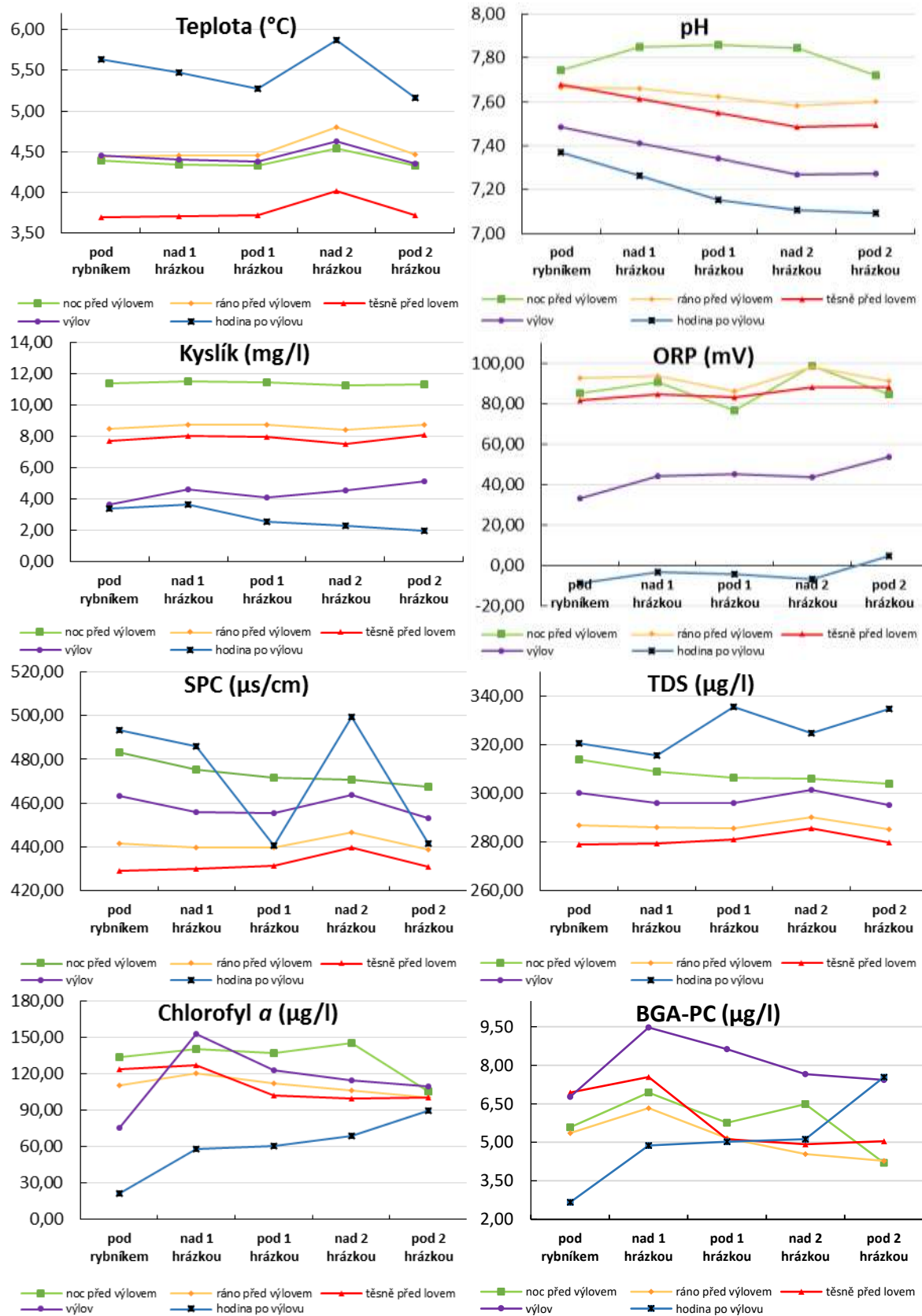
Klíčovým faktorem, který určuje efektivitu zachytávání látek nesených vodou, je doba zdržení. Za požadované minimum je možné považovat čas pro sedimentaci na úrovni 20–30 minut. Negativně působí ztráta akumulovaného objemu vody při nízkém průtoku z důvodu podtékání hrázek, jakož i velká dynamika průtoku vody při vypouštění rybníku.

Základní fyzikálně chemické parametry

Celkový přehled základních fyzikálně chemických parametrů vody při průtoku barierami uvádí tabulka č. 29. Podrobnější dynamika změny je zachycena na obrázku č. 25. Ze všech uvedených dat plynou různé trendy, ze kterých poukážeme jen na některé. V průběhu strojení a výlovu rybníka klesá hodnota pH. Průchodem vody přes bariery dochází rovněž k jeho mírnému poklesu. Obsah kyslíku rozpuštěného ve vodě v čase rovněž klesá. Jeho koncentrace se však v prvních třech fázích průtoku přes bariery zvyšovala, zatímco při vlastním výlovu a zejména po něm, naopak klesala. V průběhu sledování výlovu rovněž klesala úroveň ORP. Vybudované hrázky však dokázaly výrazněji zvýšit její hodnotu, zejména v posledních dvou fázích sledování. Vysvětlení všech těchto trendů je možno spatřovat v nárůstu koncentrace nerozpustěných látek. Intenzivnější výření sedimentu dodává do vody více CO_2 , který snižuje pH, ale rovněž množství organických látek, které při svém rozkladu spotřebují kyslík. Poněkud nestandardní průběh modré křivky („hodina po výlovu“), patrný na obr. 25 zejména u SPC a TDS je způsoben absencí některých dat v průměrných hodnotách z rybníku Novokoželský 2016. Tekuté bahno obsažené v barierách nebylo možné EXO sondou již změřit. Na tomto rybníce byla data získaná jen pro profil pod 1 a 2 hrázkou, kde tekla ještě hustá voda.

Laboratorní analýza vzorku vody

Z tabulek č. 30 a 31 je patrné, že kvalita vody se v průběhu strojení a výlovu rybníku velmi výrazně mění. Při celkovém pohledu na naměřené hodnoty byl statisticky potvrzen rozdíl mezi kvalitou vody na profilu A (pod rybníkem) a profilu B (pod 2 barierou) u všech parametrů s výjimkou rozpustených forem P a Fe. Zatímco P_{rozp} průchodem vody barierami prokazatelně zvyšoval svojí koncentraci u Fe_{rozp} nebyl potvrzen statistický rozdíl mezi jeho hodnotou na profilu A a B.





Obrázek 25. Dynamika vybraných fyzikálně chemických parametrů vody, průměry za všechny rybníky

Tabulka 29. Laboratorní výsledky kvality vody celkově za všechny rybníky

| Parametr | Vzorek | Počet měření | Profil A pod rybníkem | Profil B pod 2 hrázkou | Rozdíl (%) |
|------------------------------------------------|--------------------|--------------|-----------------------|------------------------|------------|
| Teplota (°C) | noc před výlovem | 7 | 4,39±2,45 | 4,33±2,47 | -1,27 |
| | ráno před výlovem | 9 | 4,44±4,11 | 4,46±4,10 | 0,48 |
| | těsně před výlovem | 8 | 3,69±3,62 | 3,71±3,65 | 0,51 |
| | výlov | 9 | 4,45±3,61 | 4,35±3,60 | -2,30 |
| | hodina po výlovu | 9 | 5,63±2,90 | 5,16±3,07 | -8,43 |
| SPC ($\mu\text{S} \cdot \text{cm}^{-1}$) | noc před výlovem | 7 | 483,31±71,34 | 467,60±73,23 | -3,25 |
| | ráno před výlovem | 9 | 441,44±86,36 | 438,79±89,62 | -0,60 |
| | těsně před výlovem | 8 | 429,43±90,53 | 430,98±91,26 | 0,36 |
| | výlov | 9 | 463,46±82,11 | 452,98±93,34 | -2,26 |
| | hodina po výlovu | 9 | 493,31±123,87 | 441,46±172,64 | -10,51 |
| TDS ($\mu\text{g} \cdot \text{l}^{-1}$) | noc před výlovem | 7 | 314,00±46,28 | 303,86±47,62 | -3,23 |
| | ráno před výlovem | 9 | 286,78±56,39 | 285,11±58,13 | -0,58 |
| | těsně před výlovem | 8 | 279,00±58,82 | 280,00±59,59 | 0,36 |
| | výlov | 9 | 300,33±53,73 | 295,11±60,72 | -1,74 |
| | hodina po výlovu | 9 | 320,38±80,51 | 334,78±88,41 | 4,50 |
| Salinita (ppt.) | noc před výlovem | 7 | 0,23±0,04 | 0,23±0,04 | -1,85 |
| | ráno před výlovem | 9 | 0,21±0,04 | 0,21±0,04 | -0,53 |
| | těsně před výlovem | 8 | 0,21±0,04 | 0,21±0,04 | 1,22 |
| | výlov | 9 | 0,22±0,04 | 0,22±0,04 | -2,97 |
| | hodina po výlovu | 9 | 0,24±0,06 | 0,25±0,07 | 4,25 |
| Kyslík (mg.l ⁻¹) | noc před výlovem | 7 | 11,38±1,52 | 11,36±1,12 | -0,24 |
| | ráno před výlovem | 9 | 8,48±2,36 | 8,79±2,22 | 3,74 |
| | těsně před výlovem | 8 | 7,74±2,70 | 8,11±2,56 | 4,75 |
| | výlov | 9 | 3,64±1,90 | 5,12±2,34 | 40,68 |
| | hodina po výlovu | 9 | 3,41±2,95 | 1,96±1,05 | -42,51 |
| Kyslík (%) | noc před výlovem | 7 | 90,89±13,89 | 89,61±10,69 | -1,40 |
| | ráno před výlovem | 9 | 64,12±14,14 | 67,11±12,59 | 4,66 |
| | těsně před výlovem | 8 | 55,65±17,27 | 60,41±15,85 | 8,56 |
| | výlov | 9 | 28,52±14,93 | 40,10±17,29 | 40,59 |
| | hodina po výlovu | 9 | 27,78±23,32 | 15,56±7,90 | -43,99 |
| pH | noc před výlovem | 7 | 7,74±0,28 | 7,72±0,33 | -0,30 |
| | ráno před výlovem | 9 | 7,67±0,26 | 7,60±0,14 | -0,83 |
| | těsně před výlovem | 8 | 7,68±0,22 | 7,50±0,16 | -2,39 |
| | výlov | 9 | 7,49±0,23 | 7,27±0,20 | -2,86 |
| | hodina po výlovu | 9 | 7,37±0,25 | 7,11±0,30 | -3,75 |
| ORP (mV) | noc před výlovem | 7 | 85,47±42,61 | 84,51±24,53 | -1,12 |
| | ráno před výlovem | 9 | 92,90±37,48 | 91,11±31,66 | -1,93 |
| | těsně před výlovem | 8 | 81,83±24,49 | 88,41±23,39 | 8,05 |
| | výlov | 9 | 33,24±74,97 | 53,70±55,56 | 61,53 |
| | hodina po výlovu | 9 | -8,48±56,99 | 4,93±43,21 | 158,21 |
| Chlor. a ($\mu\text{g} \cdot \text{l}^{-1}$) | noc před výlovem | 7 | 134,03±78,24 | 105,51±55,15 | -21,27 |
| | ráno před výlovem | 9 | 110,14±72,99 | 100,63±55,38 | -8,64 |
| | těsně před výlovem | 8 | 123,28±92,09 | 100,68±51,79 | -18,33 |
| | výlov | 9 | 75,83±69,34 | 109,34±73,20 | 44,20 |
| | hodina po výlovu | 9 | 21,27±22,80 | 89,50±54,23 | 320,74 |
| BGA-PC ($\mu\text{g} \cdot \text{l}^{-1}$) | noc před výlovem | 7 | 5,58±5,35 | 4,20±2,94 | -24,74 |
| | ráno před výlovem | 9 | 5,36±5,31 | 4,28±3,09 | -20,10 |
| | těsně před výlovem | 8 | 6,94±5,00 | 5,05±3,05 | -27,30 |
| | výlov | 9 | 6,77±5,13 | 7,43±5,71 | 9,72 |
| | hodina po výlovu | 9 | 2,67±1,88 | 7,54±4,82 | 182,84 |



Většina sledovaných parametrů (CHSK_{Cr} , TN, TP, TOC, TIC, TC, $\text{KNK}_{4,5}$ a Ca) vykazovala nejvyšší hodnoty ve fázi „hodinu po výlovu“, kdy z loviště rybníka obvykle odtéká volně po povrchu bahna zbytková voda. Ta eroduje měkké bahno a uvolňuje z něj do vody další živiny. Naproti tomu, nejvyšší průměrné hodnoty v průběhu výlovu, byly zjištěny u: BSK_5 , NL_{105} , NL_{550} , Fe a Fe_{rozp} . To naznačuje, že malé partikule, na které jsou tyto parametry vázány, mohou v lovišti nebo vývařišti při malém průtoku vody částečně sedimentovat a tím snižovat reálně naměřené hodnoty. U P_{rozp} byla zjištěna jeho nejvyšší koncentrace ve fázi těsně před výlovem.

Tabulka 30. Laboratorní výsledky kvality vody celkově za všechny rybníky

| Parametr | Vzorek | Počet měření | Profil A pod rybníkem | Profil B pod 2 hrázkou | Průměr rozdílu (%) |
|--------------------------------------------------------|--------------------|--------------|--------------------------------------|--------------------------------------|---------------------|
| BSK_5 (mg.l ⁻¹) | noc před výlovem | 3 | 17,4±6,46 | 16,38±6,18 | -2,74±19,42 |
| | ráno před výlovem | 4 | 16,75±4,82 | 16,50±3,91 | 0,77±17,32 |
| | těsně před výlovem | 4 | 23,50±8,65 | 16,20±4,04 | -23,68±28,75 |
| | výlov | 4 | 195,25±95,70 | 45,75±42,92 | -71,79±21,04 |
| | hodina po výlovu | 4 | 153,25±161,25 | 35,75±25,11 | -64,17±17,12 |
| | průměr±SD | | 84,69±114,67^a | 26,62±26,23^b | -33,88±36,89 |
| CHSK_{Cr} (mg.l ⁻¹) | noc před výlovem | 3 | 110,67±23,68 | 100,67±7,36 | -6,11±13,89 |
| | ráno před výlovem | 4 | 105,75±14,29 | 103,25±12,52 | -2,02±7,01 |
| | těsně před výlovem | 4 | 197,50±99,84 | 120,50±34,94 | -33,96±10,09 |
| | výlov | 4 | 2 177,50±2 001,70 | 347,50±248,23 | -51,95±57,04 |
| | hodina po výlovu | 4 | 3 3342,50±3 062,16 | 700,00±924,58 | -69,53±17,52 |
| | průměr±SD | | 1 243,42±2 116,16^a | 283,53±489,63^b | -34,11±38,27 |
| NL_{105} (mg.l ⁻¹) | noc před výlovem | 7 | 70,29±29,81 ^a | 52,14±16,29 ^b | -22,08±14,46 |
| | ráno před výlovem | 9 | 158,89±148,28 | 128,89±114,15 | 15,66±94,44 |
| | těsně před výlovem | 8 | 501,25±362,51 ^a | 162,38±84,55 ^b | -61,23±13,84 |
| | výlov | 9 | 9 488,89±13 566,83 ^a | 2 924,22±5 606,61 ^b | -53,12±93,83 |
| | hodina po výlovu | 9 | 8 122,22±8 443,64 ^a | 4 082,22±6 562,35 ^b | -56,84±31,92 |
| | průměr±SD | | 3 915,05±8459,22^a | 1 568,62±4 305,33^b | -35,55±69,87 |
| NL_{550} (mg.l ⁻¹) | noc před výlovem | 7 | 41,57±24,46 ^a | 28,00±13,35 ^b | -27,39±16,23 |
| | ráno před výlovem | 9 | 114,84±121,61 | 93,11±97,21 | 28,12±127,09 |
| | těsně před výlovem | 8 | 395,38±313,76 ^a | 118,88±78,51 ^b | -64,41±14,03 |
| | výlov | 9 | 7 875,56±11 593,83 ^a | 2 377,89±4 655,57 ^b | -51,97±97,27 |
| | hodina po výlovu | 9 | 6 511,11±6 530,18 ^a | 3 158,56±5 387,04 ^b | -61,88±28,35 |
| | průměr±SD | | 3 189,70±7 018,64^a | 1 233,64±3 526,74^b | -35,20±82,78 |
| TN (mg.l ⁻¹) | noc před výlovem | 7 | 3,99±1,33 | 4,09±1,47 | 2,44±11,62 |
| | ráno před výlovem | 9 | 5,07±2,41 | 5,04±2,37 | 1,63±10,88 |
| | těsně před výlovem | 8 | 7,46±3,52 ^a | 5,86±2,65 ^b | -20,13±8,48 |
| | výlov | 9 | 32,02±34,41 | 21,34±30,45 | 126,97±500,60 |
| | hodina po výlovu | 9 | 122,33±187,66 ^a | 53,34±86,24 ^b | -45,88±27,54 |
| | průměr±SD | | 36,25±98,66^a | 18,88±46,03^b | 14,30±237,42 |
| TP (mg.l ⁻¹) | noc před výlovem | 7 | 0,33±0,07 | 0,33±0,06 | -0,84±10,92 |
| | ráno před výlovem | 9 | 0,57±0,35 | 0,55±0,23 | 5,55±34,43 |
| | těsně před výlovem | 8 | 1,18±0,45 ^a | 0,61±0,13 ^b | -43,62±13,61 |
| | výlov | 9 | 21,20±13,81 ^a | 4,84±7,49 ^b | -74,28±30,79 |
| | hodina po výlovu | 9 | 40,99±34,87 ^a | 17,72±33,26 ^b | -69,73±29,55 |
| | průměr±SD | | 13,73±23,68^a | 5,12±17,00^b | -38,12±42,78 |
| $\text{P}_{\text{rozpušený}}$ (mg.l ⁻¹) | noc před výlovem | 7 | 0,05±0,04 | 0,07±0,04 | 42,19±47,75 |
| | ráno před výlovem | 9 | 0,06±0,03 ^a | 0,09±0,06 ^b | 50,55±44,08 |
| | těsně před výlovem | 8 | 0,07±0,05 | 0,09±0,05 | 27,84±31,68 |
| | výlov | 9 | 0,05±0,02 | 0,05±0,02 | 4,65±23,54 |
| | hodina po výlovu | 9 | 0,05±0,02 | 0,06±0,04 | 39,05±64,74 |



| | průměr±SD | 0,06±0,03 ^a | 0,07±0,05 ^b | 32,37±46,83 |
|--|-----------|------------------------|------------------------|-------------|
|--|-----------|------------------------|------------------------|-------------|

Míra snížení koncentrace hodnot mezi profilem A a B byla rozdílná a závisela především na objemu aktuálně vypouštěné vody, objemu vzduté vody (těsnost hráze) a z toho plynoucí doby zdržení. Určitý vliv měla rovněž samotná koncentrace sledovaných látek. S jejím nárůstem rostla i míra jejich zachycení. V prvních dvou fázích sledování byla retence obvykle nižší (jednotky procent). Těsně před výlovem se však záhy látek obvykle zvyšuje na nižší desítky procent. Při vlastním výlovu a po jeho ukončení množství zachycených živin roste v průměru nad 50 %. V ojedinělých případech je však průměr rozdílů koncentrace živin negativní (má kladnou hodnotu). To je zapříčiněno velkými rozdíly obsahu látek mezi jednotlivými rybníky.

Tabulka 31. Laboratorní výsledky kvality vody celkově za všechny rybníky

| Parametr | Vzorek | Počet měření | Profíl A pod rybníkem | Profíl B pod 2 hrázkou | Průměr rozdílů (%) |
|-----------------------------------------------|--------------------|--------------|----------------------------------|----------------------------------|---------------------|
| TOC (mg.l ⁻¹) | noc před výlovem | 7 | 25,14±7,55 | 24,43±7,54 | -3,10±9,66 |
| | ráno před výlovem | 9 | 30,44±12,47 | 29,78±11,77 | -1,42±16,99 |
| | těsně před výlovem | 8 | 51,25±18,43 ^a | 35,13±10,06 ^b | -29,02±8,28 |
| | výlov | 9 | 362,22±312,37 | 159,33±248,41 | -47,78±60,14 |
| | hodina po výlovu | 9 | 1 053,33±1 628,80 ^a | 416,89±718,58 ^b | -50,45±30,79 |
| | průměr±SD | | 323,81±858,04^a | 140,62±379,98^b | -27,40±38,69 |
| TIC (mg.l ⁻¹) | noc před výlovem | 3 | 27,67±5,31 | 28,33±6,13 | 1,96±2,77 |
| | ráno před výlovem | 4 | 27,00±5,52 | 26,00±5,61 | -3,89±2,34 |
| | těsně před výlovem | 4 | 38,00±11,90 | 28,00±4,47 | -21,98±14,27 |
| | výlov | 4 | 95,00±79,55 | 47,00±18,14 | -27,42±30,57 |
| | hodina po výlovu | 4 | 194,50±213,18 | 55,75±38,36 | -41,46±33,04 |
| | průměr±SD | | 79,00±121,17^a | 37,47±24,18^b | -19,64±26,35 |
| TC (mg.l ⁻¹) | noc před výlovem | 3 | 57,00±1,63 | 55,67±1,25 | -2,32±0,76 |
| | ráno před výlovem | 4 | 59,75±5,67 | 58,50±4,97 | -2,00±1,58 |
| | těsně před výlovem | 4 | 86,25±15,37 | 67,50±12,78 | -20,93±13,33 |
| | výlov | 4 | 572,50±375,99 | 162,37±149,37 | -46,04±57,69 |
| | hodina po výlovu | 4 | 952,50±957,74 | 207,25±221,03 | -65,34±20,14 |
| | průměr±SD | | 360,79±586,51^a | 113,21±136,58^b | -28,64±37,54 |
| KNK _{4,5} (mmol.l ⁻¹) | noc před výlovem | 3 | 2,60±0,42 | 2,53±0,40 | -2,49±1,83 |
| | ráno před výlovem | 4 | 2,43±0,35 | 2,43±0,40 | -0,21±2,66 |
| | těsně před výlovem | 4 | 2,53±0,33 | 2,48±0,37 | -2,17±2,17 |
| | výlov | 4 | 3,28±0,49 | 2,70±0,43 | -16,92±10,39 |
| | hodina po výlovu | 4 | 3,78±1,29 | 3,33±1,03 | -10,61±7,54 |
| | průměr±SD | | 2,94±1,06^a | 2,70±0,89^b | -6,69±8,78 |
| Ca (mg.l ⁻¹) | noc před výlovem | 3 | 44,00±2,16 | 44,67±2,05 | 1,54±1,09 |
| | ráno před výlovem | 4 | 41,25±6,06 | 39,25±5,40 | -4,67±2,51 |
| | těsně před výlovem | 4 | 44,50±6,18 | 40,50±5,89 | -9,02±3,83 |
| | výlov | 4 | 245,00±110,11 | 73,50±50,15 | -64,74±21,46 |
| | hodina po výlovu | 4 | 256,75±189,86 | 60,75±34,67 | -61,85±28,16 |
| | průměr±SD | | 130,63±143,06^a | 52,11±32,56^b | -29,29±33,25 |
| Fe (mg.l ⁻¹) | noc před výlovem | 3 | 2,20±0,99 | 1,63±0,67 | -25,11±17,76 |
| | ráno před výlovem | 4 | 4,13±2,52 | 3,93±1,85 | 2,64±33,00 |
| | těsně před výlovem | 4 | 16,98±8,66 | 5,30±2,67 | -66,89±9,06 |
| | výlov | 4 | 645,00±382,39 | 233,10±390,83 | -79,24±31,83 |
| | hodina po výlovu | 4 | 536,00±469,82 | 59,40±87,07 | -88,76±9,89 |
| | průměr±SD | | 253,42±395,19^a | 63,78±199,95^b | -52,86±42,48 |
| Ferozpuščený | noc před výlovem | 3 | 0,08±0,04 | 0,08±0,03 | 7,78±23,78 |
| | ráno před výlovem | 4 | 0,20±0,22 | 0,22±0,25 | -1,15±10,22 |



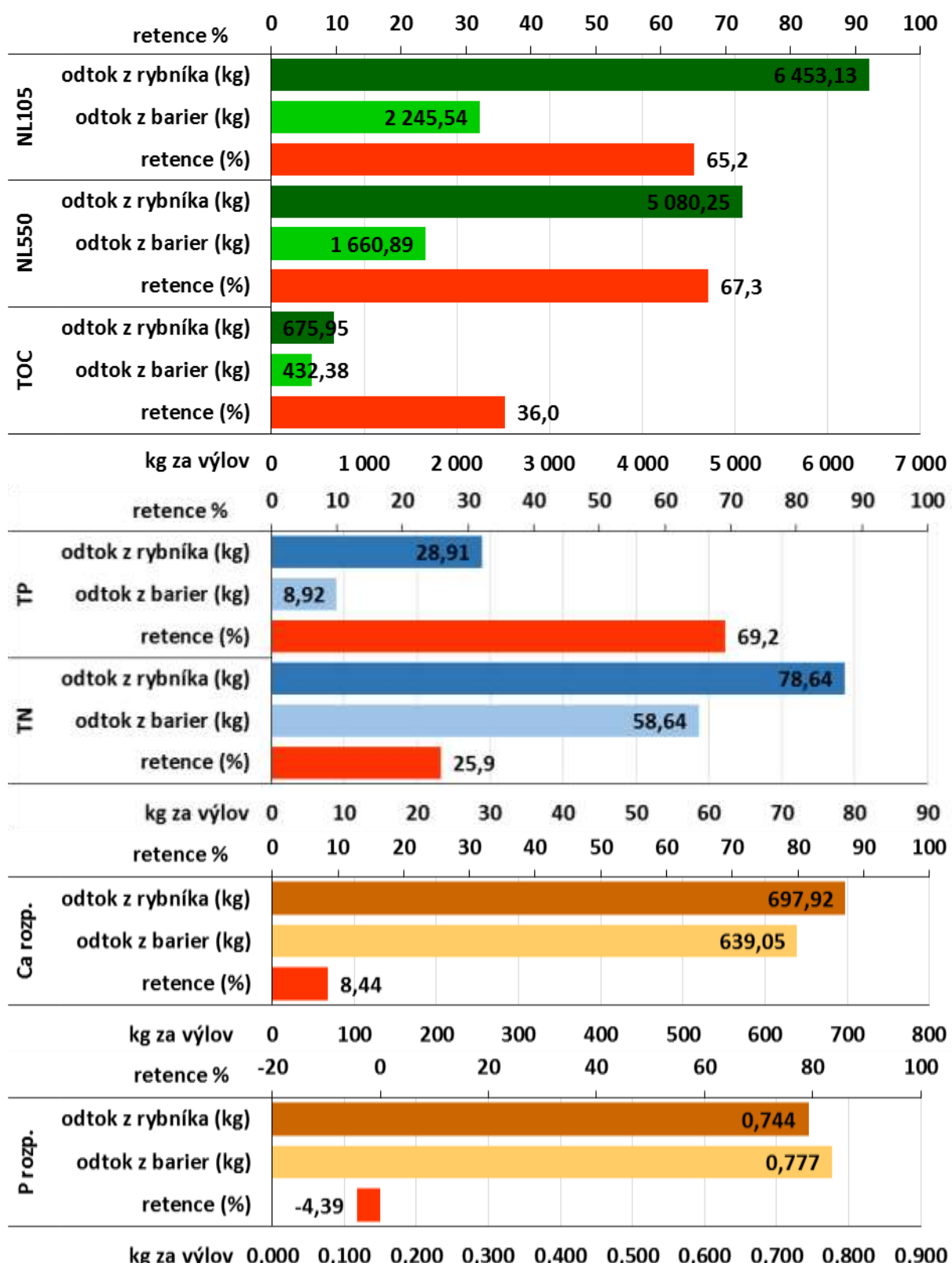
| | | | | | |
|-----------------------|--------------------|---|------------------|------------------|------------------------|
| (mg.l ⁻¹) | těsně před výlovem | 4 | 0,16±0,13 | 0,21±0,23 | 8,57±37,67 |
| | výlov | 4 | 0,81±1,32 | 0,09±0,06 | 1,45±70,91 |
| | hodina po výlovu | 4 | 0,15±0,17 | 0,98±1,40 | 2 827,22±4 853,37 |
| | průměr±SD | | 0,29±0,67 | 0,33±0,73 | 598,30±2 447,04 |

Bilance živiny

Celková bilance živin bude na tomto místě uvedena sumárně, ale bez výsledků z rybníku Novokoželský 2016 a Brdský. Důvodem je nestandardní situace popsaná u každého rybníku samostatně (ledová tříšť a ředění vody). Vypočtené bilance pro vybrané parametry ukazuje obrázek 26. Záhyt nerozpuštěných látek sušených (NL₁₀₅) dosáhl vysoké úrovně 65,2 % a žíhaných (NL₅₅₀) dokonce 67,3 %. Největší retence v prostoru hrázek byla zjištěna u TP, kde celkově dosáhla 69,2 %. U dalších základních živin však bylo zjištěno poněkud nižší zachycení TOC 36,0 %, resp. TN 25,9 %. Překvapivě pozitivní byla zjištěna retence Ca_{rozp.} (8,44 %), zatímco P_{rozp.} bylo zjištěno naopak uvolnění - 4,39 %. Retenci dalších parametrů pak uvádí tabulka 32.

Tabulka 32. Přehled bilance vybraných parametrů kvality vody a živin na všech rybnících společně, s výjimkou rybníků Novokoželský 2016 a Brdský

| Parametr | BSK _s | CHSK _{Cr} | TC | TIC | Fe |
|---------------------------|------------------|--------------------|--------|--------|--------|
| Přítok z rybníku (kg) | 168,66 | 1 408,75 | 626,69 | 223,10 | 153,06 |
| Odtok na konci stoky (kg) | 110,97 | 865,41 | 457,58 | 182,71 | 44,76 |
| Retence (kg) | 57,07 | 543,44 | 169,11 | 40,39 | 108,30 |
| Retence (%) | 33,84 | 38,58 | 26,98 | 18,1 | 70,76 |



Obrázek 26. Bilance vybraných živin a chemických parametrů vody na všech rybnících společně, s výjimkou rybníků Novokoželský 2016 a Brdský



4.11 Složení a množství zachyceného sedimentu

Složení zachyceného sedimentu

Na vybraných rybnících v závěru našeho sledování byly rovněž odebrány vzorky zachyceného sedimentu (rybničného bahna) v hrázkách za účelem zjištění jeho složení. Na většině rybníků byl odebrán směsný vzorek samostatně pro sediment zachycený v první a druhé bariéře (např. Vrbice 1 a 2). Na rybníku Novokoželský 2016 to byl směsný vzorek z obou barier společně. Získané výsledky jsou uvedeny v tabulce 33. Z nich plyne, že obsah sledovaných živin je velmi podobný. Pozitivní je rovněž skutečnost, že podíl využitelných živin, zejména P, na jejich celkovém obsahu je poměrně malý (s výjimkou Ca). Na druhou stranu je i na těchto

Tabulka 33. Složení rybničného sedimentu zachyceného v hrázkách – obsah živin v sušině

| Parametr | Jednotka | Průměr $\pm SD$ | Novo- koželský 2016 | Vrbice* | | Novokoželský* | | Pláňavy* | |
|------------------------|--------------------------|--------------------------|---------------------------|---------|-------|---------------|--------|----------|--------|
| | | | | 1 | 2 | 1 | 2 | 1 | 2 |
| Sušina | % | 22,91±5,13 | 20,8 | 30,6 | 31,0 | 17,0 | 20,0 | 21,0 | 20,0 |
| Ztráta žíháním | % suš. | 17,43±2,19 | 16 | 15 | 14 | 20 | 19 | 19 | 19 |
| pH – CaCl ₂ | | 6,98±0,25 | | 6,60 | 6,70 | 7,30 | 7,20 | 7,10 | 6,98 |
| N – celkový | mg.kg ⁻¹ suš. | 9 228,57±1 345,59 | 8 800 | 7 500 | 7 500 | 11 000 | 11 000 | 9 100 | 9 700 |
| P – celkový | mg.kg ⁻¹ suš. | 1 828,57±491,98 | 2 000 | 1 100 | 1 100 | 2 100 | 2 100 | 1 900 | 2 500 |
| P – využitelný | mg.kg ⁻¹ suš. | 23,48±11,44 | | 15 | 7,9 | 21 | 20 | 38 | 39 |
| | % | 1,27±0,43 | | 1,4 | 0,7 | 1,0 | 1,0 | 2,0 | 1,6 |
| C - celkový | g.kg ⁻¹ suš. | 91,71±15,37 | 85 | 72 | 70 | 110 | 110 | 100 | 95 |
| TOC | g.kg ⁻¹ suš. | 81,57±11,88 | 81 | 68 | 65 | 83 | 79 | 100 | 95 |
| | % | 89,98±10,68 | 95,3 | 94,4 | 92,9 | 75,5 | 71,8 | 100 | 100 |
| Hořčík | mg.kg ⁻¹ suš. | 6 500±675,77 | | 7 500 | 7 400 | 6 000 | 6 100 | 5 900 | 6 100 |
| Mg – využitelný | mg.kg ⁻¹ suš. | 806,67±66,00 | | 740 | 720 | 880 | 900 | 800 | 800 |
| | % | 12,62±2,07 | | 9,9 | 9,7 | 14,7 | 14,8 | 13,6 | 13,1 |
| Draslík | mg.kg ⁻¹ suš. | 2 900±765,94 | | 3 800 | 3 700 | 2 000 | 1 800 | 3 000 | 3 100 |
| K – využitelný | mg.kg ⁻¹ suš. | 520±92,56 | | 400 | 390 | 560 | 540 | 610 | 620 |
| | % | 19,90±7,56 | | 10,5 | 10,5 | 28,0 | 30,0 | 20,3 | 20,0 |
| Vápník | mg.kg ⁻¹ suš. | 9 971,43±3 328,11 | 9 400 | 5 600 | 5 900 | 10 000 | 9 900 | 14 000 | 15 000 |
| Ca – využitelný | mg.kg ⁻¹ suš. | 5 283,33±975,39 | | 4 100 | 3 800 | 6 300 | 6 000 | 5 500 | 6 000 |
| | % | 56,75±12,71 | | 73,2 | 64,4 | 63,0 | 60,6 | 39,3 | 40,0 |

*výlov v roce 2017

Tabulka 34. Složení rybničného sedimentu zachyceného v hrázkách – podíl živin v sušině (%)

| Parametr | Průměr $\pm SD$ | Novo- koželský 2016 | Vrbice* | | Novokoželský* | | Pláňavy* | |
|-----------------|--------------------|---------------------------|---------|-------|---------------|--------|----------|-------|
| | | | 1 | 2 | 1 | 2 | 1 | 2 |
| Sušina | 22,91±5,13 | 20,8 | 30,6 | 31,0 | 17,0 | 20,0 | 21,0 | 20,0 |
| N – celkový | 0,923±0,135 | 0,880 | 0,750 | 0,750 | 1,100 | 1,100 | 0,910 | 0,970 |
| P – celkový | 0,183±0,049 | 0,200 | 0,110 | 0,110 | 0,210 | 0,210 | 0,190 | 0,250 |
| P – využitelný | 0,002±0,001 | | 0,002 | 0,001 | 0,002 | 0,002 | 0,004 | 0,004 |
| C - celkový | 9,171±1,537 | 8,500 | 7,200 | 7,000 | 11,000 | 11,000 | 10,000 | 9,500 |
| TOC | 8,157±1,188 | 8,100 | 6,800 | 6,500 | 8,300 | 7,900 | 10,000 | 9,500 |
| Hořčík | 0,650±0,068 | | 0,750 | 0,740 | 0,600 | 0,610 | 0,590 | 0,610 |
| Mg – využitelný | 0,081±0,007 | | 0,074 | 0,072 | 0,088 | 0,090 | 0,080 | 0,080 |
| Draslík | 0,290±0,077 | | 0,380 | 0,370 | 0,200 | 0,180 | 0,300 | 0,310 |
| K – využitelný | 0,052±0,009 | | 0,040 | 0,039 | 0,056 | 0,054 | 0,061 | 0,062 |



| | | | | | | | |
|-----------------|--------------------|-------|-------|-------|-------|-------|-------|
| Vápník | 1,007±0,359 | 0,560 | 0,590 | 1,000 | 0,990 | 1,400 | 1,500 |
| Ca – využitelný | 0,528±0,098 | 0,410 | 0,380 | 0,630 | 0,600 | 0,550 | 0,600 |

výsledcích patrný určitý rozdíl v obsahu základních biogenních prvků mezi jednotlivými rybníky. Tyto rozdíly je možné vysvětlit především ve způsobu obhospodařování okolních pozemků nad rybníkem. Zatímco v okolí rybníka Vrbice se nacházejí pastviny, rybník Pláňavy je z poloviny obklopen lesy a ornou půdou. Povodí Novokoželského rybníku je pak převážně zorněné. Tomu odpovídá i celkově vyšší obsah bahna v rybníku.

V tabulkách 34 a 35 je uvedeno relativní složení bahna jak v sušině, tak i surovém stavu. Ve srovnání s hnojem skotu, který má v surovém stavu obsah P – 0,11 %, N – 0,48 % a K – 0,51 % je možné považovat zachycené rybniční bahno na živiny chudší „hnojivo“.

Tabulka 35. Složení rybničného sedimentu zachyceného v hrázkách – podíl živin v čerstvé hmotě (%)

| Parametr | Průměr ±SD | Novo- koželský 2016 | Vrbice* | | Novokoželský* | | Pláňavy* | |
|-----------------|--------------------|---------------------------|---------|-------|---------------|-------|----------|-------|
| | | | 1 | 2 | 1 | 2 | 1 | 2 |
| Sušina | 22,91±5,13 | 20,8 | 30,6 | 31,0 | 17,0 | 20,0 | 21,0 | 20,0 |
| N – celkový | 0,205±0,020 | 0,183 | 0,230 | 0,233 | 0,187 | 0,220 | 0,191 | 0,194 |
| P – celkový | 0,040±0,005 | 0,042 | 0,034 | 0,034 | 0,036 | 0,042 | 0,040 | 0,050 |
| P – využitelný | 0,001±0,000 | | 0,000 | 0,000 | 0,000 | 0,000 | 0,001 | 0,001 |
| C - celkový | 2,030±0,167 | 1,768 | 2,203 | 2,170 | 1,870 | 2,200 | 2,100 | 1,900 |
| TOC | 1,825±0,249 | 1,685 | 2,081 | 2,015 | 1,411 | 1,580 | 2,100 | 1,900 |
| Hořčík | 0,155±0,053 | | 0,230 | 0,229 | 0,102 | 0,122 | 0,124 | 0,122 |
| Mg – využitelný | 0,018±0,003 | | 0,023 | 0,022 | 0,015 | 0,018 | 0,017 | 0,016 |
| Draslík | 0,071±0,033 | | 0,116 | 0,115 | 0,034 | 0,036 | 0,063 | 0,062 |
| K – využitelný | 0,012±0,001 | | 0,012 | 0,012 | 0,010 | 0,011 | 0,013 | 0,012 |
| Vápník | 0,219±0,056 | | 0,171 | 0,183 | 0,170 | 0,198 | 0,294 | 0,300 |
| Ca – využitelný | 0,118±0,006 | | 0,125 | 0,118 | 0,107 | 0,120 | 0,116 | 0,120 |

*výlov v roce 2017

Množství zachyceného sedimentu

Množství sedimentu vytěženého na jednotlivých rybnících je uvedeno v tabulce 36. Jeho objem je poněkud vyšší, než by se dalo očekávat podle vypočtené bilance zachycených nerozpustných látek. To je zřejmě dáné tím, že v mnoha případech bylo ponecháno výpustní zařízení rybníka otevřeno ze sanitárních důvodů i po ukončení našeho sledování. V průběhu tohoto nesledovaného období z rybníků volně unikal další materiál. Druhým faktorem, který navýšoval množství skutečně odtěženého sedimentu je přítomnost vrstev plavenin z předešlých let. Při vlastním odtěžení nebylo možné odlišit, kde je hranice staršího a nového sedimentu. Stoka musela být při čištění uvedena do rádného stavu bez ohledu na skutečnost, kdy se v ní který sediment stabilizoval. Na tomto místě je nutné upozornit na malý objem odtěženého sedimentu na rybníku Brdský, kde došlo při velké vodě k jeho vyplavení ještě před vytěžením. Tato naše zkušenosť vylučuje použití testované technologie na výrazněji průtočných rybnících.

Přepočet objemu odtěženého sedimentu na hmotnost byl proveden násobením objemovou hmotností bahna, která je ve stavebních tabulkách odhadována na 1 800 až 2 000 kg.m³. S ohledem na poměrně vysoké zvodnění sedimentu bylo počítáno s hodnotou na horní hranici intervalu. V tabulce 36 byl proveden přepočet zachycených živin na základě hmotnosti sedimentu a koncentraci živin skutečně zjištěné v daném rybníce, resp. na základě jejich průměrných hodnot. Získané (zachycené) absolutní hodnoty živin jsou rovněž přepočteny na



hektar. Provedeny byly rovněž ekvivalentní přepočty obsahu živin v bahně na dávku hnoje skotu v surovém stavu pro základní biogenní prvky.

Tabulka 36. Množství zachyceného sedimentu a obsah jeho živin

| Parametr | Spolu / Průměr | Jenšovský | Podsilničný | Novokoželský | Ouhlín | Brdský | Vrbice | Pláňavy | Novokoželský | Mokry |
|-----------------------------------------------------|-------------------|-----------|-------------|--------------|--------|--------|--------|---------|--------------|---------|
| Vodní plocha (ha) | 51,34 | 3,93 | 1,80 | 5,00 | 6,20 | 0,91 | 0,80 | 7,70 | 5,00 | 20,0 |
| Objem sedimentu (m ³) | 252 | 17,5 | 22,0 | 49,0 | 13,0 | 2,0 | 1,36 | 17,35 | 55,5 | 74,75 |
| Hmotnost sedimentu (t) | 504,9 | 35,0 | 44,0 | 98,0 | 26,0 | 4,0 | 2,73 | 34,7 | 111,0 | 149,5 |
| Hmot. sedimentu v sušině (kg) | 107 399,04 | 8018,5 | 10080,4 | 20384,0 | 5956,6 | 916,4 | 840,7 | 7212,0 | 19740,0 | 34250,5 |
| Hmot. sedimentu v sušině (kg.ha ⁻¹) | 2 370,3 | 2040,3 | 5600,2 | 4076,8 | 960,7 | 1007,0 | 1050,9 | 936,6 | 3948,0 | 1712,5 |
| N – celkový v sedimentu (kg) | 1 015,89 | 74,0 | 93,03 | 179,38 | 54,97 | 8,46 | 6,31 | 66,53 | 217,14 | 316,08 |
| N – celkový v sedimentu (kg.ha ⁻¹) | 22,3 | 18,8 | 51,7 | 35,9 | 8,9 | 9,3 | 7,9 | 8,6 | 43,4 | 15,8 |
| N – celkový přepočet na hnůj (kg) | 2 116,44 | 154,17 | 193,81 | 373,71 | 114,52 | 17,62 | 13,14 | 138,60 | 452,38 | 658,51 |
| N – celkový přepočet na hnůj (kg.ha ⁻¹) | 46,40 | 39,23 | 107,67 | 74,74 | 18,47 | 19,36 | 16,42 | 18,00 | 90,48 | 32,93 |
| P – celkový v sedimentu (kg) | 206,04 | 14,66 | 18,43 | 40,77 | 10,89 | 1,68 | 0,92 | 14,60 | 41,45 | 62,63 |
| P – celkový v sedimentu (kg.ha ⁻¹) | 4,47 | 3,73 | 10,24 | 8,15 | 1,76 | 1,84 | 1,16 | 1,90 | 8,29 | 3,13 |
| P – celkový přepočet na hnůj (kg) | 9 235,37 | 672,72 | 845,71 | 1 630,72 | 499,74 | 76,88 | 57,32 | 604,81 | 1 974,0 | 2 873,5 |
| P – celkový přepočet na hnůj (kg.ha ⁻¹) | 202,3 | 171,18 | 469,84 | 326,14 | 80,60 | 84,49 | 71,65 | 78,55 | 394,80 | 143,67 |
| K – celkový v sedimentu (kg) | 294,11 | 23,25 | 29,23 | 59,11 | 17,27 | 2,66 | 3,15 | 21,79 | 38,32 | 99,33 |
| K – celkový v sedimentu (kg.ha ⁻¹) | 6,56 | 5,92 | 16,24 | 11,82 | 2,79 | 2,92 | 3,94 | 2,83 | 7,66 | 4,97 |
| K – celkový přepočet na hnůj (kg) | 576,69 | 45,60 | 57,32 | 115,91 | 33,87 | 5,21 | 6,17 | 42,72 | 75,14 | 194,76 |
| K – celkový přepočet na hnůj (kg.ha ⁻¹) | 12,90 | 11,60 | 31,84 | 23,18 | 5,46 | 5,73 | 7,72 | 5,55 | 15,03 | 9,74 |
| C – celkový v sedimentu (kg) | 10 108,63 | 735,38 | 924,47 | 1732,64 | 546,28 | 84,04 | 59,61 | 713,70 | 2171,40 | 3141,11 |
| C – celkový v sedimentu (kg.ha ⁻¹) | 220,69 | 187,12 | 513,60 | 346,53 | 88,11 | 92,35 | 74,51 | 92,69 | 434,28 | 157,06 |
| Mg – celkový v sedimentu (kg) | 685,57 | 52,12 | 65,52 | 132,50 | 38,72 | 5,96 | 6,26 | 42,85 | 119,02 | 222,63 |
| Mg – celkový v sedimentu (kg.ha ⁻¹) | 15,25 | 13,26 | 36,40 | 26,50 | 6,24 | 6,55 | 7,82 | 5,57 | 23,80 | 11,13 |
| Ca – celkový v sedimentu (kg) | 1 097,92 | 79,96 | 100,52 | 203,26 | 59,40 | 9,14 | 4,85 | 102,47 | 196,82 | 341,53 |
| Ca – celkový v sedimentu (kg.ha ⁻¹) | 23,58 | 20,35 | 55,84 | 40,65 | 9,58 | 10,04 | 6,06 | 13,31 | 39,36 | 17,08 |

Z výsledků uvedených v tabulce 36 plyne, že množství zachycených živin je u sledovaných rybníků různé. Nicméně i zde je možné vysledovat vztah mezi množstvím unikajících živin a typem povodí nad rybníkem. Z rybníků velmi zabahněných (Podsilničný, Novokoželský) uniká celkově více sedimentu a tím i živin v nich obsažených. Skutečný rozsah by byl možná ještě výraznější, pokud by koncentrace živin byly počítány z reálných hodnot obsahu živin toho kterého rybníka a ne jenom z průměrných hodnot získaných ze sedmi analýz na třech rybnících. Zajímavé je i srovnání přepočtu ekvivalentu dávky získaného sedimentu na hnůj skotu. Z této výpočtu plyne, že průměrné množství bahna získané z hektaru rybníka představuje (při přepočtu na P) ekvivalentní dávku 200 kg.ha⁻¹ hnoje skotu, což je 50 % legislativně povolené startovací dávky. Průměrný poměr živin (P : N : C) v zachyceném bahně byl zjištěn na úrovni 1 : 5,21 : 51,67. Z toho vyplývá, že rybniční bahno je vcelku bohatým zdrojem uhlíku.



4.12 Ekonomické aspekty budování a provozu hrázek

Náklady na 1 ha rybníku

Náklady na budování a odstranění hrázek jsou uvedeny v tabulce č. 37. Základní vstupní data vycházejí ze skutečně vynaložených nákladů dodaných Blatenskou rybou, spol. s r.o. Vše potřebné k budování a likvidaci hrázek provedla fa Radek Šimsa, Blatná (IČO: 63292394), která subdodavatelsky uspěla na základě nejvýhodnější podané nabídky. Náklady na balíky sena (50 Kč/ks) odpovídají jejich skutečné spotřebě na rybnících. Cena fixačního materiálu (klece, kůly, fixační tyče 30 000,- Kč), jakož i vlastní stavba hrázek byla rozpočítaná paušálně na všechny rybníky rovným dílem (22 890,- Kč). Náklady na odstranění hrázek jsou rozpočítány poměrem z celkově vysoutěžené ceny (77 040,- Kč) podle podílu pracnosti a objemu odvedené práce na daném rybníce. Hodnota jutové tkaniny pak odpovídá ceně skutečně spotřebovaného množství.

Z přehledových výsledků je patrné, že náklad na 1 ha plochy rybníka je velmi různorodý. Malé rybníky (Brdský a Vrbice) vykazují nadprůměrnou výšku nákladů, zatímco 20 ha velký rybník Mokrý je výrazně pod průměrem. Obdobný trend ukazuje rovněž přepočet nákladů na kubík protečené vody a zachycení, resp. vytěžení 1 kg sedimentu (zde částečně zkresluje hodnotu podíl staršího sedimentu). Náklady na odstranění sedimentu, resp. vyčištění stoky pod rybníkem po ukončení sledování jsou výrazně vyšší tam, kde je složitý přístup vyžadující malou mechanizaci a špatný stav stoky (Vrbice). Na rybníku Brdský jsou vysoké náklady na 1 kg sedimentu z důvodu malého množství vytěženého sedimentu. Naproti tomu v udržované a dobře přístupné stoce (Novokoželský a Mokrý) jsou náklady na 1 kg vytěženého sedimentu výrazně nižší.

Tabulka 37. Přehled kalkulace nákladů na provoz hrázek k zachycení rybničného sedimentu (ceny bez DPH)

| Parametr | Spolu / Průměr | Jenšovský | Podolský | Novokoželský | Ouhlín | Brdský | Vrbice | Pláňavy | Novokoželský | Mokrý |
|-------------------------------------------------------|-------------------|---------------|---------------|---------------|---------------|---------------|---------------|---------------|---------------|---------------|
| Vodní plocha (ha) | 51,34 | 3,93 | 1,80 | 5,00 | 6,20 | 0,91 | 0,80 | 7,70 | 5,00 | 20,0 |
| Objem proteklé vody hrázkami (m ³) | 17 437 | 3 875 | 885 | 3 645 | 1 042 | 570 | 210 | 624 | 1 076 | 5 510 |
| Objem vytěženého sedimentu (m ³) | 252 | 17,5 | 22,0 | 49,0 | 13,0 | 2,0 | 1,36 | 17,35 | 55,5 | 74,75 |
| Hmotnost sedimentu (t) | 504,9 | 35,0 | 44,0 | 98,0 | 26,0 | 4,0 | 2,73 | 34,7 | 111,0 | 149,5 |
| Balíky slámy (Kč) | 30 000 | 3 500 | 3 500 | 3 500 | 3 000 | 3 500 | 2 500 | 3 500 | 3 500 | 3 500 |
| Fixační materiál (Kč) | 30 000 | 3 333 | 3 333 | 3 333 | 3 333 | 3 333 | 3 333 | 3 333 | 3 333 | 3 333 |
| Stavba hrázek (Kč) | 22 890 | 2 543 | 2 543 | 2 543 | 2 543 | 2 543 | 2 543 | 2 543 | 2 543 | 2 543 |
| Odstranění hrázek (Kč) | 77 040 | 5 992 | 10 272 | 15 408 | 4 280 | 1 712 | 7 704 | 8 560 | 12 840 | 10 272 |
| Jutová tkanina (Kč) | 2 204 | | | | | | | 1 102 | 1 102 | |
| Náklady celkem (Kč) | 162 134 | 15 369 | 16 649 | 24 785 | 13 157 | 11 089 | 16 081 | 19 039 | 23 319 | 19 649 |
| Náklady na 1 ha rybníka (Kč) | 6 923,30 | 3 911 | 10 916 | 4 957 | 2 122 | 12 185 | 20 101 | 2 473 | 4 664 | 982 |
| Náklady na m³ proteklé vody (Kč) | 21,9 | 4,0 | 22,2 | 6,8 | 12,6 | 19,5 | 76,6 | 30,5 | 21,7 | 3,6 |
| Náklady na zachycení 1 t sedim. (Kč) | 1244,1 | 439,1 | 446,5 | 252,9 | 506,0 | 2772,0 | 5890,1 | 548,6 | 210,1 | 131,4 |
| Výpočet nákladů na živiny zachycené z vody | | | | | | | | | | |
| Náklady na zachycení 1 kg NL ₁₀₅ (tis. Kč) | 0,148 | 0,011 | 0,069 | 0,423 | 0,481 | 0,049 | 0,052 | 0,200 | 0,022 | 0,025 |
| Náklady na zachycení 1 kg TP (tis. Kč) | 50,41 | 1,35 | 16,62 | 112,65 | | 7,91 | 196,10 | 50,90 | 4,16 | 13,55 |
| Náklady na zachycení 1 kg TN (tis. Kč) | 44,13 | 1,17 | 13,19 | 2,85 | 219,27 | 20,92 | 100,50 | 19,43 | 12,34 | 7,56 |
| Náklady na zachycení 1 kg TOC (tis. Kč) | 7,92 | 0,18 | 1,50 | 0,20 | 57,20 | 1,06 | | 2,24 | 0,21 | 0,80 |



| | Výpočet nákladů na živiny zachycené v sedimentu | | | | | | | | | |
|----------------------------------------|-------------------------------------------------|-------|-------|-------|-------|-------|--------|-------|-------|-------|
| Náklady na zachycení 1 kg P (tis. Kč) | 3,346 | 1,048 | 1,066 | 0,608 | 1,208 | 6,617 | 17,388 | 1,304 | 0,563 | 0,314 |
| Náklady na zachycení 1 kg N (tis. Kč) | 0,568 | 0,208 | 0,211 | 0,138 | 0,239 | 1,311 | 2,550 | 0,286 | 0,107 | 0,062 |
| Náklady na zachycení 1 kg C (tis. Kč) | 0,058 | 0,021 | 0,021 | 0,014 | 0,024 | 0,132 | 0,270 | 0,027 | 0,011 | 0,006 |
| Náklady na zachycení 1 kg Ca (tis. Kč) | 0,625 | 0,192 | 0,195 | 0,122 | 0,221 | 1,213 | 3,319 | 0,186 | 0,118 | 0,058 |

Tyto relativně vysoké náklady odpovídají nákladům na pilotní testování nové technologie.

Do budoucna je reálné jejich snížení. Větší úspory jsou dosažitelné prakticky ve všech položkách s výjimkou jutové tkaniny (snad množstevní sleva). Na každém rybníce je možné o trochu snížit spotřebu balíků (minimalizovat rozpadlé kusy), nebo si je začít pořizovat ve vlastní režii. Jednou pořízený fixační materiál je použitelný opakováně a tak tato položka může poklesnout velmi výrazně. Náklady na stavbu hrázek obsahují především mzdy. Podle našeho pozorování je reálné, aby sehraný tým 3–4 pracovníků, postavil 2 bariery v průběhu 1 až 2 hodin. Při vlastní výstavbě hrázek fakticky nejvíce zdržuje odnos balíků z přepravujícího vozidla ke storce (ne vždy je vhodná příjezdová cesta k místu budování hrázek). Při průměrné sazbě 150 Kč/hod. tak vzniká náklad jen na úrovni 450–1 200 Kč/rybník. Nejvýznamnější nákladovou položku však představuje čištění stoky pod rybníkem, které vyžaduje speciální mechanizaci. Zde je možné ušetřit rovněž, a to díky pravidelnému čištění stoky, která tím bude průběžně udržována v perfektním stavu (viz. Novokoželský 2017 a Mokrý). Množství zachyceného sedimentu se sice nesníží, ale bude jej možné odtěžit za kratší čas. Práce mechanizace je obvykle placena hodinovou sazbou.

Náklady na 1 kg zachycených nerozpuštěných látek (živin)

Výpočet nákladů na 1 kg z vody zachycený, resp. v sedimentu vytěžených živin ukazuje rovněž tabulka č. 37. Z ní je patrné, že zachycení 1 kg NL₁₀₅ z vody stálo v průměru 148 Kč, zatímco náklady na 1 kg TP a TN dosahovali desítek tisíc korun, resp. u TOC spíše jednotky tisíce korun. Tyto náklady byly samozřejmě výrazně ovlivněny retencí dosaženou na tom kterém rybníce. Jak jsme již uvedli výše, ta byla různorodá z mnoha důvodů.

Náklady vypočtené na zachycení 1 kg živin ze sedimentu vypadají mnohem příznivěji. Nejvyšší jsou opět u celkového fosforu, ale jejich hodnota je v průměru pouze 3,3 tis. Kč·kg⁻¹. U dusíku a vápníku dosahují náklady v průměru jen necelých 600 Kč·kg⁻¹, resp. u uhlíku pouze 58 Kč·kg⁻¹.



5 Závěr

Výběr vhodné lokality

Na základě našich zkušeností můžeme pro tuto technologii doporučit spíše menší rybníky o velikosti do cca 10 ha. Prostor pod rybníkem by měl mít mírný spád a být přístupný pro mechanizaci (bez stromů, únosný terén). Vlastní odtoková stoka by neměla být silně zabahněná s „měkkým dnem“, neboť hrozí vysoké riziko podtékání barier. Ideální hloubka stoky je cca 50–60 cm. Za výhodu je možné považovat potenciál pro rozlití vody na okolní pozemky. Důležitá je však skutečnost, že rybník nesmí být postaven na vydatném vodním toku, bez možnosti regulace obtoku (problém ředění a vypláchnutí sedimentu).

Budování barier

Bariery je vhodné budovat z balíků sena/slámy, které jsou lisované co nejméně, jen aby držely tvar (nižší hmotnost, lepší tvarování). Pro položení spodní řady je dobré několik balíků namočit cca na 12–24 hod. před instalací ve stoce (nezapomenout na jejich fixaci, jinak uplavou). Vlastní barieru se osvědčilo stavět ze dvou řad balíků se vzájemným překryvem místo dotyku. Maximální výška bariery je do 1,2 m (3 řady balíků na sebe), neboť tlak vody vznikající při této výšce nad barierou je udržitelný pomocí jednoduchých fixačních prvků. K fixaci balíků se osvědčilo používat propichovací trny ve tvaru T – menší riziko poranění! Vhodné je mít alespoň dvě velikosti fixačních trnů (na 1 balík/80 cm, na 3 balíky/150 cm). Vyšší hráze je vhodné na vzdušné strany zapřít o opěrnou konstrukci (ocelová klec). U mělkých stok je vhodné po stranách vybudovat křídla, která usměrní tok vody do vegetačního krytu a zvýší její akumulovaný objem. Problematické podtékání barier je možné zmírnit vystláním prostoru nad hrázkou jutovou tkaninou (min. 2–3 m).

Změny kvality vody

Průtokem vody soustavou dvou dočasných barier dochází ke zlepšení její kvality. Statisticky byl prokázán rozdíl – pokles u všech sledovaných laboratorně analyzovaných parametrů mezi hodnotami na profilu A (pod hrází rybníka) a profilu B (pod druhou barierou) s výjimkou $\text{Fe}_{\text{rozp.}}$ (rozdíl neprokázán), resp. $\text{P}_{\text{rozp.}}$ (došlo naopak k jeho zvýšení). V průběhu strojení a výlovu rybníka dochází k postupnému nárůstu koncentrace všech sledovaných parametrů. Jejich maximální úroveň kulminuje ve fázi výlovu (BSK_5 , NL_{105} , NL_{550} , Fe a $\text{Fe}_{\text{rozp.}}$) nebo až po něm (CHSK_{Cr} , TN_{TP} , TOC , TIC , TC , $\text{KNK}_{4,5}$, Ca). Tyto hodnoty jsou obvykle mnohonásobně vyšší ve srovnání s fází „noc před výlovem“. Nicméně snížení jejich koncentrace průtokem přes bariery je v těchto fázích v průměru poměrně vysoké (nad -50 %). V některých případech však bylo dosahováno snížení nad -90 %. U sledovaných základních fyzikálně chemických parametrů byly zjištěny obvykle jen malé změny jejich průtokem přes bariery. Za zmínu stojí mírný pokles hodnoty pH při průtoku barierami, jakož i jeho pokles v průběhu výlovu. Množství kyslíku je průtokem barier obvykle zvyšováno, s výjimkou fáze hodiny po výlovu, kdy naopak klesá.

Zachycený sediment

Celkem bylo na všech rybnících odtěženo 252 m^3 sedimentu o odhadované hmotnosti 504,9 tun (surový stav), tedy v průměru $9\,834 \text{ kg} \cdot \text{ha}^{-1}$. V tomto sedimentu bylo odtěženo celkem 1 015,89 kg celkového dusíku ($22,3 \text{ kg} \cdot \text{ha}^{-1}$), 206,04 kg celkového fosforu ($4,47$



kg.ha^{-1}), 294,11 kg celkového draslíku ($6,56 \text{ kg.ha}^{-1}$), 1 097,92 kg celkového vápníku (23,58 kg.ha^{-1}) a 10 108,63 kg celkového uhlíku (220,69 kg.ha^{-1}). Průměrné množství vytěženého fosforu ze sedimentu – 4,47 kg.ha^{-1} , odpovídá odtěžení fosforu obsádkou ryb o biomase 527 kg.ha^{-1} . Veškerý odtěžený sediment včetně hrázeck z balíků slámy byl umístěn zpět do rybníků.

Z hlediska provozu hrázeck z balíků slámy je vhodné doporučovat kontinuální vypouštění vody při strojení s vyhýbáním se extrémních stavů (neteče žádná voda/maximální průtok vody). Jako bonusový efekt fungování hrázeck je možné spatřovat zachycení plevelních ryb, zejména střevličky východní v prostoru barier.

Ekonomika provozu hrázeck

Náklady na výstavbu a likvidaci hrázeck jsou relativně vysoké a průměru dosahly 6 923,3 Kč na hektar rybníku, resp. 21,9 Kč na kubík protečené vody, resp. 1 244,1 Kč na zachycení 1 tuny sedimentu. Nejvyšší nákladovou položkou bylo vytěžení zachyceného sedimentu a vlastní balíky slámy. Pozitivní je však skutečnost, že prakticky u všech uvažovaných nákladových položek je do budoucna reálný prostor pro jejich snížení.

Další možnost využití

Tato testovaná inovativní technologie budování dočasných barier ve stoce pod rybníkem může být využita rovněž i pro zachytávání sedimentu unikajícího z rybníku při jeho odbahňování nebo rekonstrukci. O takovéto uplatnění v praxi již projevili zájem pracovníci AOPK v Českých Budějovicích na základě prezentace dosažených výsledků odborné veřejnosti.

Poděkování

Přesto, že situace, ale i výsledky na některých rybnících nedopadly zcela podle našich představ, můžeme považovat výběr rybníků, provedení testování a získané výsledky za dobré. Zdánlivý negativní výsledek, resp. komplikace technického charakteru totiž dobře a věrně ukázaly možnosti, ale i slabiny této nové inovativní technologie. Pracovat s takto různorodou a velkou skupinou rybníků bylo šťastné rozhodnutí!

Nyní patří poděkovat těm, kteří se do realizace tohoto projektu nějakým způsobem zapojili. Velký dík patří především pracovníkům střediska Sedlice za dobré podmínky, které nám při vlastní realizaci projektu vytvářeli. Speciální poděkování si zaslouží strojíči jednotlivých rybníků, kteří nám s velkou trpělivostí a pochopením vycházeli vstříc při manipulaci s vodou. Dále patří poděkovat za pomoc kolegům, kteří se zapojili do vzorkování v terénu: **M.Sc. Marcellin Rutegwa, Bc. Jan Dofek, doc. RNDr. Zdeněk Adámek, CSc. a Bc. Martin Vágner**, resp. za práci v laboratoři: **Mgr. Michal Kutý, Ph.D.** Za konzultace o možnostech omezení podtékání barier děkuji Ing. Václavu Davidovi, Ph.D. z ČVUT Praha. **Na závěr děkujeme rovněž managementu podniku Blatenská ryba, spol. s r.o. za jeho důvěru a celkovou podporu.**



Literatura:

- Adámek, Z., Helišic, J., Maršíálek, B., Rulík, M., (2010). Aplikovaná hydrobiologie. Vodňany Jihočeská univerzita v Českých Budějovicích, FROV, Vodňany.
- Banas D., Masson G., Leglize L., Pihan J-C (2002). Discharge of sediments, nitrogen (N) and phosphorus (P) during the emptying of extensive fishponds: effect of rain-fall and management practises. Hyrobiologia 472: 29-38.
- Banas D., Masson G., Leglize L., Usseglio-Polatera, P., Boyd, C. E., (2008). Assessment of sediment concentration and nutrient loads in effluents drained form extensively managed fishponds in France, Environmental Pollution (152) 679–685.
- Boyd, C. E., (1978). Effluent from Catfish Ponds during Fish Harvest. J. Environ. Qual. (7) 1:59–62.
- Butz I. (1988) Situation of fish – farm effluents in Austria. Monistettuja Julkaisuja (Helsinki) 47:4-12.
- Čašek, J., (2016). Zdroje sedimentu v nádrži, In: V. David a T. Davidová (Editor), Sborník příspěvků z odborné konference „Rybničky 2016“. 23. a. 24. 6. 2016. Praha, Česká společnost krajinných inženýrů, Praha: pp 139–144. ISBN 978-80-01-05978-4.
- ČSN EN 1899-1 (75 7517) Jakost vod - Stanovení biochemické spotřeby kyslíku po n dnech (BSKn) - Část 1: Zřed'ovací a očkovací metoda s přídavkem allylthiomocoviny
- ČSN EN 1899-2 (75 7517) Jakost vod - Stanovení biochemické spotřeby kyslíku po n dnech (BSKn) - Část 2: Metoda pro neředěné vzorky
- ČSN ISO 15705 (75 7521) Jakost vod - Stanovení chemické spotřeby kyslíku (CHSKcr) - Metoda ve zkumavkách
- ČSN EN 1484 (75 7515) Jakost vod - Stanovení celkového organického uhlíku (TOC) a rozpuštěného organického uhlíku (DOC)
- ČSN EN 872 (757349) Jakost vod - Stanovení nerozpuštěných látek - Metoda filtrace filtrem ze skleněných vláken
- ČSN EN ISO 9963-1 (757371) Jakost vod. Stanovení kyselinové neutralizační kapacity (KNK). Část 1: Stanovení KNK4,5 a KNK8,3
- ČSN EN ISO 17294-2 (757388) Kvalita vod – Použití hmotnostní spektrometrie indukčně vázaným plazmatem (ICP-MS) – Část 2: Stanovení vybraných prvků včetně izotopů uranu
- Duras J., Potužák J., Marcel M., Pechar L. (2015). Rybníky a jakost vody. Vodní hospodářství 7:16 – 24.
- Hejzlar J., Šámalová K., Boers K., Kronvang B. (2006). Modelling phosphorus retention in lakes and reservoirs. Water Air Soil Pollut Focus 6:487 – 494.
- Kalenda M., Vojtěch V., Gergel J. (1982). Obsah některých živin a látek vypouštěných rybníků ve vodě. Československé rybníkářství. 1: 8-16.
- Knösche, R., Schreckenbach, K., Pfeifer, M., Weissenbach, H., 1998. Phosphor und Stickstoffbilanzen von Karpfenteichen. Zeitschrift fur Okologie und Naturschutz 7: 181–189.
- Knösche R., Schreckenbach K., Pfeifer M., Weissenbach H. (2000) Balances of phosphorus and nitrogen in carp ponds. Fisheries and Ecology 7:15-22.
- Kwei Lin, C., Yang Yi, Y., (2003). Minimizing environmental impacts of freshwater aquaculture and reuse of pond effluents and mud. Aquaculture 226: 57-58
- Kwei Lin, C., Shrestha, K., M., Yang Yi, Y., Diana J., S., (2008). Management to minimize the environmental impacts of pond effluent: harvest draining techniques and effluent quality, Aquaculture Engeneering (25), 125-135.



Mikšíková K. (2011) Sledování množství nerozpustených látek a celkového fosforu v průběhu vypouštění rybniční nádrže. Juniorstav. 3. Vodní hospodářství a vodní stavby. 7s.

Mikšíková, K., Dostál, T., Vrána, K., Rosendorf, P., (2012). Transport sedimentu a fosforu při výlovu malých vodních nádrží. Vodní hospodářství (6), s. 203–208.

Muendo P. N., Verdegem C. J. M., Stoorvogel J. J., Milstein A., Gamal E., Duc P. M., Verreth J. A. J., (2014). Sediment Accumulation in Fish Ponds; Its Potential for Agricultural Use. International Journal of Fisheries and Aquatic Studies. 1(5):228–241.

Pechar L. (2015) Století eutrofizace rybníků – synergický efekt zvyšování zátěže živinami (fosforem a dusíkem) a nárůstu rybích obsádek. Vodní hospodářství. 7:1-6.

Poštulková, E., Kopp, R. Lang. Š., Brabec, T., (2012). Změny kvality vody při vypouštění rybníka. In: XVI. Konference ČLS a SLS, 25 – 29. júna Jasné, s. 126–129.

Potužák, J., Duras, J., 2012. Látkové bilance rybníků a k čemu jsou dobré? Sborník referátů konference „Chov ryb a kvalita vody“, Rybářské sdružení ČR, České Budějovice, 49–63 s.

Potužák J., Duras J. (2015) Nutrient retention in fishponds – importance, assessment and possible use. Vodní hospodářství 65(7):7-15(in Czech).

Potužák J., Duras J., Kröpfelová L., Šulcová J., Chmelová I., Benedová Z., Svoboda T., Novotný O. (2015) Rybniční sediment – nový pohled na recyklaci živin v zemědělské krajině. In: Vodohospodářská konference - Vodní nádrže 2015 (sborník), str. 50–54.

Potužák, J., Duras, J., Kröpfelová, L., (2015). Rybniční sediment – kam s ním? In. M. Urbánek (Editor), Sborník referátů z 3. ročníku odborné konference Rybářského sdružení ČR. 19. a 20. 2. 2015. České Budějovice, Rybářské sdružení České republiky, České Budějovice: pp 59-66. ISBN 978-80-87699-04-1

Potužák J., Duras J., Drozd B., (2016). Mass balance of fishponds: are they sources or sinks of phosphorus ? Aquacult Int. 24:1725-1745.

Potužák J., Duras J., Kröpfelová L., Šulcová J., Baxová-Chmelová I., Benedová Z., Svoboda T., Novotný O., Pokorný J. (2017). Rybniční sedimenty a nové možnosti recyklace živin a organických látek v malých povodích-příkladová studie rybník Horusický. Rybníkářství (9) str. 6-8.

Rozkošný M., Adámek Z., Heteša J., Všetičková L., Marvan P., Sedláček P. (2011) Impact of pond management on the water ecosystems of streams in the South Moravia region. VTEI 1/2011

Schwartz, MF., Boyd, CE.(1994) Effluent quality during harvest of channel catfish from watershed ponds. Progressive fish-culturist 56: 25-32.

Šulcová, J., Baxa, M., Köpfelová, L., Baxová Chmelová, I., (2017). Monitoring rybničních sedimentů v letech 2011–2017. In: V. David a T. Davidová (Editor), Sborník příspěvků z odborné konference „Rybničky 2017“. 15. a. 16. 6. 2017. Praha, Česká společnost krajinných inženýrů, Praha: pp 144–154. ISBN 978-80-01-06166-4. ISSN 2570-5075

Vallod D., Sarrazin B (2010). Water quality characteristics for draining and extensive fish farming pond. Hydrol. Sci. J. 55(3): 394–402.

Vaníček, M., (2014). Chytré řešení pro odbahnění a protierozní ochranu břehů, Vodní hospodářství (9), str. 21–22.



EVROPSKÁ UNIE
Evropský námořní a rybářský fond
Operační program Rybářství



Fakulta rybářství
a ochrany vod
Faculty of Fisheries
and Protection
of Waters

Jihočeská univerzita
v Českých Budějovicích
University of South Bohemia
in České Budějovice
Czech Republic

Přílohy:

1. Fotodokumentace rybník Jenšovský
2. Fotodokumentace rybník Podsilničný
3. Fotodokumentace rybník Novokoželský 2016
4. Fotodokumentace rybník Ouhlín
5. Fotodokumentace rybník Brdský
6. Fotodokumentace rybník Vrbice
7. Fotodokumentace rybník Pláňavy
8. Fotodokumentace rybník Novokoželský 2017
9. Fotodokumentace rybník Mokrý



EVROPSKÁ UNIE
Evropský námořní a rybářský fond
Operační program Rybářství



Fakulta rybářství
a ochrany vod
Faculty of Fisheries
and Protection
of Waters

Jihočeská univerzita
v Českých Budějovicích
University of South Bohemia
in České Budějovice
Czech Republic

Příloha č. 1 – rybník Jenšovský





A – celkový pohled na rybník, B – stoka pod rybníkem, C – první bariera celkový pohled, D – první bariera detail, E – druhá bariera celkový pohled, F – plevelné ryby u hladiny, G – vytěžený sediment, H – vyčištěná stoka, CH – umístění sedimentu do rybníku,

Příloha č. 2a – rybník Podsilničný



A – celkový pohled na rybník, B – stoka pod rybníkem, C – první bariera celkový pohled, D – první bariera s vodou, E – první bariera zanešená sedimentem, F – vyčištěná stoka, G – umístění sedimentu do rybníku, H – vyčištěná stoka,



Příloha č. 2b – rybník Podsilničný



A – první bariera pohled shora, **B** – první bariera pohled ze spodu, **C** – první bariera větší průtok, **D** – první bariera menší průtok, **E** – podtékání bariery, **F** – hustá vegetace výtopy nad druhou barierou, **G** – druhá bariera celkový pohled, **H** – výtok zatrubněné části odpadní stoky z rybníka,



Příloha č. 3a – rybník Novokoželský 2016



A – celkový pohled na rybník, **B** – stoka pod rybníkem, **C** – stoka pod rybníkem, **D** – stoka pod rybníkem po výlovu, **E** – první bariera při výlovu, **F** – první bariera po výlovu, **G** – druhá bariera při vysokém průtoku, **H** – druhá bariera při nízkém průtoku,



Příloha č. 3b – rybník Novokoželský 2016





A – náročné klimatické podmínky při výlovu, **B** – druhá bariera pohled shora, **C** – první bariera pohled zespoda, **D** – druhá bariera pohled zespoda, **E** – první bariera po výlovu, **F** – druhá bariera po výlovu, **G** – povrchová eroze vody v lovišti, **H** – sediment v rybníku, **CH** – vyčištěná stoka pod rybníkem,

Příloha č. 4a – rybník Ouhlín





A – celkový pohled na rybník, **B** – stoka pod rybníkem, **C** – vyplavené dno stoky pod barierou, **D** – stoka pod rybníkem po výlovu, **E** – první bariera při výlovu, **F** – první bariera podtekání při malém průtoku, **G** – druhá bariera, **H** – vegetace ve výtopě druhé bariery,

Příloha č. 4b – rybník Ouhlín



A – sběr plůdku po dně rybníka, **B** – plůdek ukrytý ve vegetaci, **C** – sediment ve stope nad první barierou, **D** – sediment ve stope nad druhou barierou, **E** – sediment v rybníku, **F** – vyčištěná stoka pod rybníkem, **G** – vyčištěná stoka pod rybníkem,



EVROPSKÁ UNIE
Evropský námořní a rybářský fond
Operační program Rybářství



Fakulta rybářství
a ochrany vod
Faculty of Fisheries
and Protection
of Waters

Jihočeská univerzita
v Českých Budějovicích
University of South Bohemia
in České Budějovice
Czech Republic

Příloha č. 5 – rybník Brdský



G

H



A – celkový pohled na rybník, B – stoka pod rybníkem, C – louka pod rybníkem, D – první bariera pohled shora, E – první bariera pohled zdola, F – první bariera pohled shora, G – druhá bariera při malém průtoku vody, H – druhá bariera při velkém průtoku vody,

Příloha č. 6a – rybník Vrbice





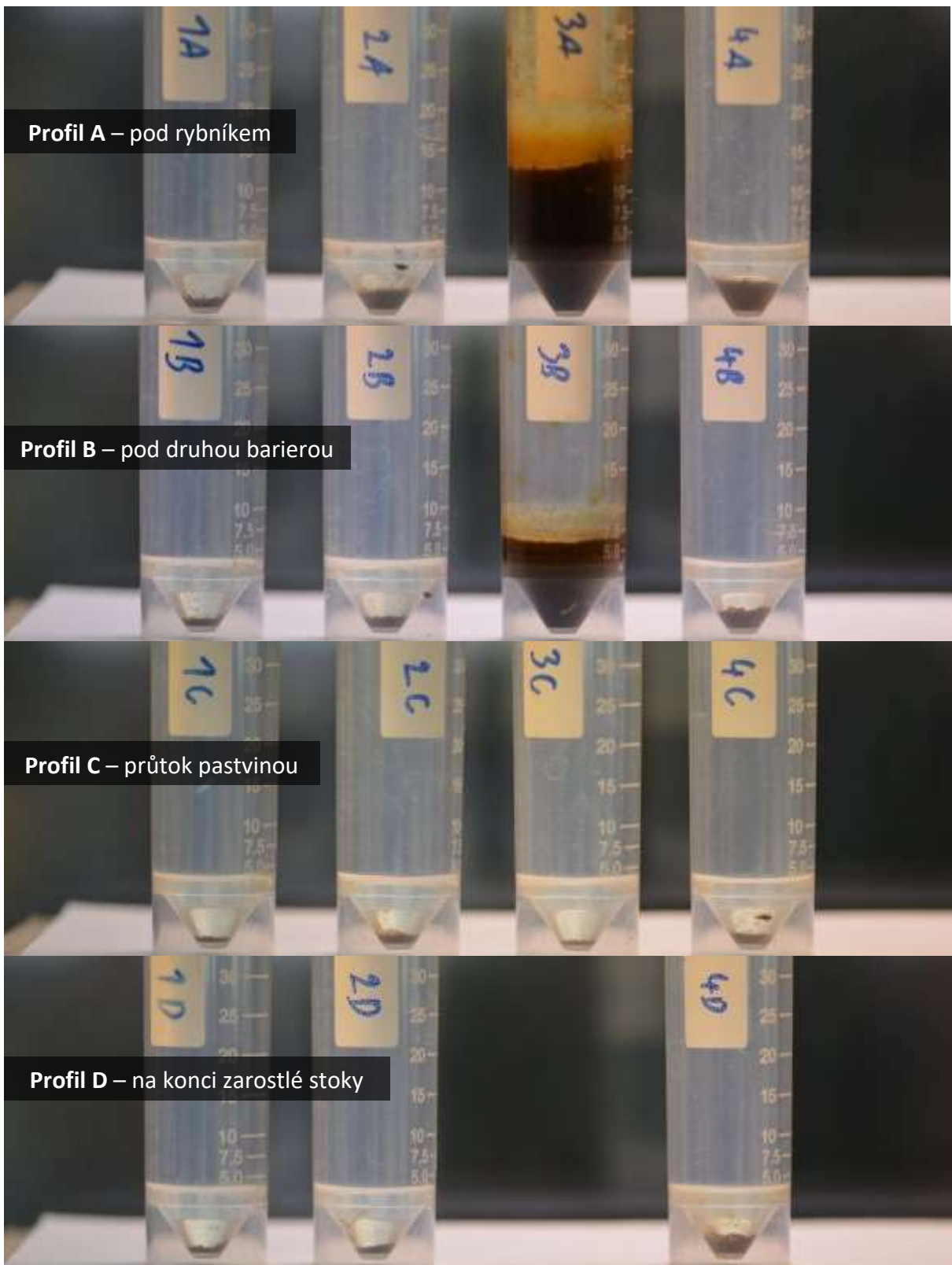
A – celkový pohled na rybník, B – stoka pod rybníkem, C – prostor pro vybudování první bariery, D – prostor pro vybudování druhé bariery, E – první bariera pohled zdola, F – druhá bariera pohled shora, G – zachycené plevelní ryby nad první barierou, H – sediment ve druhé barieře po výlovu,

Příloha č. 6b – rybník Vrbice



A – průtok vody přes pastvinu u první bariery, **B** – průtok vody přes pastvinu u druhé bariery, **C** – sediment a plevelné ryby zachycené v trávě, **D** – sediment zachycený v trávě, **E** – místo vzorkování profilu „C“, **F** – zarostlá stoka pod druhou barierou, na konci byl profil „D“, **G** – vyčištěná stoka v prostoru první bariery, **H** – vyčištěná stoka v prostoru druhé bariery,

Příloha č. 6c – rybník Vrbice



Vizuální demonstrace změny kvality vody po průtoku barierami na rybníku Vrbice,
1 – ráno před výlovem, 2 – těsně před výlovem, 3 – výlov, 4 – hodina po výlovu,



A – celkový pohled na rybník, **B** – stoka pod rybníkem před výlovem, **C** – stoka pod rybníkem, **D** – stoka pod rybníkem při výlovu, **E** – stoka pod rybníkem po výlovu, **F** – první bariera pohled shora, **G** – první bariera pohled zdola, **H** – sediment v první bariéře po výlovu, **CH** – sediment v druhé bariéře po výlovu,

Příloha č. 7b – rybník Pláňavy



A – menší průtok vody přes první barieru, **B** – větší průtok vody přes první barieru, **C** – menší průtok vody přes druhou barieru, **D** – větší průtok vody přes druhou barieru, **E, F** – zachycené plevelné ryby, **G** – závěr výlovu na kesery, plevelná ryba u hladiny, **H** – kolmatace jutové tkaniny v prostoru první bariery,

Příloha č. 7c – rybník Pláňavy



EVROPSKÁ UNIE
Evropský námořní a rybářský fond
Operační program Rybářství



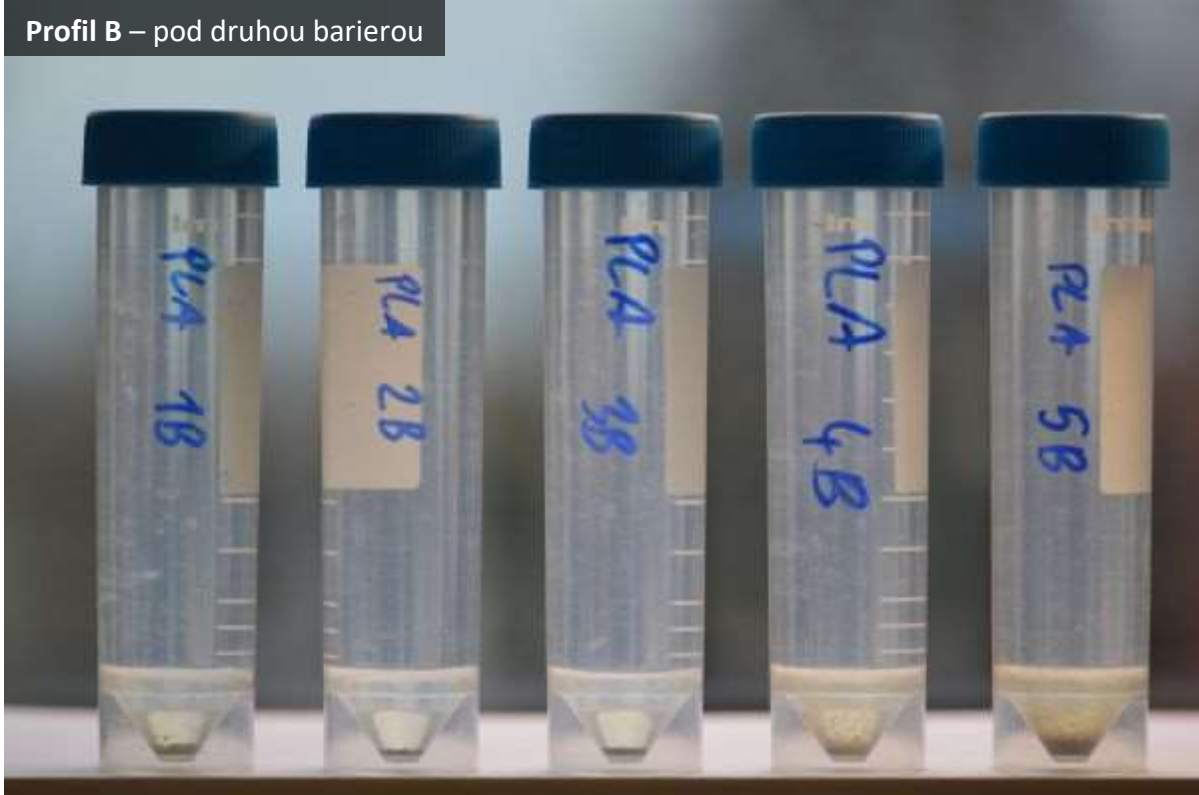
Fakulta rybářství
a ochrany vod
Faculty of Fisheries
and Protection
of Waters

Jihočeská univerzita
v Českých Budějovicích
University of South Bohemia
in České Budějovice
Czech Republic

Profil A – pod rybníkem



Profil B – pod druhou barierou



Vizuální demonstrace změny kvality vody po průtoku barierami na rybníku Pláňavy,
1 – noc před výlovem, 2 – ráno před výlovem, 3 – těsně před výlovem, 4 – výlov, 5 – hodina po výlovu,



A – celkový pohled na rybník, **B** – stoka pod rybníkem před výlovem, **C** – stoka pod rybníkem při výlovu, **D** – stoka pod rybníkem po výlovu, **E** – první bariera, **F** – první bariera pohled shora, **G** – první bariera při menší vodě, **H** – první bariera při větší vodě,

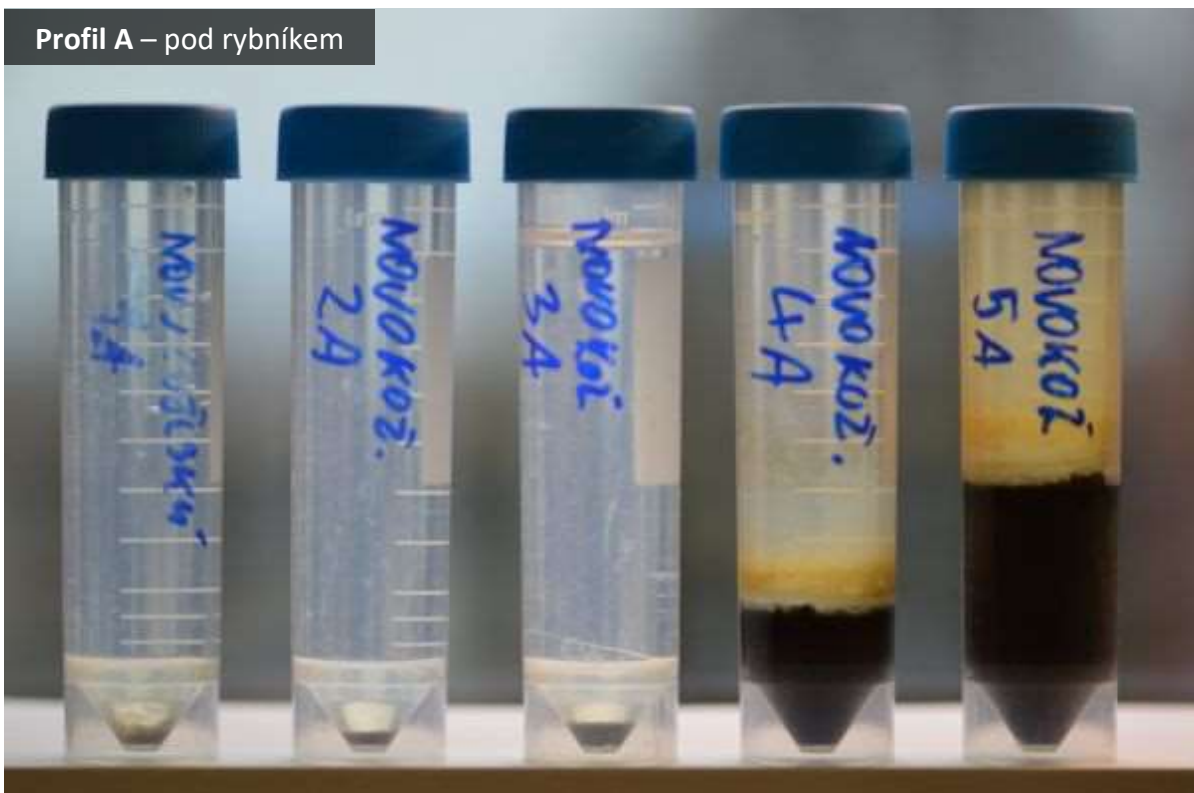
Příloha č. 8b – rybník Novokoželský 2017



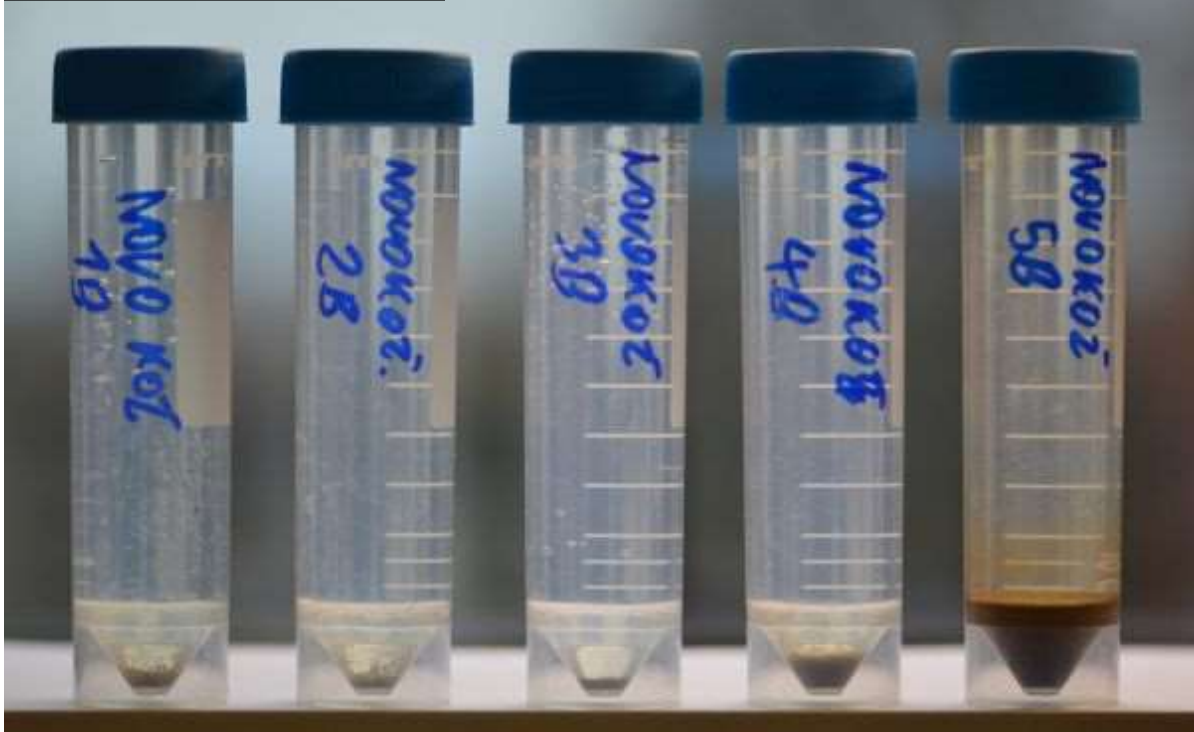
A – prostor nad první barierou po výlovu, B – prostor nad druhou barierou po výlovu, C – první bariera po výlovu, D – druhá bariera po výlovu, pohled zdola, E – první bariera několik dní po výlovu, pohled zdola, F – druhá bariera několik dní po výlovu, pohled zdola, G – první bariera několik dní po výlovu, pohled shora, H – druhá bariera několik dní po výlovu, pohled shora,



Profil A – pod rybníkem



Profil B – pod druhou barierou



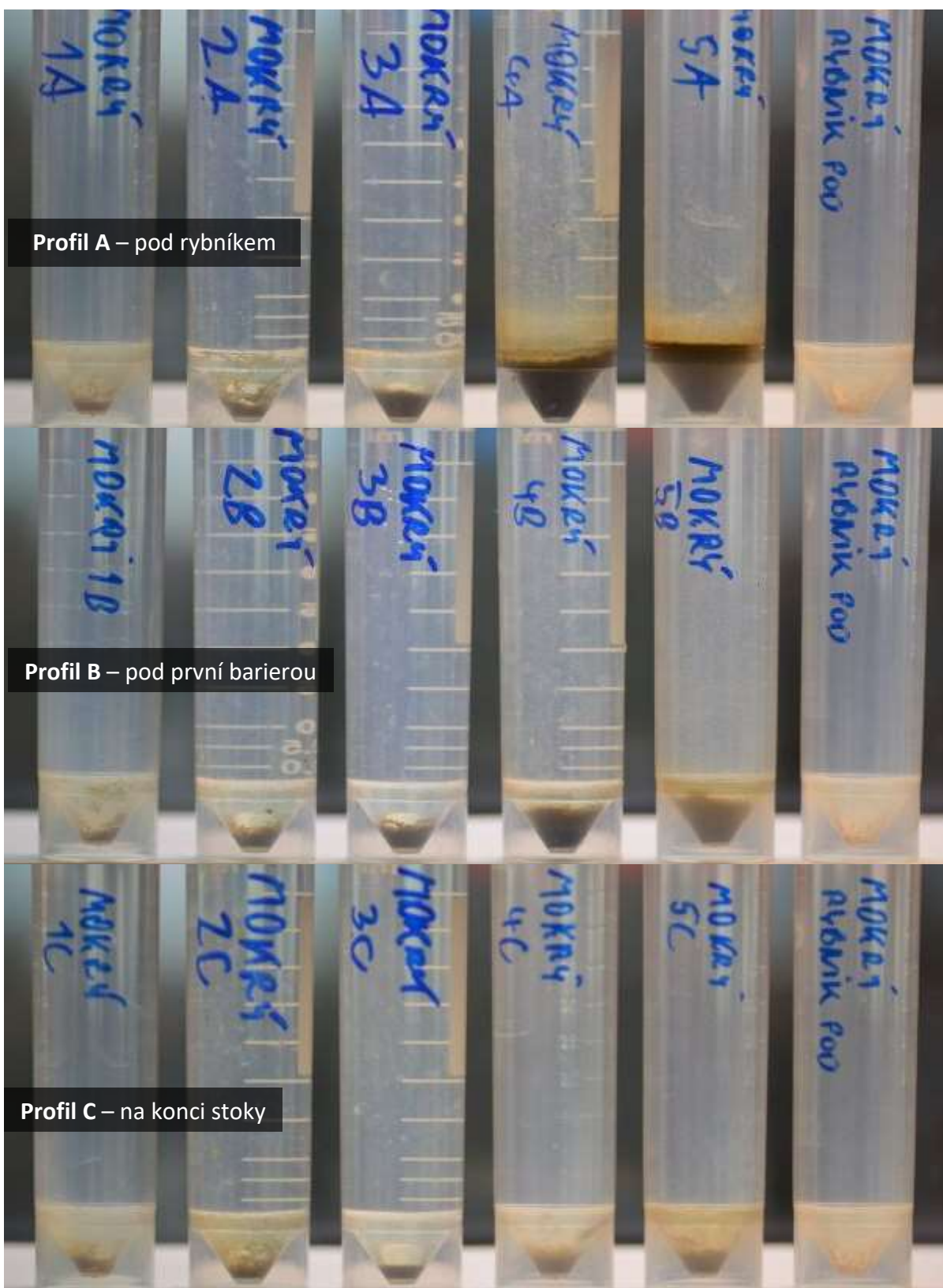
Vizuální demonstrace změny kvality vody po průtoku barierami na rybníku Novokoželský 2017,
1 – noc před výlovem, 2 – ráno před výlovem, 3 – těsně před výlovem, 4 – výlov, 5 – hodina po výlovu,

Příloha č. 9a – rybník Mokrý



A – celkový pohled na rybník, **B** – stoka pod rybníkem před výlovem, **C** – stoka pod rybníkem, **D** – stoka pod rybníkem při výlovu, **E** – první bariera opřená o lávku, profil „B“, **F** – profil „C“ na konci stoky, **G** – výlov, natahovaní podložní sítě, **H** – výlov, vydávání ze sítě,

Příloha č. 9b – rybník Mokrý



Vizuální demonstrace změny kvality vody po průtoku barierami na rybníku Mokrý,
1 – noc před výlovem, 2 – ráno před výlovem, 3 – těsně před výlovem, 4 – výlov, 5 – hodina po výlovu, „rybník
pod“ – Starý Čekanický